

## Termine:

Mo. 14.00 - 15.30 AH III  
Mi. 14.00 - 15.30 AH II

## Übungen:

Di. 14.00 - 15.30 Raum 6019  
Di. 15.30 - 17.00 Raum 6019

## Zuordnung:

Theoretische Informatik, Vertiefungsgebiet Algorithmen

## Wichtig:

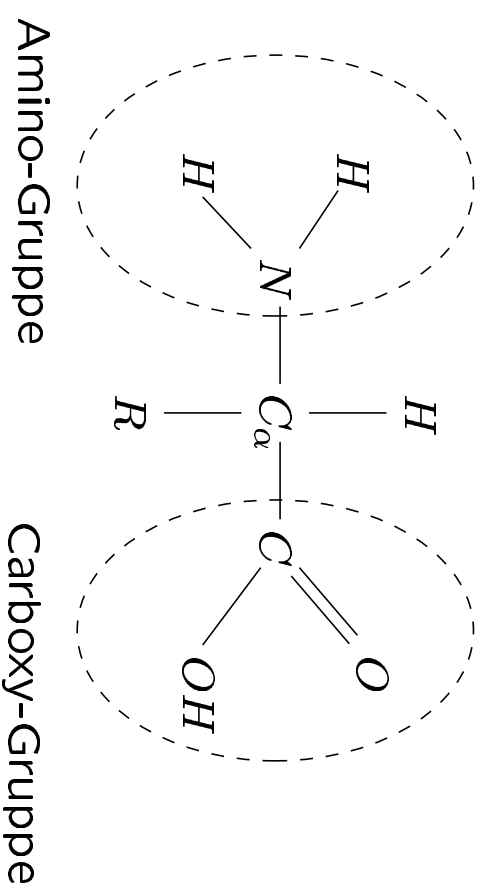
**Vorlesungen am 5.5. und am 7.5. fallen aus!**

## Übungen:

29.4. : Einführung in die Grundlagen der Algorithmik  
13.5. : Beginn der regulären Übungen

## Literatur:

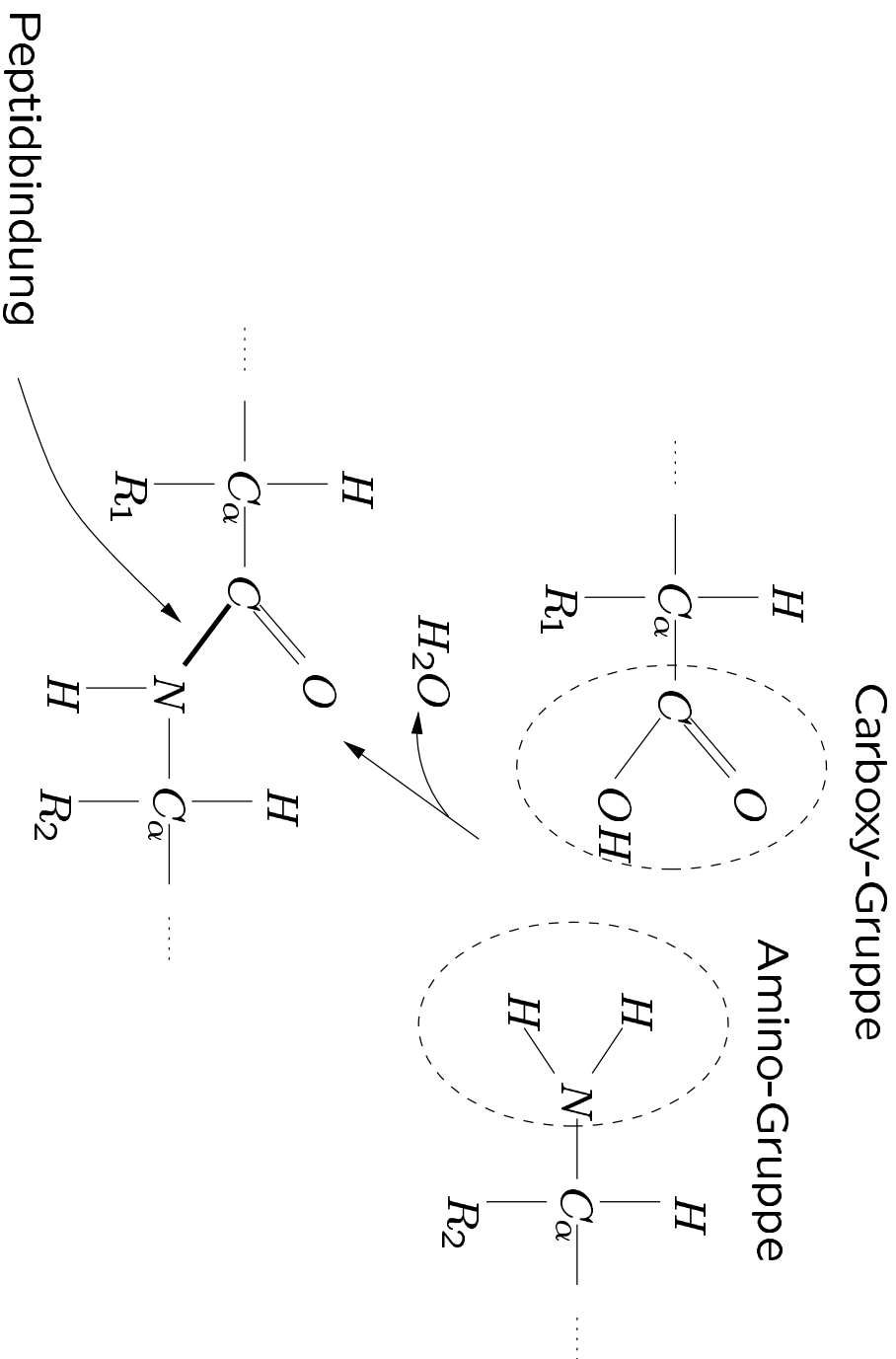
Böckenhauer, Bongartz: Algorithmische Grundlagen der Bioinformatik.  
Teubner 2003 (Anfang bis Mitte Mai)

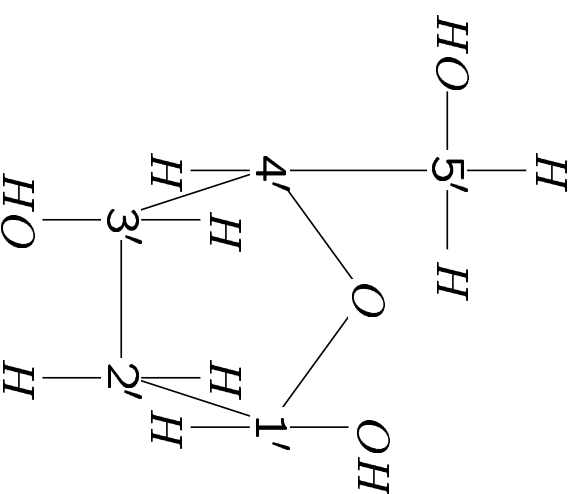
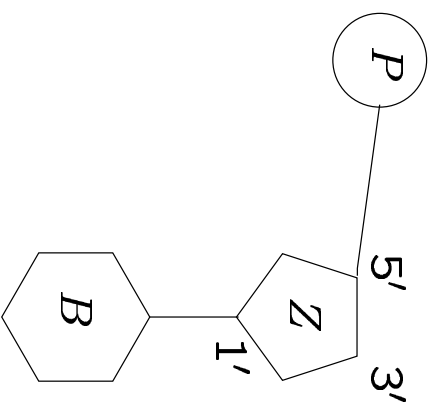


## Die Namen der 20 Aminosäuren

3

Name Abkürzung Code	Alanin Ala A	Valin Val V	Leucin Leu L	Isoleucin Ile I	Phenylalanin Phe F
Name Abkürzung Code	Prolin Pro P	Methionin Met M	Serin Ser S	Threonin Thr T	Cystein Cys C
Name Abkürzung Code	Tryptophan Trp W	Tyrosin Tyr Y	Asparagin Asn N	Glutamin Gln Q	Asparaginsäure Asp D
Name Abkürzung Code	Glutaminsäure Glu E	Lysin Lys K	Arginin Arg R	Histidin His H	Glycin Gly G

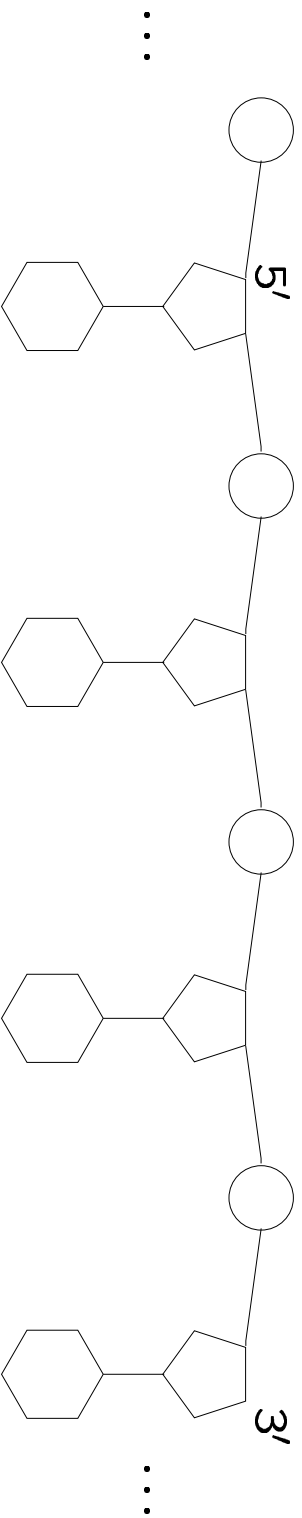




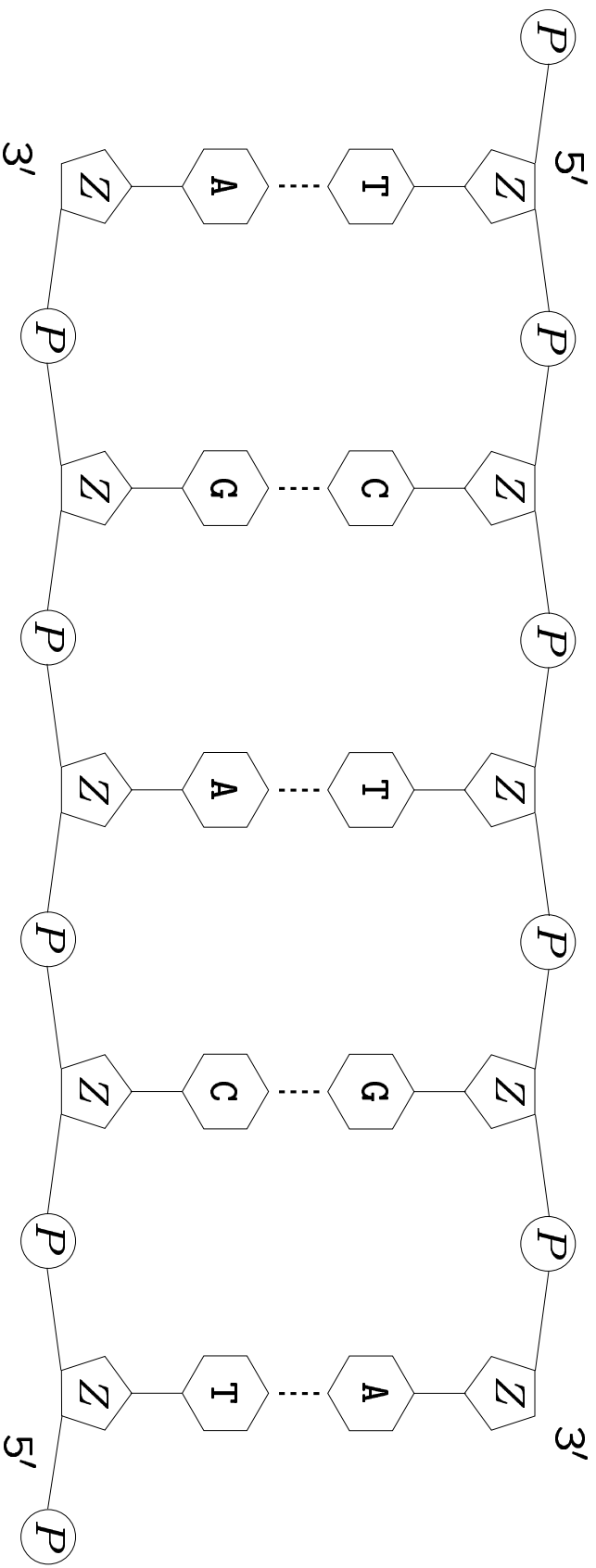
*B* steht für eine der Basen *A* = Adenin, *C* = Cytosin, *G* = Guanin, und *T* = Thymin (oder *U* = Uracil bei RNA).

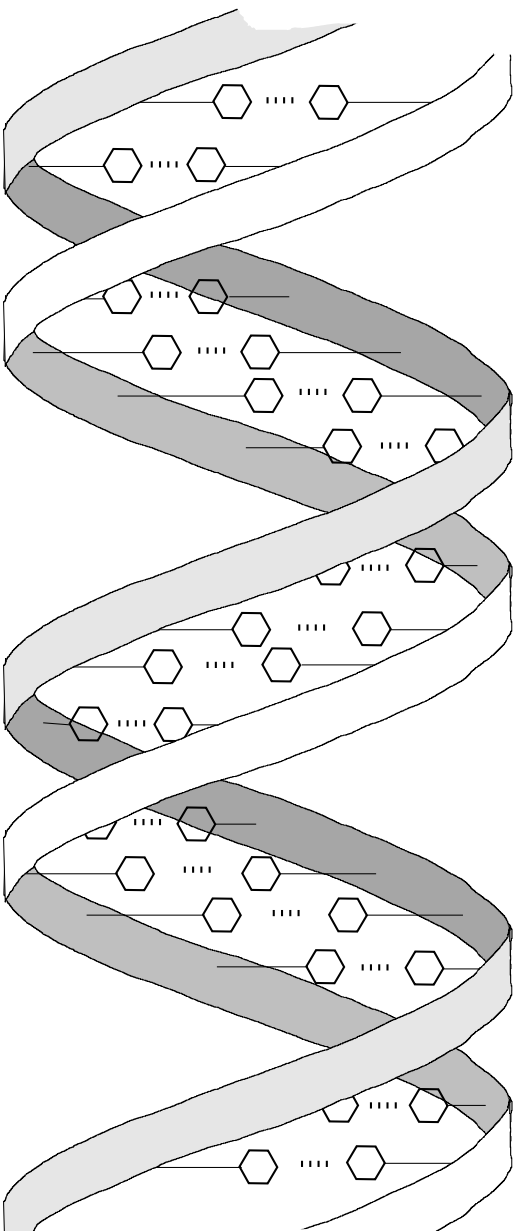
# Nucleotidkette

6

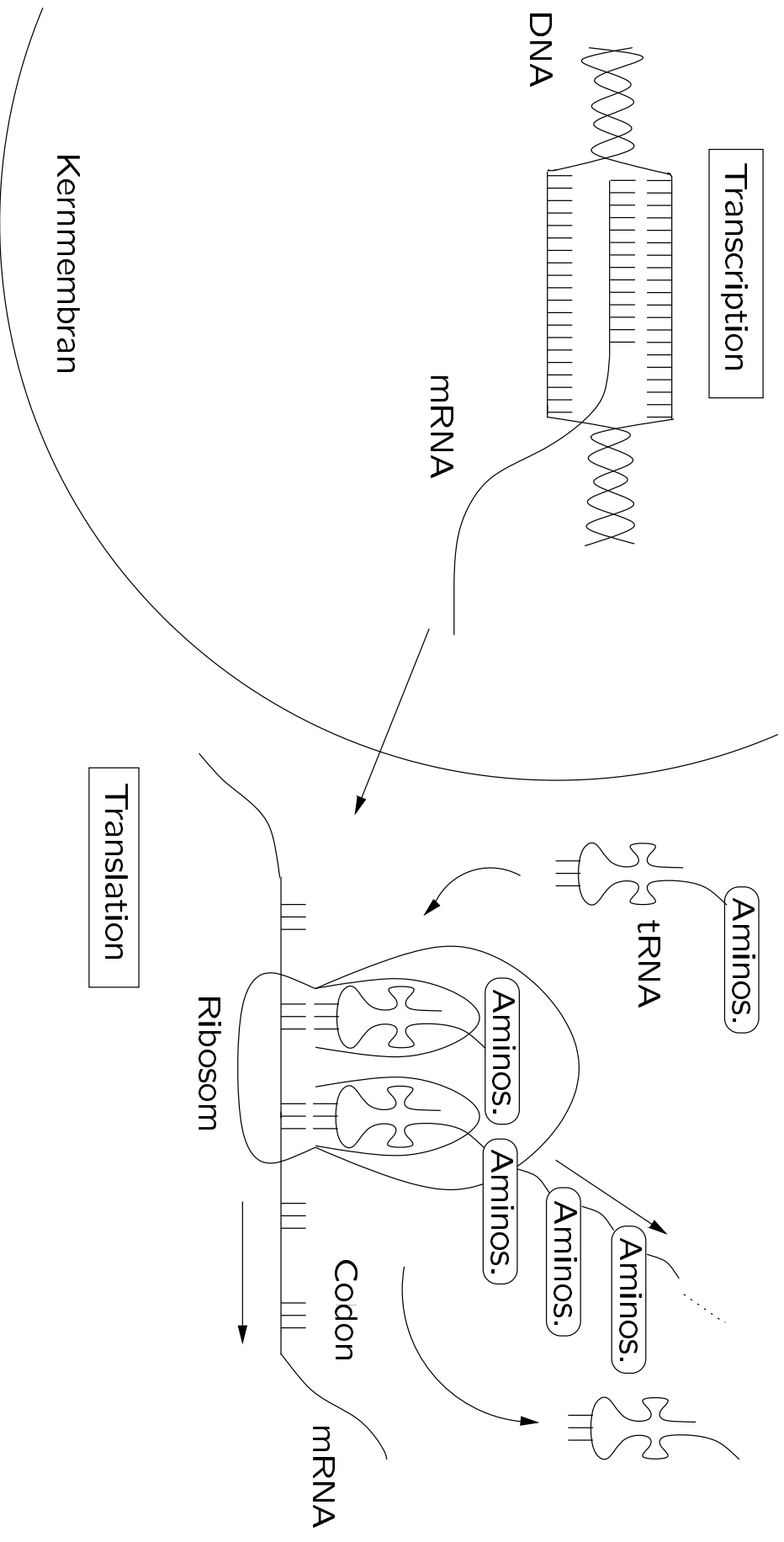


# DNA-Doppelstrang



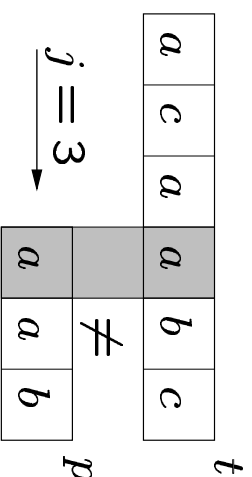
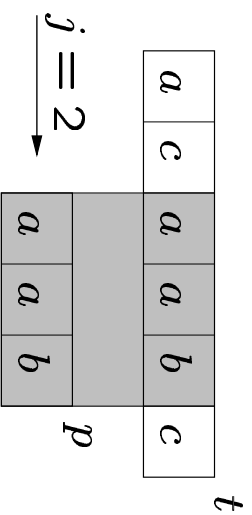
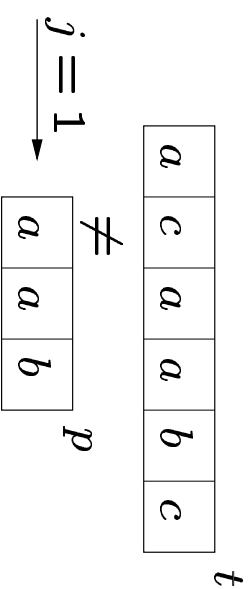
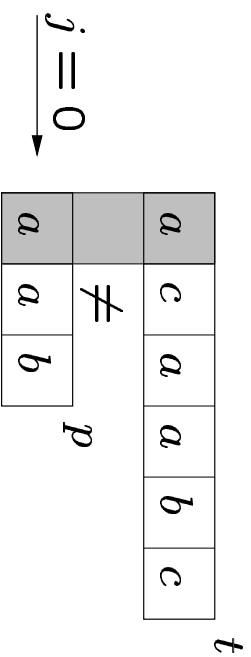


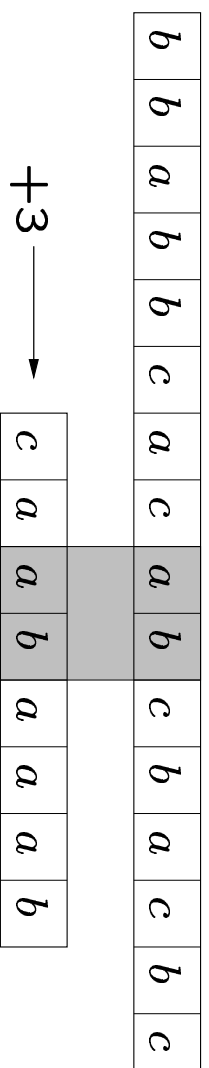
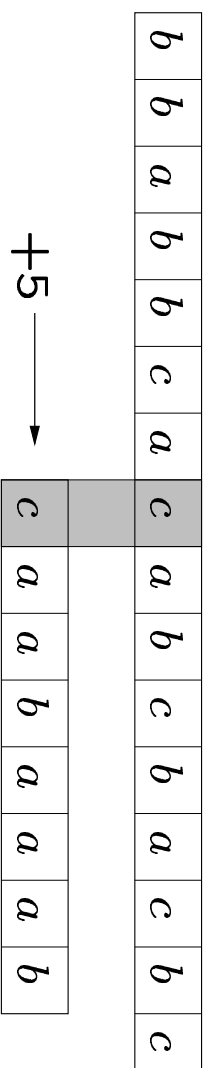
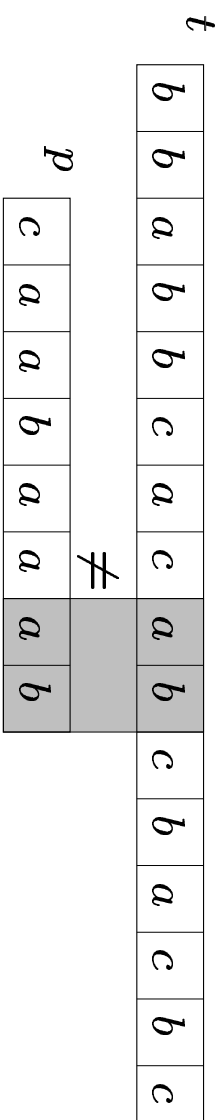


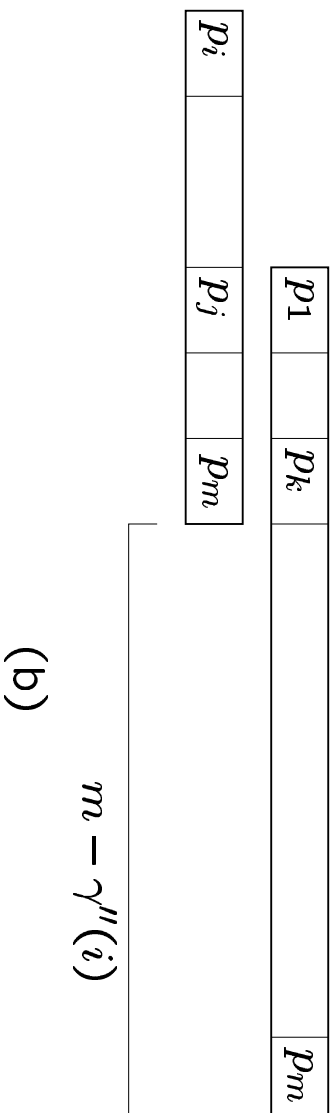
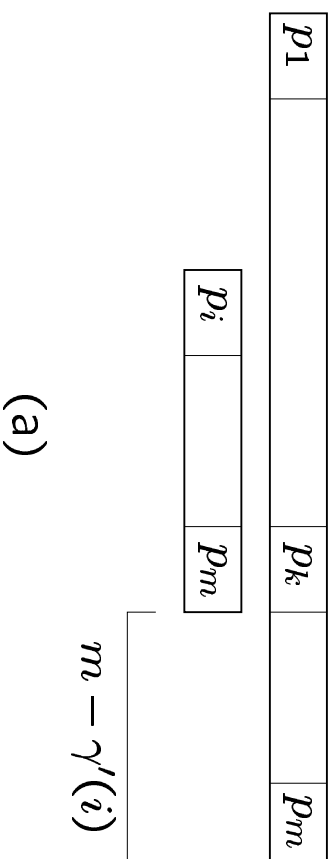


Erste Position	Zweite Position				Dritte Position
	G	A	C	U	
G	Gly	Glu	Ala	Val	G
	Gly	Glu	Ala	Val	A
	Gly	Asp	Ala	Val	C
A	Gly	Asp	Ala	Val	U
	Arg	Lys	Thr	Met	G
	Arg	Lys	Thr	Ile	A
C	Ser	Asn	Thr	Ile	C
	Ser	Asn	Thr	Ile	C
	Ser	Asn	Thr	Ile	U
U	Arg	Gln	Pro	Leu	G
	Arg	Gln	Pro	Leu	A
	Arg	His	Pro	Leu	C
U	Arg	His	Pro	Leu	U
	Trp	STOP	Ser	Leu	G
	STOP	STOP	Ser	Leu	A
U	Cys	Tyr	Ser	Phe	C
	Cys	Tyr	Ser	Phe	C
	Cys	Tyr	Ser	Phe	U

- String-Algorithmen / String-Matching
- Alignment-Verfahren
- Physikalische Kartierung
- Sequenzierung
- Signalbestimmung in DNA-Sequenzen
- Vergleich von Genomen
- Phylogenetische Bäume
- Strukturvorhersagen

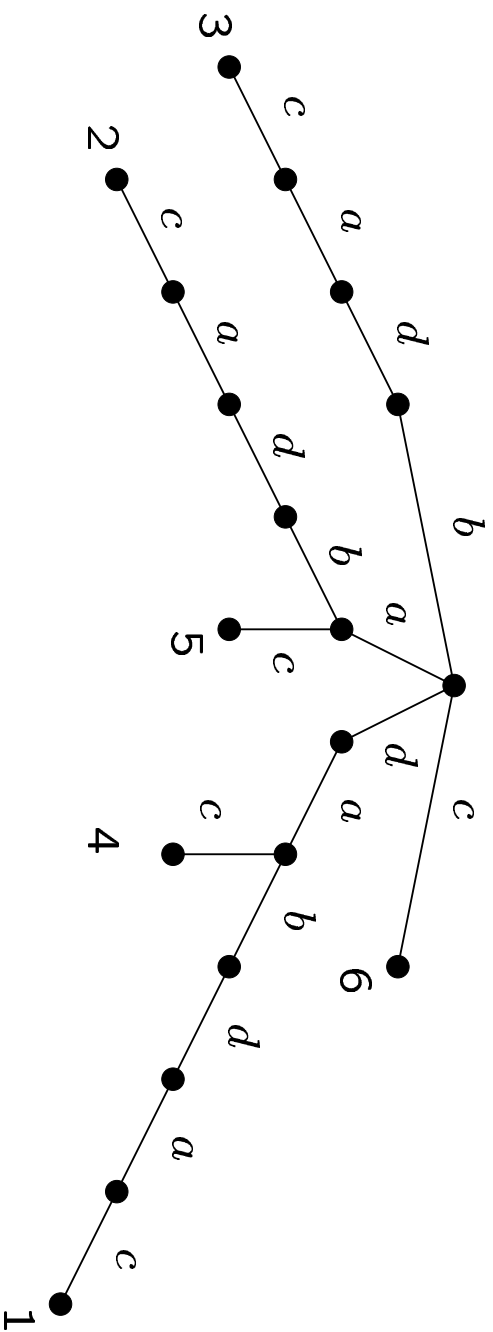






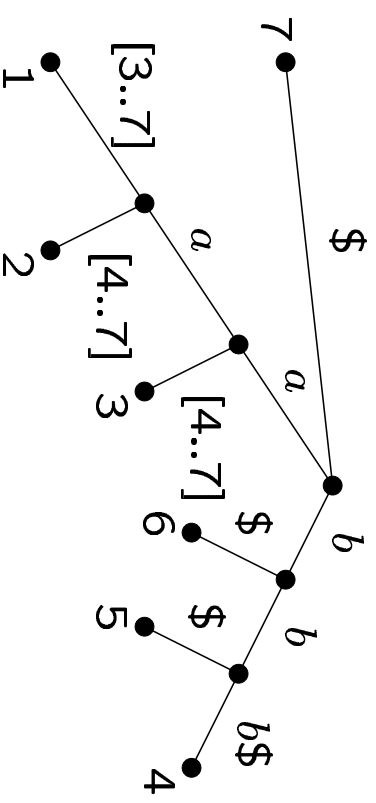
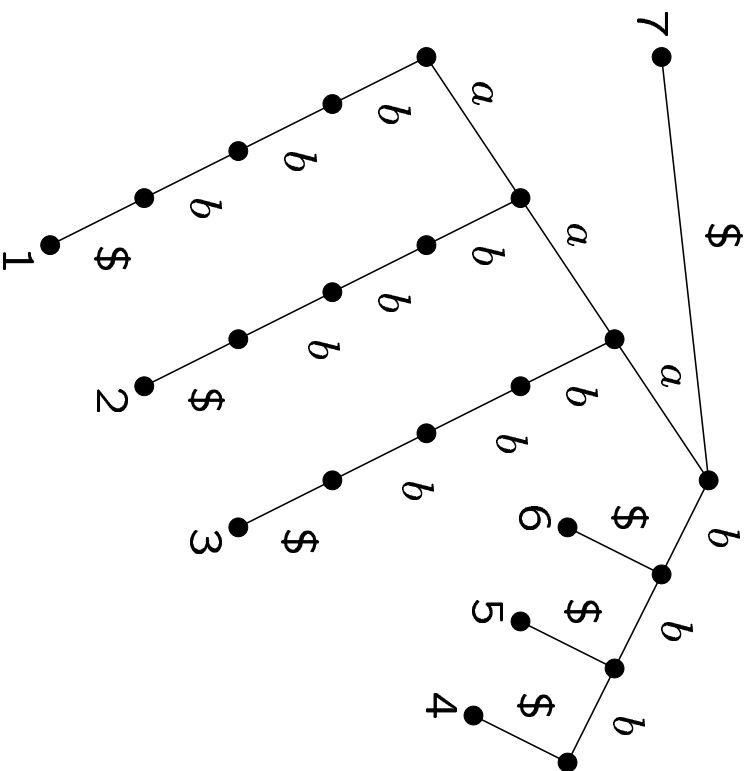
# Einfacher Suffix-Baum für $t = dabdac$

4



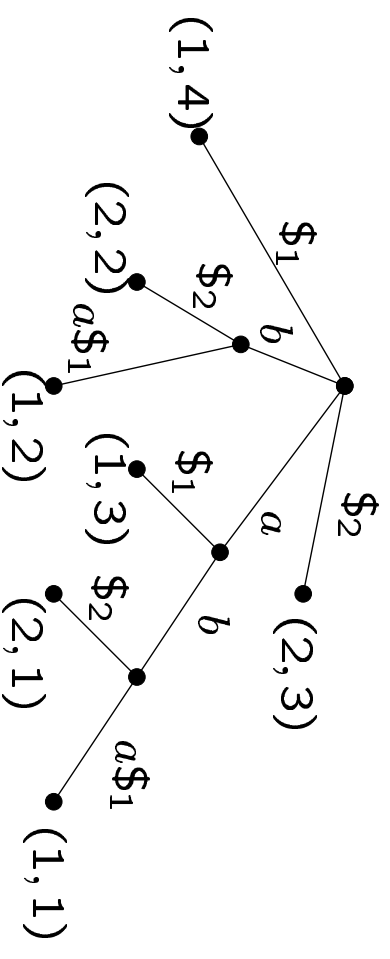
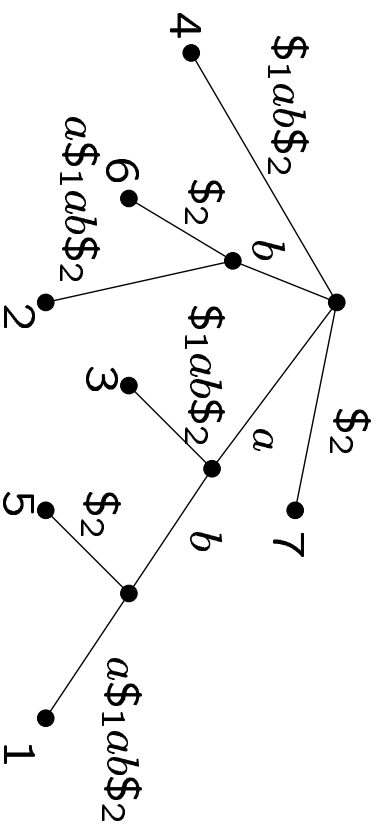
# Einfacher und kompakter Suffix-Baum für $aaabbbbs$

5



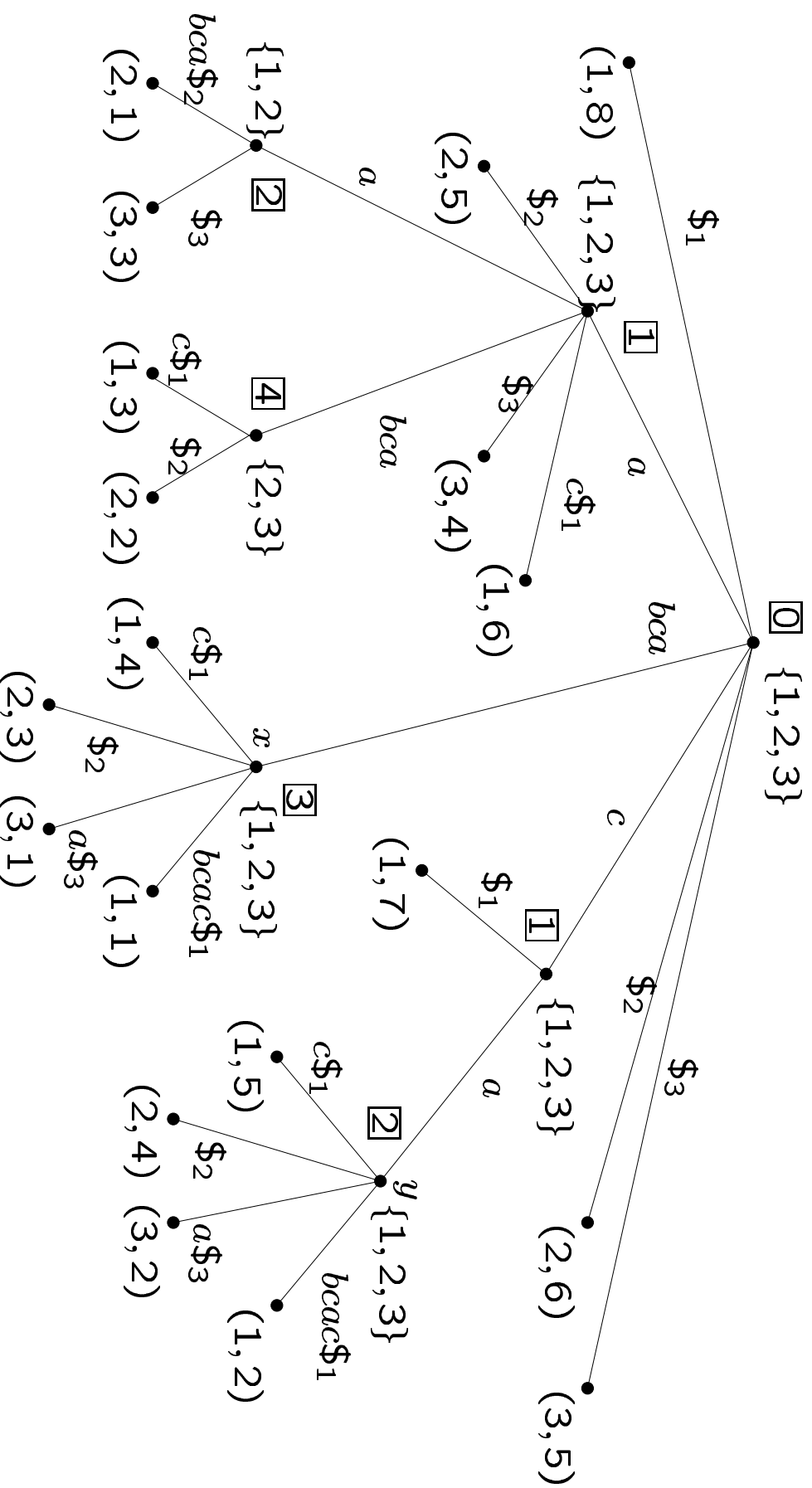


# Konstruktion eines verallgemeinerten Suffix-Baums für $aba$ und $ab$ 6



# Bestimmung eines längsten gemeinsamen Teilstrings

$t_1 = bca bca c$ ,  $t_2 = ab bca$ ,  $t_3 = bca a$





# Berechnung eines globalen Alignment mittels dynamischer Programmierung

$s \backslash t$	0	1	...	$j-1$	$j$	...	$n$
0							
1							
2							
...							
$i-1$							
$i$							
...							
$m$							

# Ähnlichkeitsmatrix für die Strings $s = AAAT$ und $t = AGT$

$s \backslash t$		A	G	T
0	0	-2	-4	-6
A 1	-2	1	-1	-3
A 2	-4	-1	0	-2
A 3	-6	-3	-2	-1
T 4	-8	-5	-4	-1

$s \backslash t$		A	G	T
0	0	-2	-4	-6
A 1	-2	1	-1	-3
A 2	-4	-1	0	-2
A 3	-6	-3	-2	-1
T 4	-8	-5	-4	-1

**Algorithmus 5.2:** Bestimmung eines optimalen Alignments

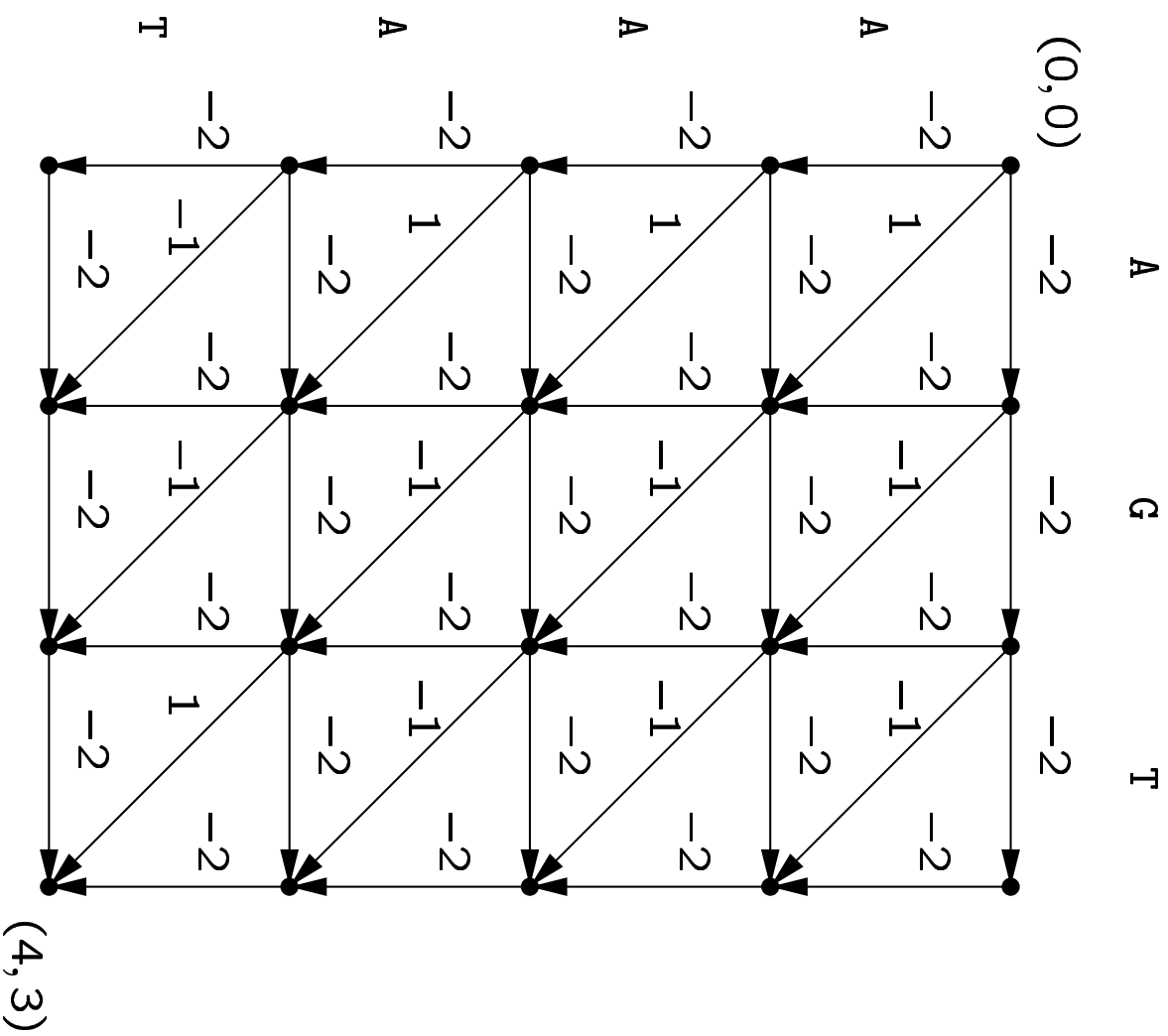
**Eingabe:** Eine Ähnlichkeitsmatrix  $M$  für zwei Strings  $s = s_1 \dots s_m$  und  $t = t_1 \dots t_n$ .

Rufe die rekursive Prozedur  $\text{Align}(m, n)$  auf.

**Ausgabe:** Das Alignment  $(s', t')$  von  $s$  und  $t$ .

```
Prozedur Align( $i, j$ ):  
  if  $i = 0$  und  $j = 0$  then  
     $s' := \lambda$  ;  $t' := \lambda$   
  else  
    if  $M(i, j) = M(i-1, j) + g$  then  
       $(\bar{s}, \bar{t}) := \text{Align}(i-1, j)$   
       $s' := \bar{s} \cdot s_i$  ;  $t' := \bar{t} \cdot -$   
    else if  $M(i, j) = M(i, j-1) + g$  then  
       $(\bar{s}, \bar{t}) := \text{Align}(i, j-1)$   
       $s' := \bar{s} \cdot -$  ;  $t' := \bar{t} \cdot t_j$   
    else  $\{M(i, j) = M(i-1, j-1) + p(s_i, t_j)\}$   
       $(\bar{s}, \bar{t}) := \text{Align}(i-1, j-1)$   
       $s' := \bar{s} \cdot s_i$  ;  $t' := \bar{t} \cdot t_j$   
  return  $(s', t')$ 
```

# Edit-Graph für die Strings $s = AAAT$ und $t = AGT$



## Ähnlichkeitsmatrix für die Bestimmung des näherungsweise Overlaps 5

$s \backslash t$	t	A 1	G 2	T 3	A 4
0	0	-2	-4	-6	-8
A 1	0	1	-1	-3	-5
A 2	0	1	0	-2	-2
A 3	0	1	0	-1	-1
T 4	0	-1	0	1	-1



	A	C	T	G	A	C
T						
A	●				●	
C		●				●
C						
G				●		
A					●	

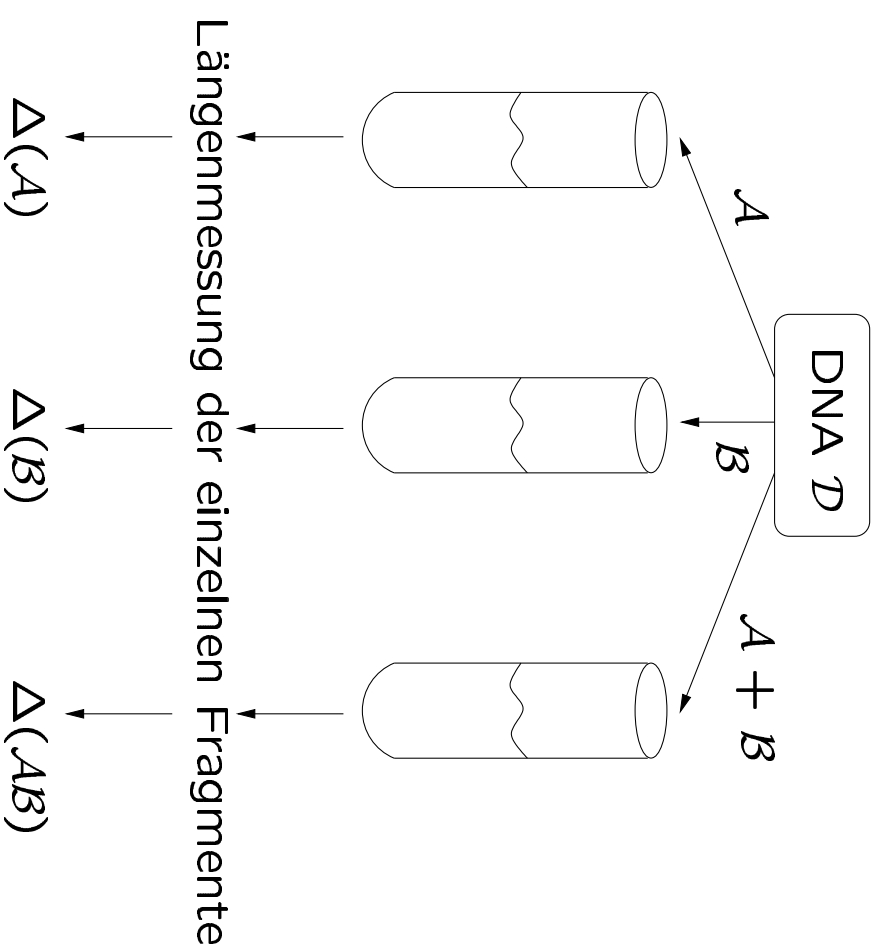
$\delta$	0	1	$a$	$b$	—
0	2	2	1	2	1
1	2	2	2	1	1
$a$	1	2	0	$k$	1
$b$	2	1	$k$	0	1
—	1	1	1	1	0



**Eingabe:** DNA-Molekül  $\mathcal{D}$  und zwei Restriktionsenzyme  $\mathcal{A}$  und  $\mathcal{B}$ .

1. Erzeuge drei Kopien von  $\mathcal{D}$ .
2. Verdaue erste Kopie mit Enzym  $\mathcal{A}$ , zweite Kopie mit  $\mathcal{B}$  und dritte Kopie mit Enzym  $\mathcal{A}$  und  $\mathcal{B}$  zusammen.
3. Bestimme die Längen dieser so erhaltenen Fragmente von  $\mathcal{D}$ . Es ergeben sich die Multimengen:
  - $\Delta(\mathcal{A})$ : Enthält die Längen der Fragmente der von  $\mathcal{A}$  verdauten (ersten) Kopie.
  - $\Delta(\mathcal{B})$ : Enthält die Längen der Fragmente der von  $\mathcal{B}$  verdauten (zweiten) Kopie.
  - $\Delta(\mathcal{AB})$ : Enthält die Längen der Fragmente der von  $\mathcal{A}$  und  $\mathcal{B}$  verdauten (dritten).

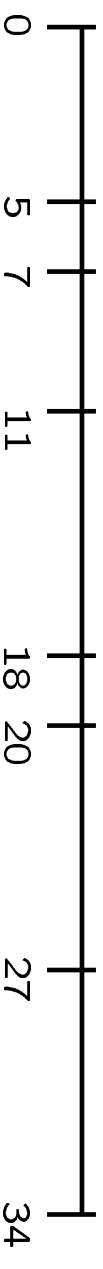
**Ausgabe:** Die Multimengen  $\Delta(\mathcal{A})$ ,  $\Delta(\mathcal{B})$ ,  $\Delta(\mathcal{AB})$ .



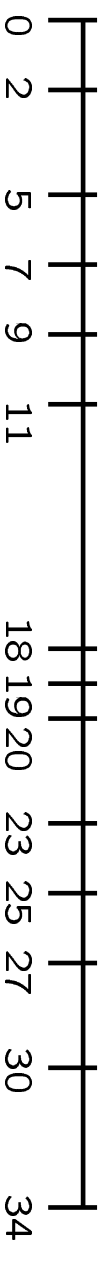
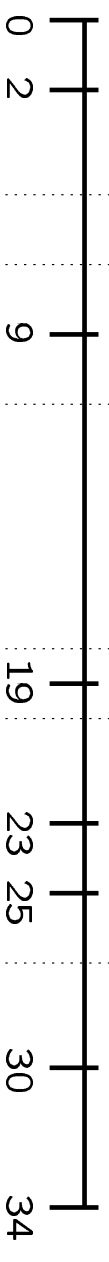
# Schematische Darstellung des Double-Digest-Problems

4

$A = \{2, 2, 2, 4, 5, 7, 7, 7\}$   
 $\pi = (5, 2, 4, 7, 2, 7, 7)$

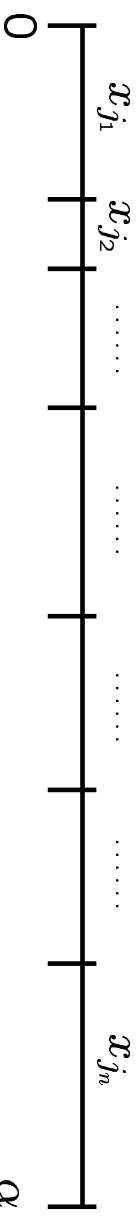


$B = \{2, 2, 2, 4, 4, 5, 7, 10\}$   
 $\phi = (2, 7, 10, 4, 2, 5, 4)$

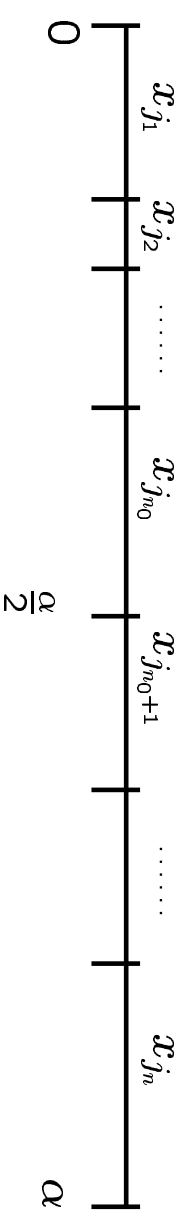
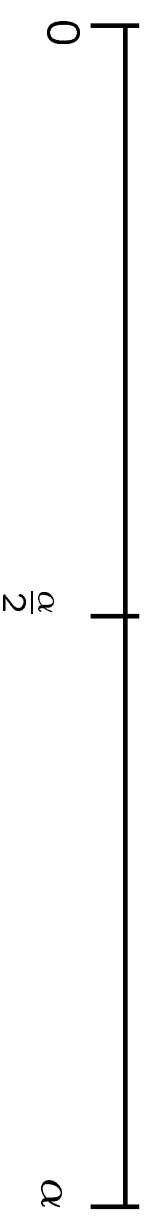


$C = \{1, 1, 1, 2, 2, 2, 2, 2, 2, 3, 3, 3, 3, 4, 7\}$   
 $Pos(\pi) \cup Pos(\phi) = \{0, 2, 5, 7, 9, 11, 18, 19, 20, 23, 25, 27, 30, 34\}$

$$A = X = \{x_1, \dots, x_n\}$$



$$B = \left\{ \frac{\alpha}{2}, \frac{\alpha}{2} \right\}$$



$$C = X$$

$$\text{Partitionen: } Y = \{x_{j_1}, \dots, x_{j_{n_0}}\}$$

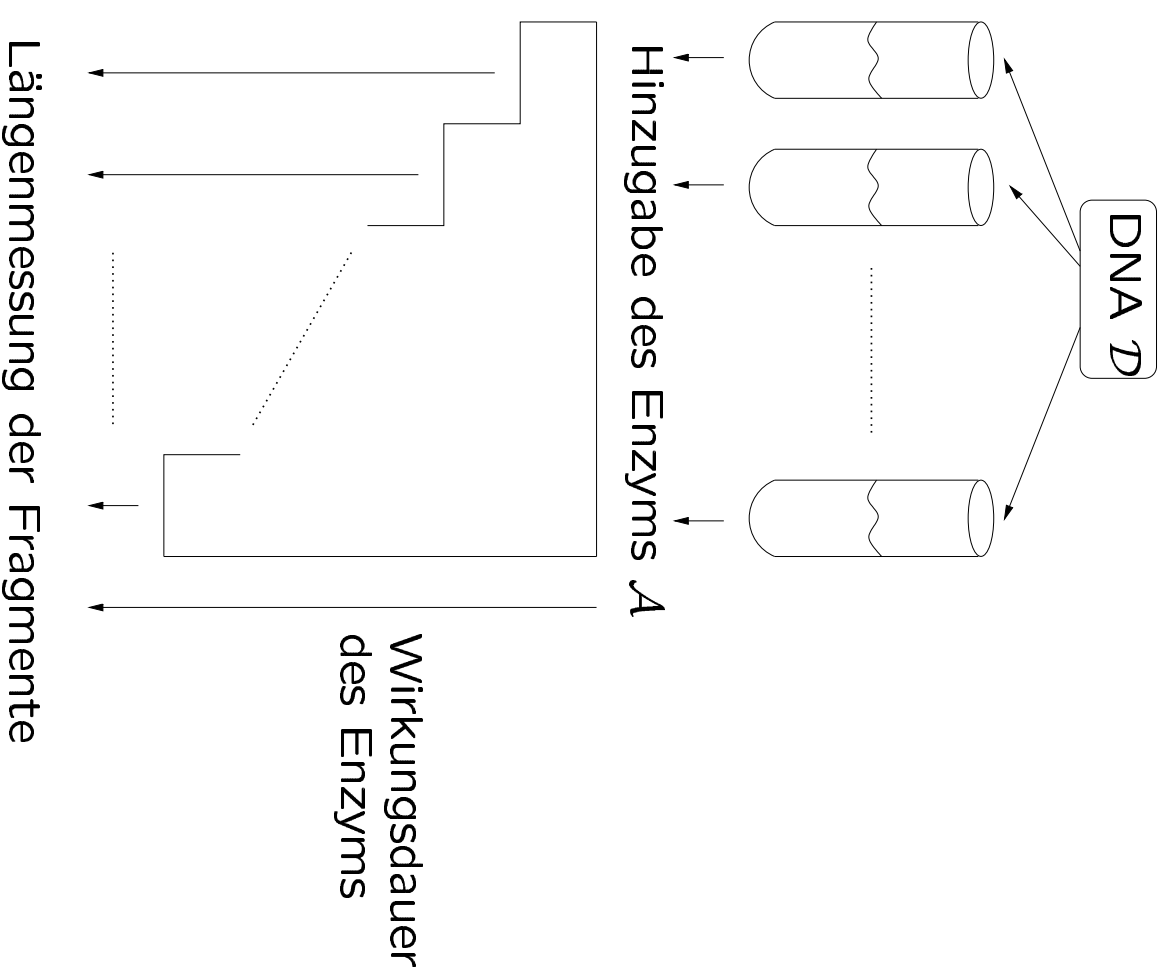
$$Z = \{x_{j_{n_0+1}}, \dots, x_{j_n}\}$$

**Eingabe:** DNA-Sequenz  $\mathcal{D}$  und ein Restriktionsenzym  $\mathcal{A}$ .

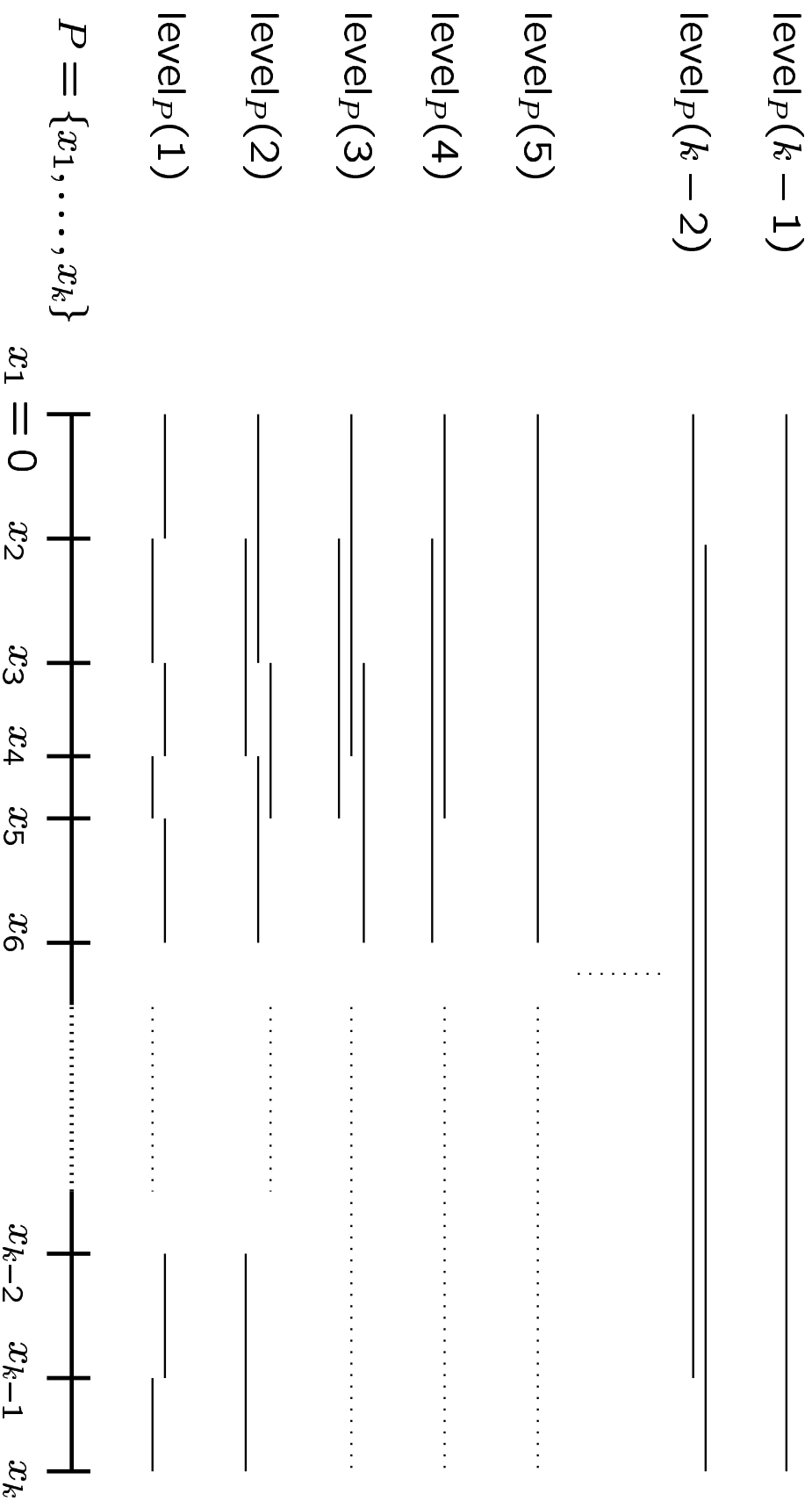
1. Erzeuge mehrere Kopien von  $\mathcal{D}$ .
2. Verdaue in getrennten Ansätzen die Kopien durch Enzym  $\mathcal{A}$  mit unterschiedlicher Wirkungsdauer.
3. Bestimme die Länge der so erhaltenen Fragmente von  $\mathcal{D}$  und fasse diese Längen aus allen Ansätzen in der Multimenge  $\Delta_p(\mathcal{A})$  zusammen.

**Ausgabe:** Die Multimenge  $\Delta_p(\mathcal{A})$ .





# Schematische Darstellung des PDP



## Algorithmus 7.1:

**Eingabe:** Eine Multimenge  $A$  mit  $\binom{k}{2}$  Elementen aus  $\mathbb{N} - \{0\}$ .

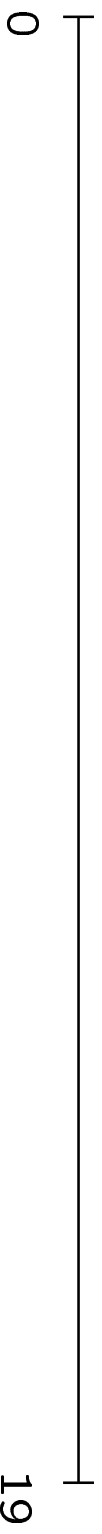
1. Sortiere die Elemente in  $A$ .
2.  $X := \emptyset$     {bisher bestimmte Punktmenge}
3.  $S :=$  leerer Stack    {Stack zur Rekonstruktion der Vorgängersituation beim Backtracking}
4. {Platziere das größte Fragment}  
 $y_{\max} := \max A$     {Bestimme das größte Element in  $A$ .}  
 $X := X \cup \{0, y_{\max}\}$      $\{x_1 := 0, x_k := y_{\max}\}$   
 $A := A - \{y_{\max}\}$
5. Platziere die weiteren Fragmente (rechts oder links) durch einen Aufruf der rekursiven Prozedur Platziere( $X, A, S$ ).

Prozedur Platziere( $X, A, S$ )

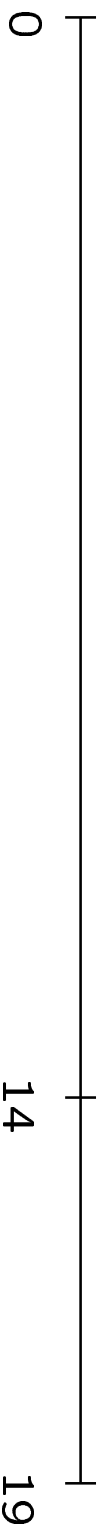
```

if  $A = \emptyset$  then
  Ausgabe: „zulässige Lösung“  $X$ ; halt
 $y = \max A$  {Bestimme das größte Element in  $A$ .}
if  $\delta(y, X) \subseteq A$  then {Platzierung links}
   $A := A - \delta(y, X)$ 
   $X := X \cup \{y\}$ 
  Push( $y, S$ )
  Platziere( $X, A, S$ )
else if  $\delta(y_{\max} - y, X) \subseteq A$  then {Platzierung rechts}
   $A := A - \delta(y_{\max} - y, X)$ 
   $X := X \cup \{y_{\max} - y\}$ 
  Push( $y_{\max} - y, S$ )
  Platziere( $X, A, S$ )
else if  $S \neq$  leerer Stack then {Backtracking möglich}
   $y' :=$  Pop( $S$ ) {letzte neue Position vom Stack holen}
   $A := A \cup (\delta(y', X) - \{0\})$  {alte Distanzmenge rekonstruieren}
   $X := X - \{y'\}$  {alte Positionsmenge rekonstruieren}
  return {Rücksprung in die aufrufende Prozedur}
else
   $S =$  leerer Stack {kein Backtracking möglich}
  Ausgabe: „Es existiert keine Lösung!“; halt
  
```

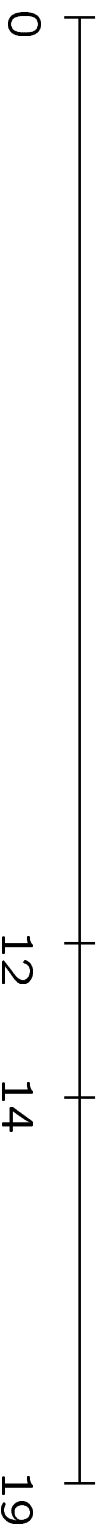
Sei  $A = \{1, 2, 3, 4, 5, 5, 7, 7, 9, 9, 10, 10, 12, 14, 19\}$   
Nach Ausführung der Schritte 1-4 erhalten wir:



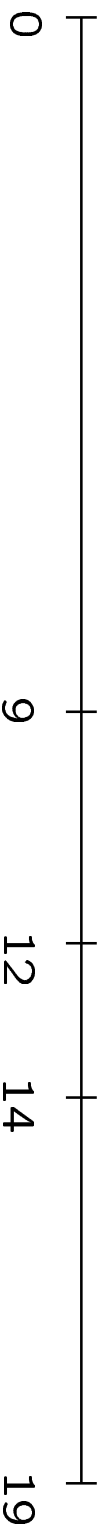
- (a)  $X = \{0, 19\}$ ;  $A = \{1, 2, 3, 4, 5, 5, 7, 7, 9, 9, 10, 10, 12, 14\}$ ;  $y = 14$ ;  $S = ()$ ;  
 $\delta(14, X) = \{5, 14\} \subseteq A$ ;  $\Rightarrow$  Platzierung: *links*



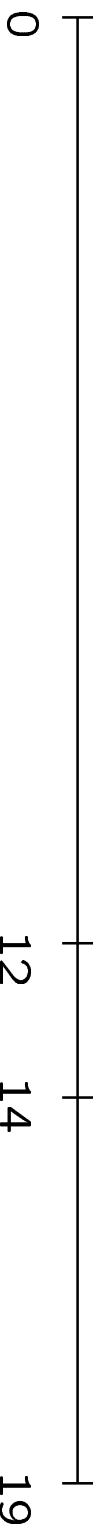
- (b)  $X = \{0, 14, 19\}$ ;  $A = \{1, 2, 3, 4, 5, 7, 7, 9, 9, 10, 10, 12\}$ ;  $y = 12$ ;  $S = (14)$ ;  
 $\delta(12, X) = \{2, 7, 12\} \subseteq A$ ;  $\Rightarrow$  Platzierung: *links*



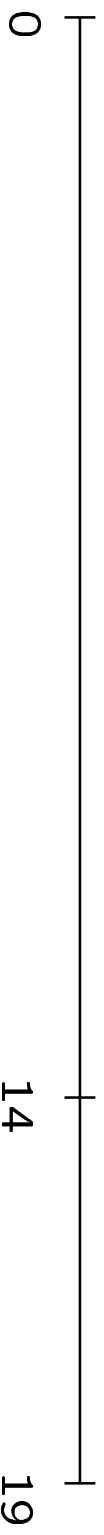
- (c)  $X = \{0, 12, 14, 19\}$ ;  $A = \{1, 3, 4, 5, 7, 9, 9, 10, 10\}$ ;  $y = 10$ ;  $S = (14, 12)$ ;  
 $\delta(10, X) = \{2, 4, 9, 10\} \not\subseteq A$ ;  
 $\delta(19 - 10, X) = \delta(9, X) = \{3, 5, 9, 10\} \subseteq A$ ;  $\Rightarrow$  Platzierung: *rechts*



- (d)  $X = \{0, 9, 12, 14, 19\}$ ;  $A = \{1, 4, 7, 9, 10\}$ ;  $y = 10$ ;  $S = (14, 12, 9)$ ;  
 $\delta(10, X) = \{1, 2, 4, 9, 10\} \not\subseteq A$ ;  
 $\delta(19 - 10, X) = \delta(9, X) = \{0, 3, 5, 9, 10\} \not\subseteq A$ ;  $\Rightarrow$  *Backtracking*. Platzierung (c) wird zurückgenommen.



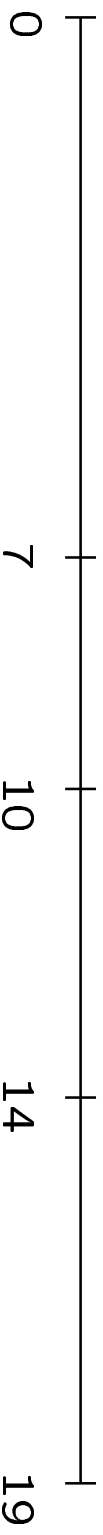
- (e)  $X = \{0, 12, 14, 19\}$ ;  $A = \{1, 3, 4, 5, 7, 9, 9, 10, 10\}$ ;  $y = 10$ ;  $S = (14, 12)$ ;  
 $\delta(10, X) = \{2, 4, 9, 10\} \not\subseteq A$ ;  
 $\delta(19 - 10, X) = \delta(9, X) = \{3, 5, 9, 10\} \subseteq A$ ; Rückgängig gemacht im Backtracking-Schritt (d).  $\Rightarrow$  *Backtracking*. Platzierung (b) wird zurückgenommen.



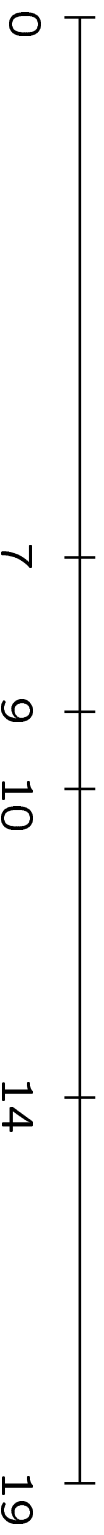
- (f)  $X = \{0, 14, 19\}$ ;  $A = \{1, 2, 3, 4, 5, 7, 7, 9, 9, 10, 10, 12\}$ ;  $y = 12$ ;  $S = (14)$ ;  
 $\delta(12, X) = \{2, 7, 12\} \subseteq A$ ; Rückgängig gemacht im Backtracking-Schritt (e).  
 $\delta(19 - 12, X) = \delta(7, X) = \{7, 7, 12\} \subseteq A$ ;  $\Rightarrow$  Platzierung: *rechts*



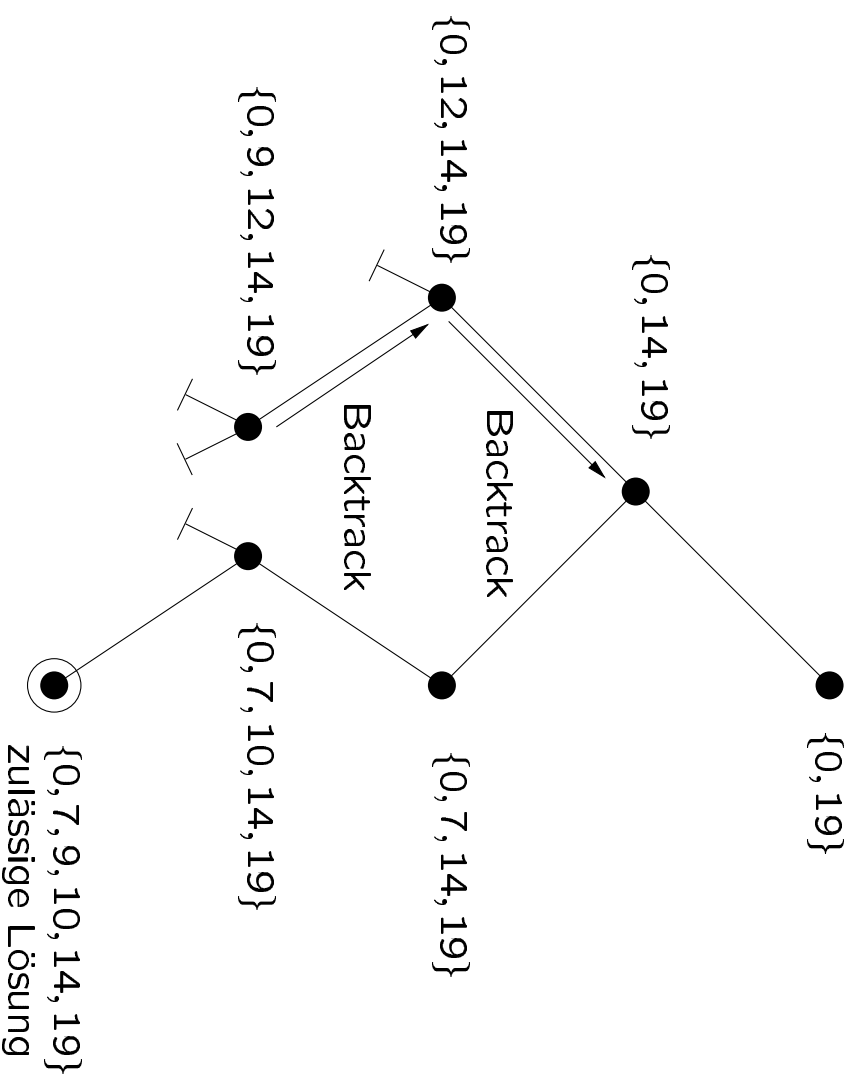
- (g)  $X = \{0, 7, 14, 19\}$ ;  $A = \{1, 2, 3, 4, 5, 9, 9, 10, 10\}$ ;  $y = 10$ ;  $S = (14, 7)$ ;  
 $\delta(10, X) = \{3, 4, 9, 10\} \subseteq A$ ;  
 $\Rightarrow$  Platzierung: *links*



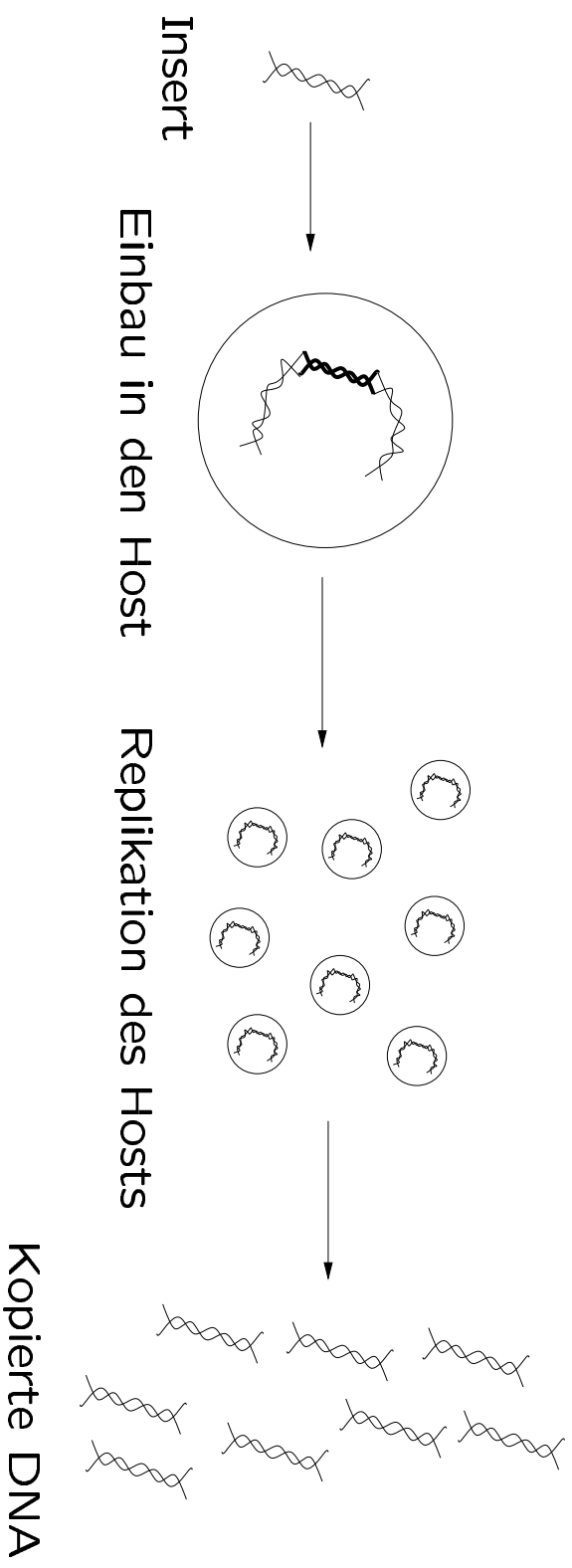
- (h)  $X = \{0, 7, 10, 14, 19\}$ ;  $A = \{1, 2, 5, 9, 10\}$ ;  $y = 10$ ;  $S = (14, 7, 10)$ ;  
 $\delta(10, X) = \{0, 3, 4, 9, 10\} \not\subseteq A$ ;  
 $\delta(19 - 10, X) = \delta(9, X) = \{1, 2, 5, 9, 10\} \subseteq A$ ;  
 $\Rightarrow$  Platzierung: *rechts*

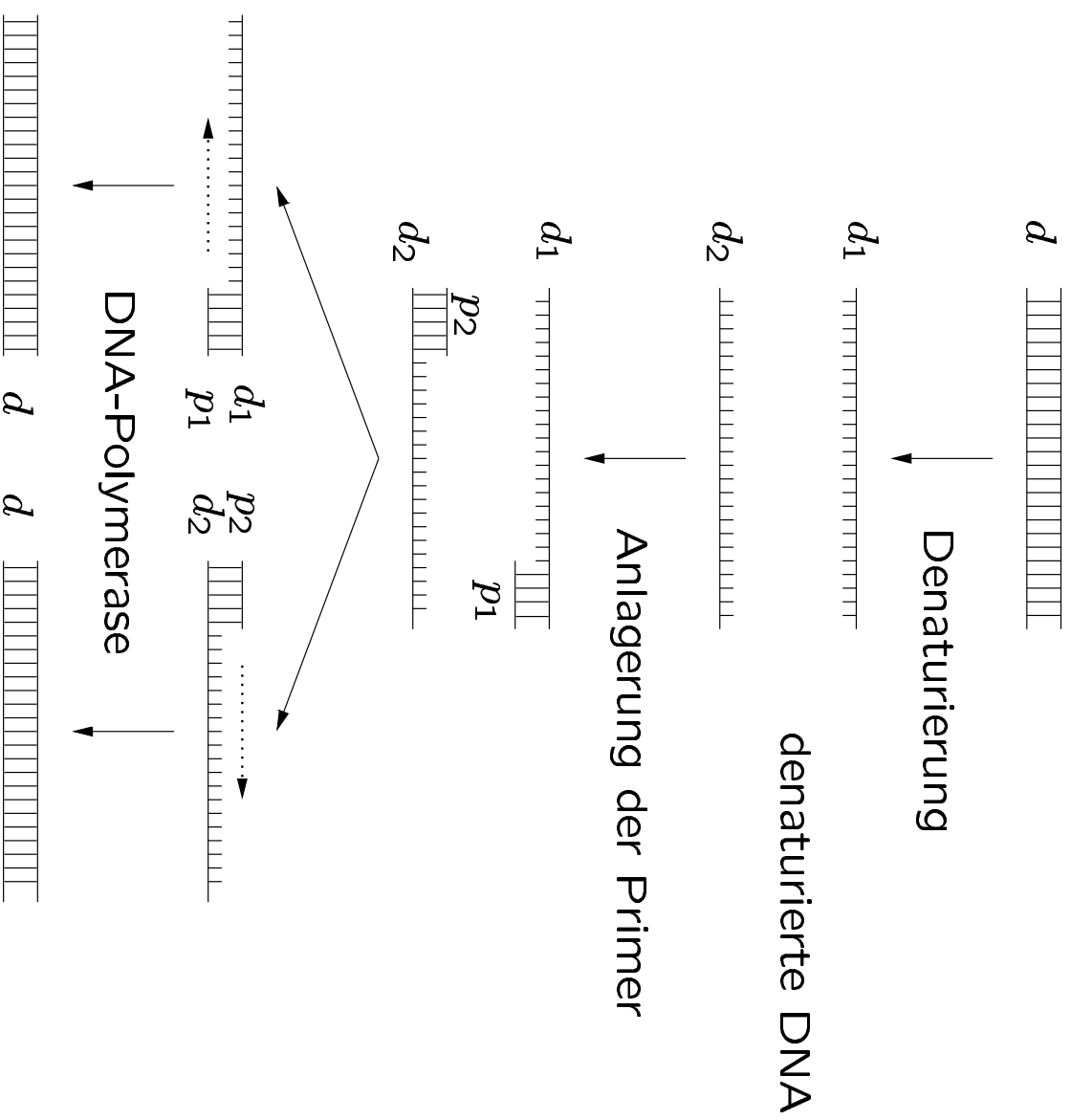


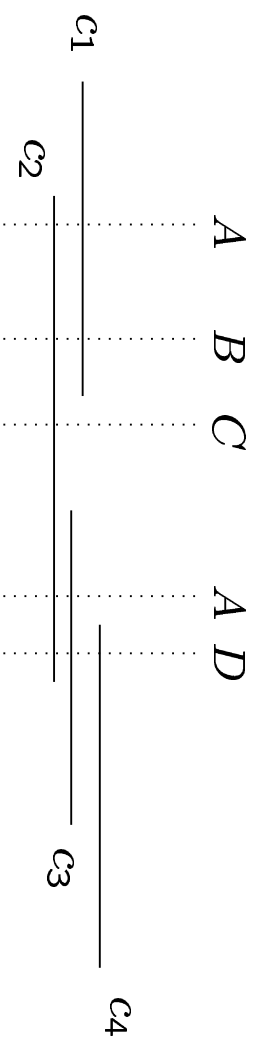
$P = \{0, 7, 9, 10, 14, 19\}$  ist eine zulässige Lösung und  $\bar{P} = \{0, 5, 9, 10, 12, 19\}$ .





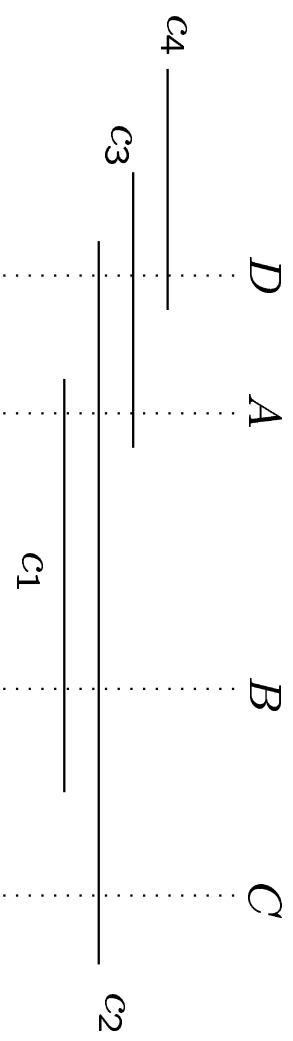




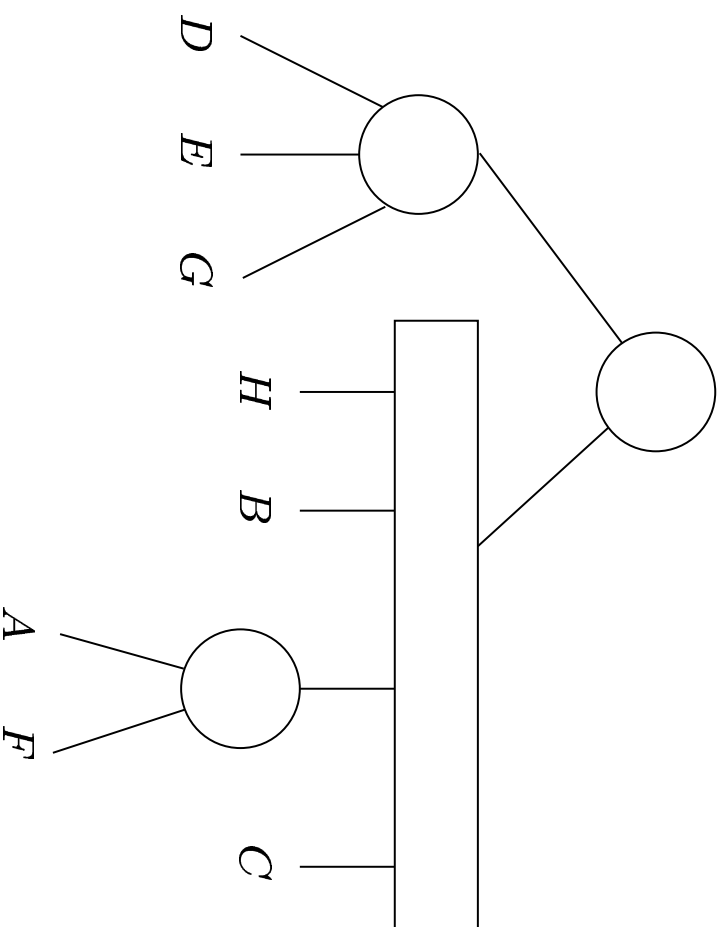


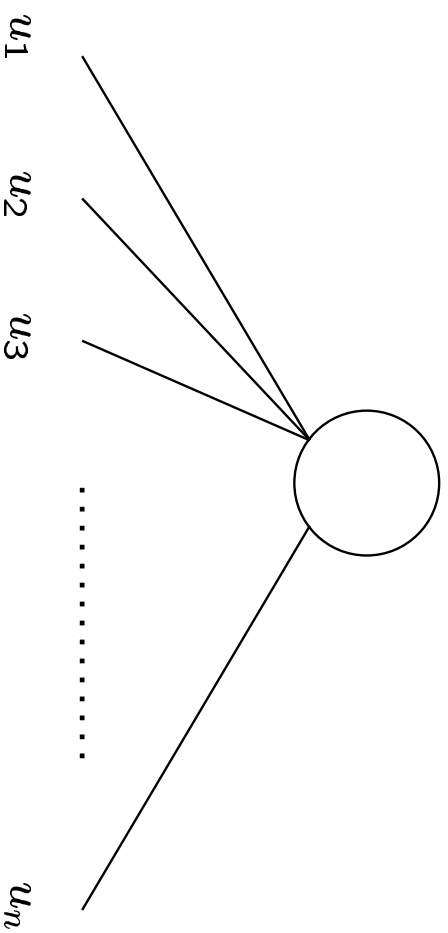
(a)

	A	B	C	D
$c_1$	1	1	0	0
$c_2$	1	1	1	1
$c_3$	1	0	0	1
$c_4$	0	0	0	1

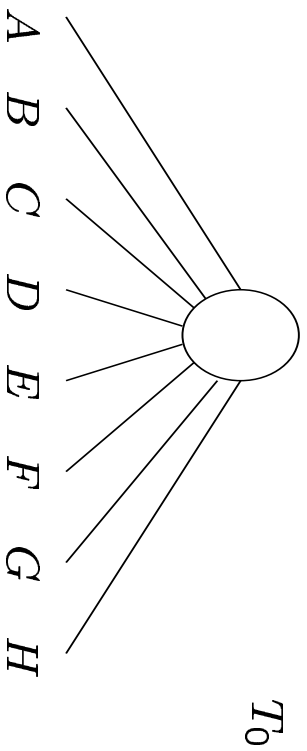


(b)





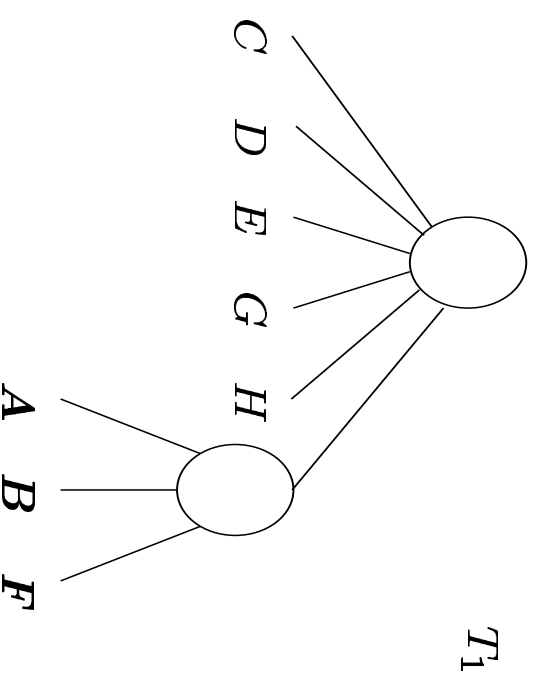
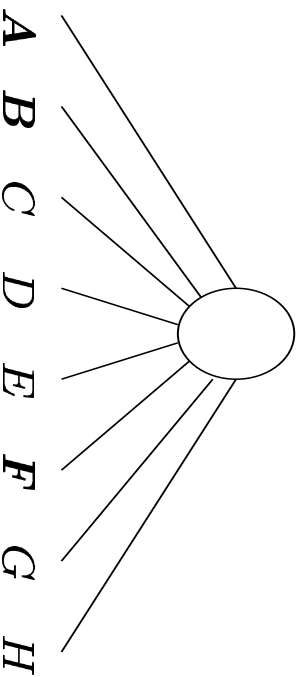
universeller PQ-Baum



$T_0$

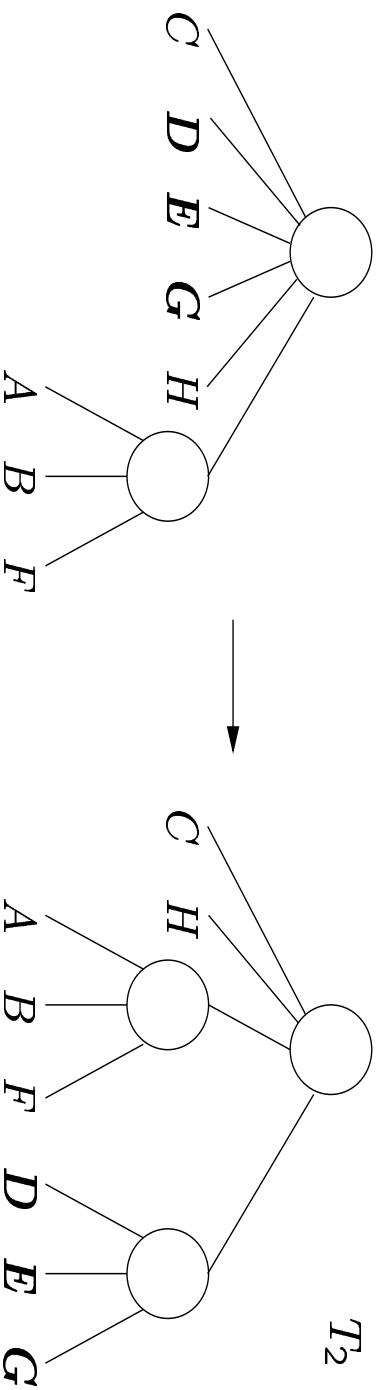
	A	B	C	D	E	F	G	H
I	1	1	0	0	0	1	0	0
II	0	0	0	1	1	0	1	0
III	0	1	0	0	0	0	0	1

Zeile I,  $R_I = \{A, B, F\}$ :

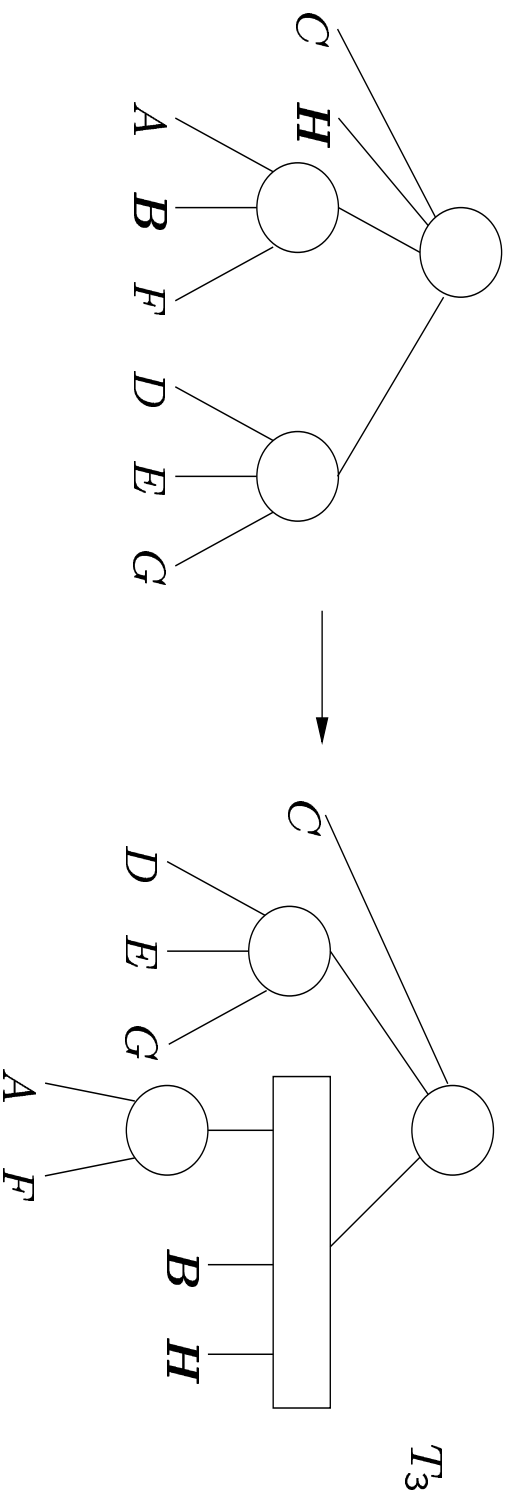


$T_1$

Zeile II,  $R_{II} = \{D, E, G\}$ :



Zeile III,  $R_{III} = \{B, H\}$ :







Bei einer Lücke kann es mehr als zwei Wechsel geben

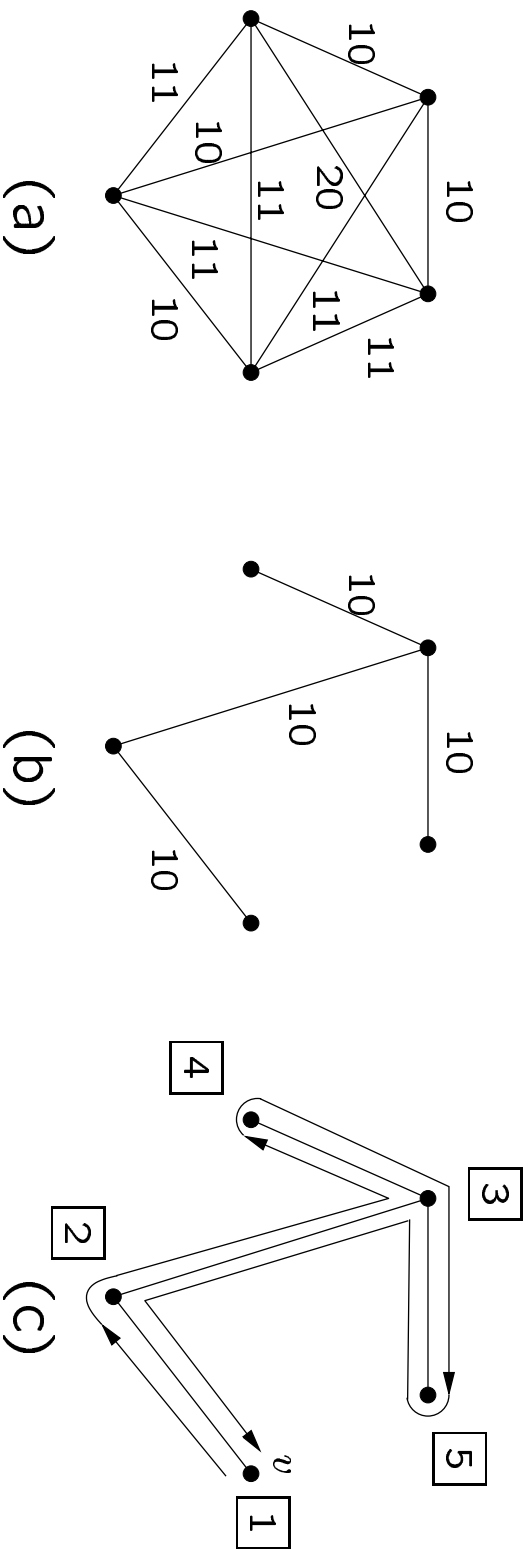
9

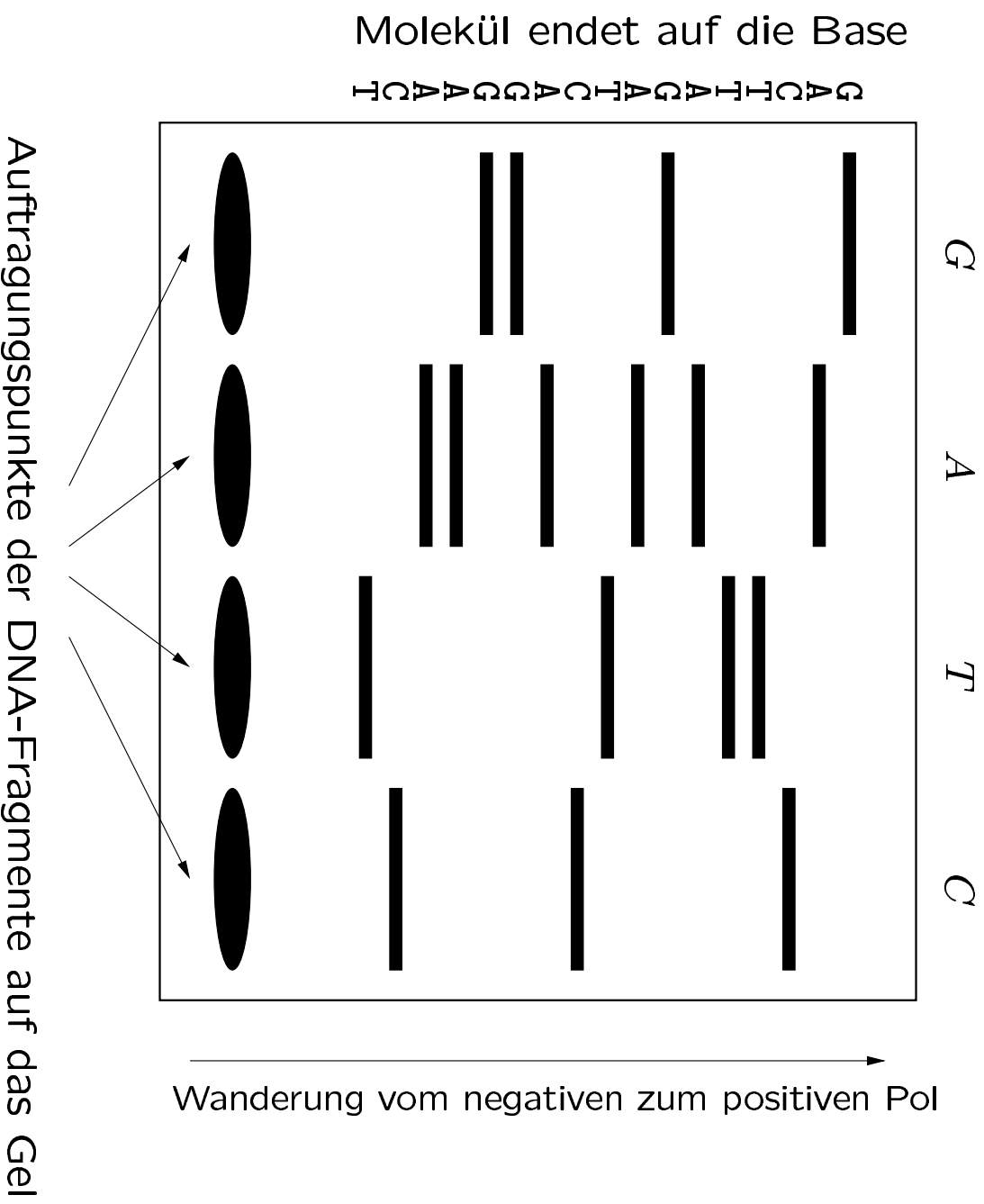
- (a) 1 1 1 1 1 0 0 0 0 0 1 1 1 1
- (b) 0 0 1 1 1 1 0 0 0 1 1 1 0 0

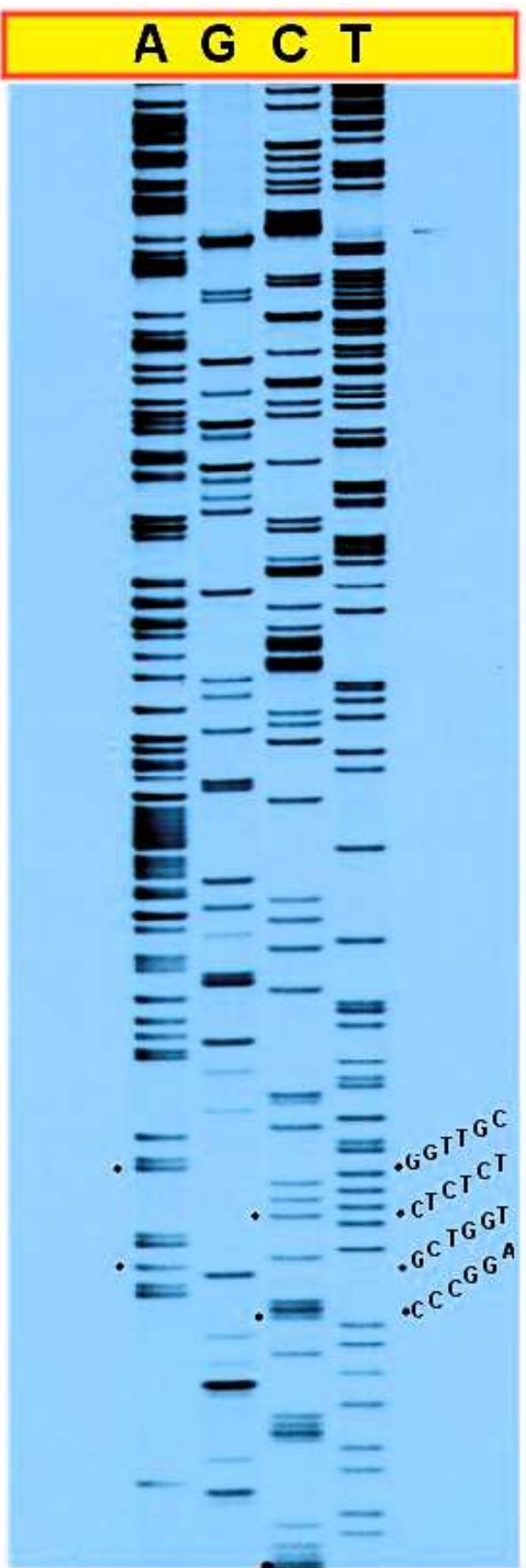
**Eingabe:** Ein ungerichteter vollständiger kantengewichteter Graph  $G = (V, E, d)$  mit  $n$  Knoten und einer Kantengewichtung  $d : E \rightarrow \mathbf{Q}^{\geq 0}$ .

1. Bestimme einen minimalen Spannbaum  $T$  von  $G$ .
2. Führe in  $T$  eine Tiefensuche von einem beliebig gewählten Knoten  $v \in V$  aus durch. Nummeriere hierbei die Knoten in der Reihenfolge, in der sie zum ersten Mal besucht werden. Sei  $v_{i_1}, \dots, v_{i_n}$  diese Reihenfolge.
3. Setze  $H := v_{i_1}, \dots, v_{i_n}, v_{i_1}$ .

**Ausgabe:** Der Hamiltonkreis  $H$  von  $G$ .

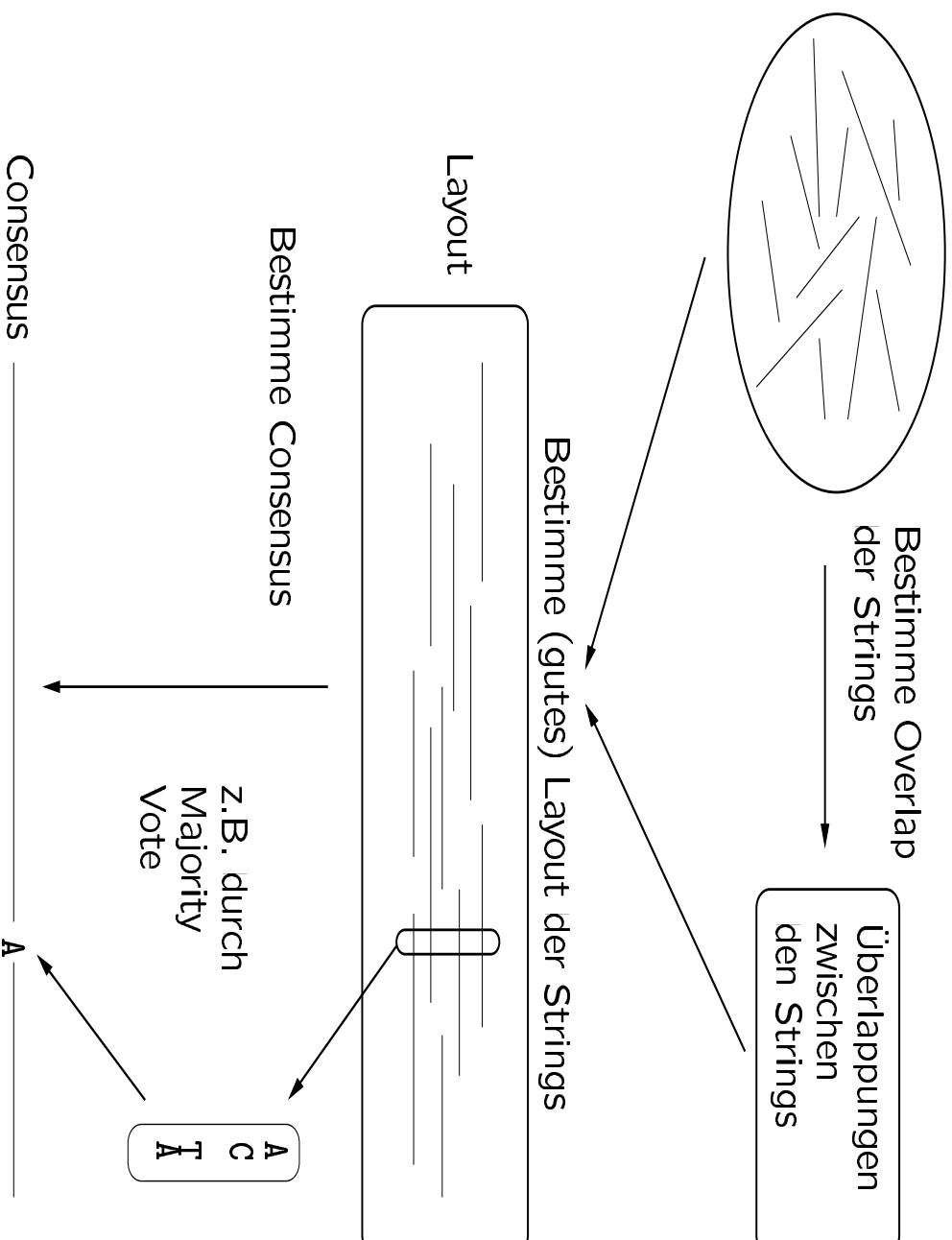


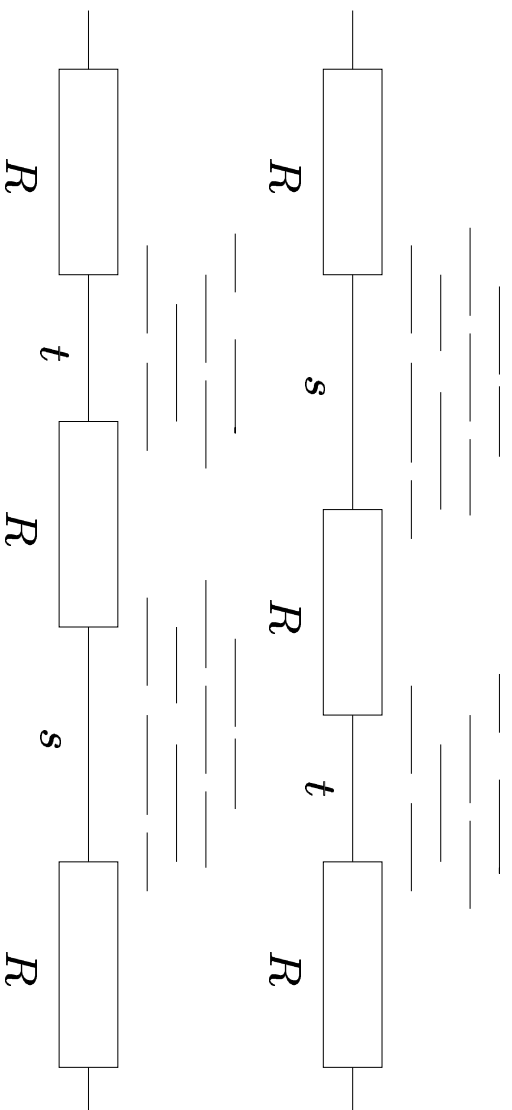




# Overlap--Layout--Consensus

Kollektion von DNA-Fragmenten,  
gegeben als Strings





- $S = \{ababaa, bab, caba, aaddd, abca, aacab\}$
- teilstringfrei :  $S' = \{ababaa, caba, aaddd, abca, aacab\}$ .
- trivialer Superstring  $w_T = ababacabaadddaabcaaacab$ , Länge  $|w_T| = 25$

*aacab*  
*abca*  
*ababaa*  
*caba*  
*aaddd*  
*aadddcababacaacab*

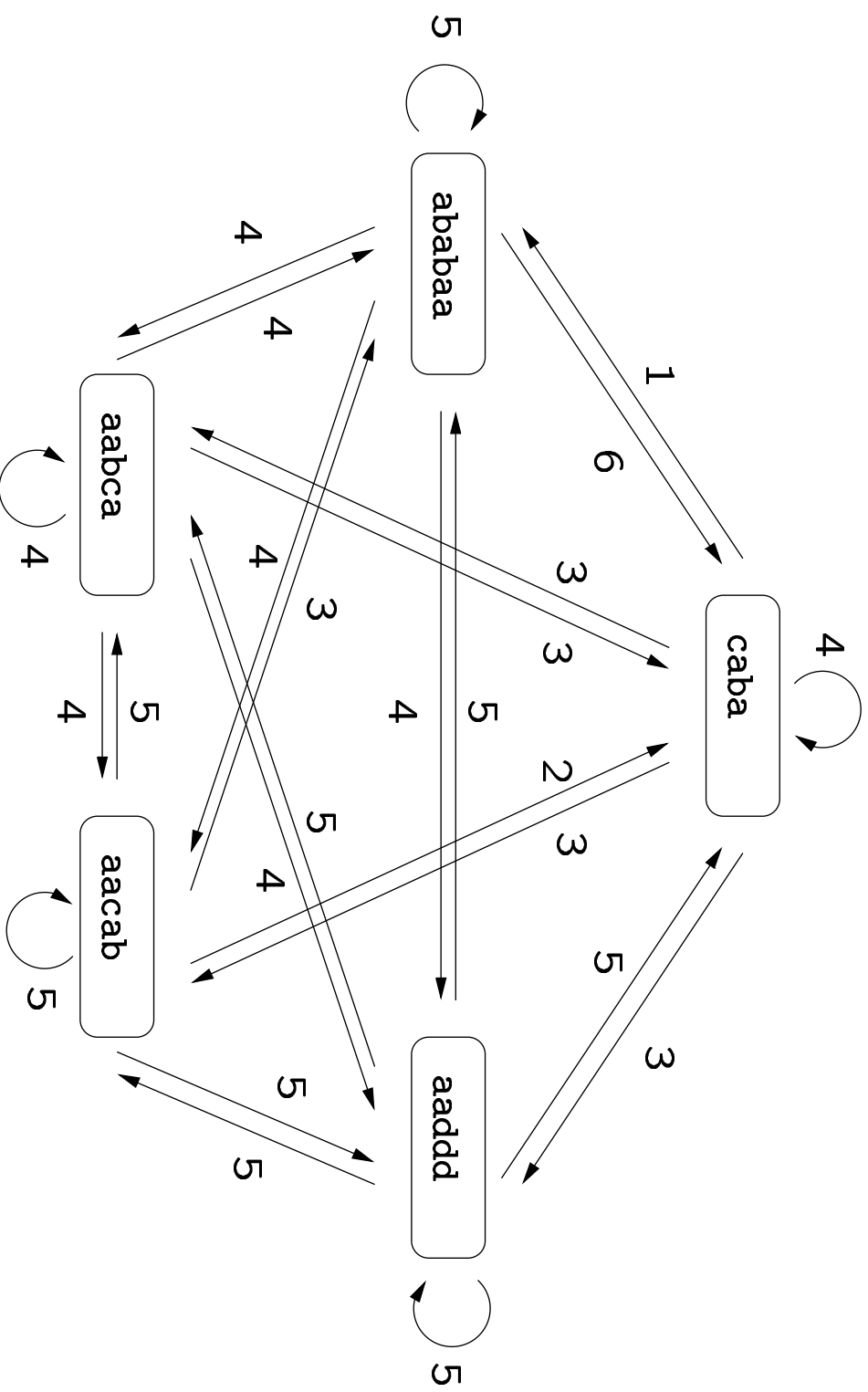
Länge 19, Kompression 6

*aaddd*  
*abca*  
*ababaa*  
*caba*  
*aacab*  
*aacababacaaddd*

Länge 16, Kompression 9



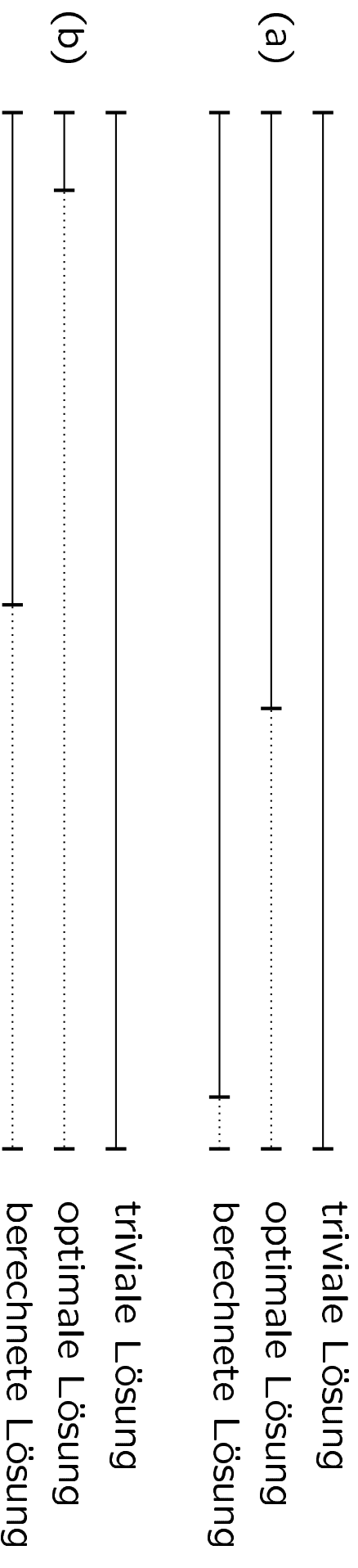


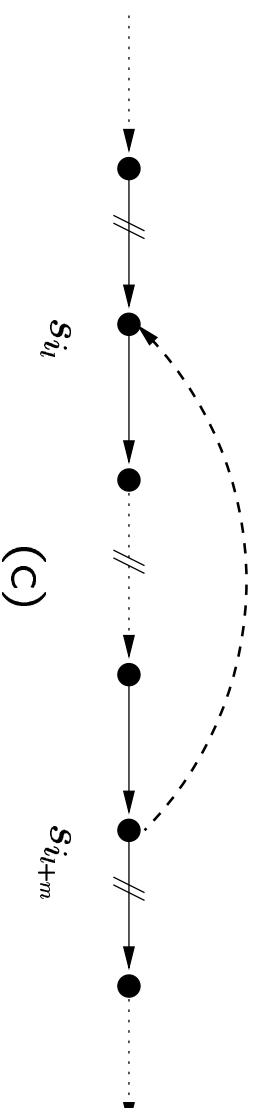
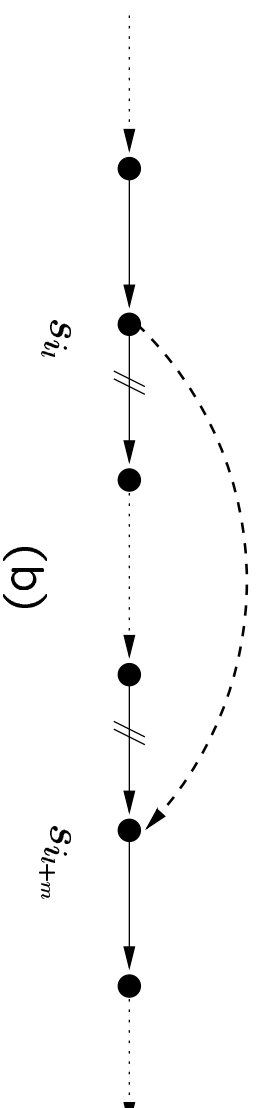
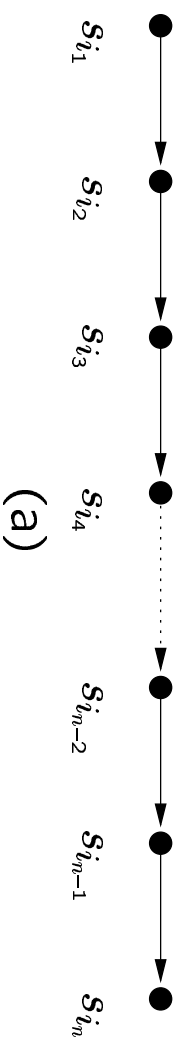


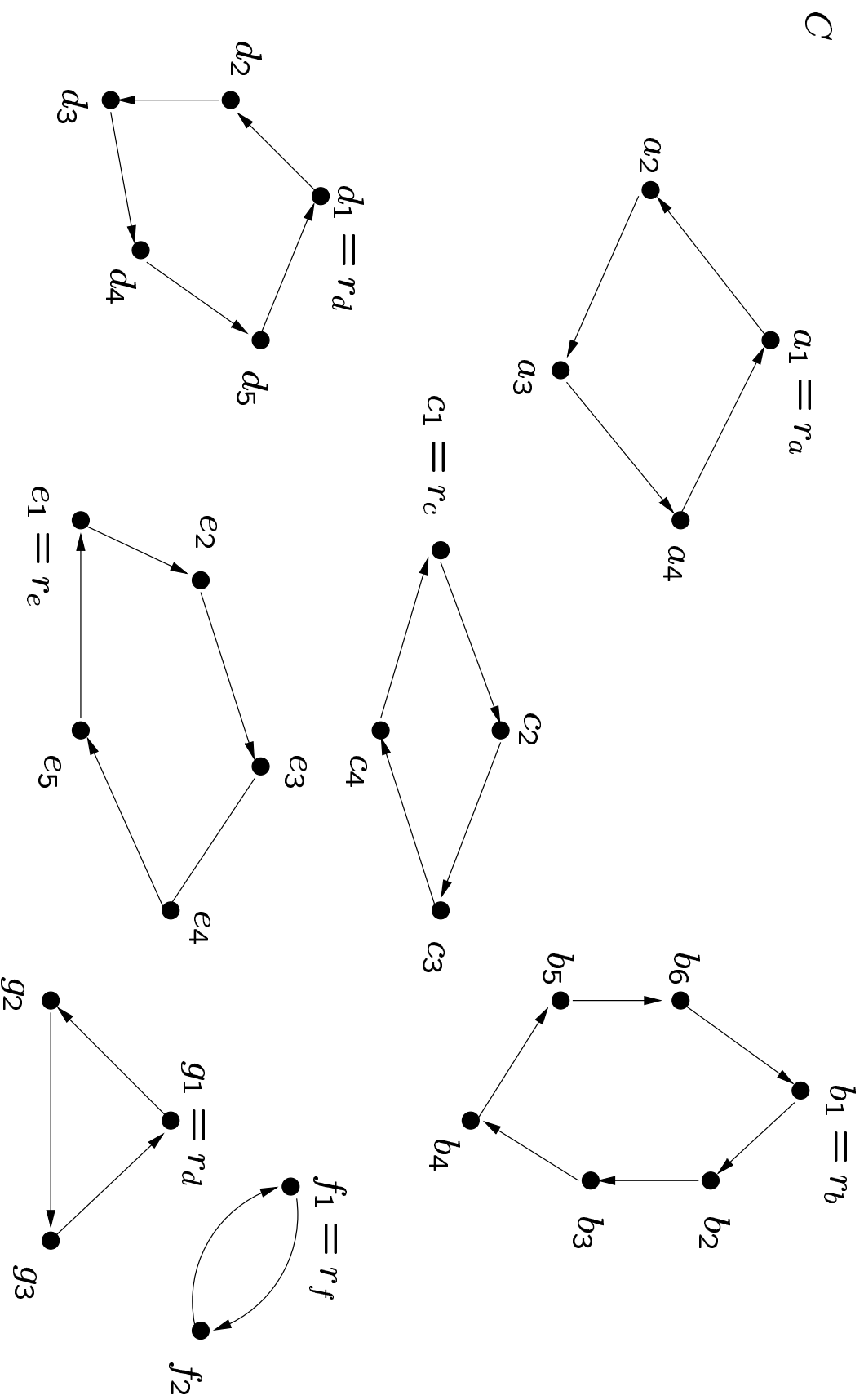
Paarweise Overlaps für  $S' = \{ababaa, caba, aaddd, abca, aacab\}$

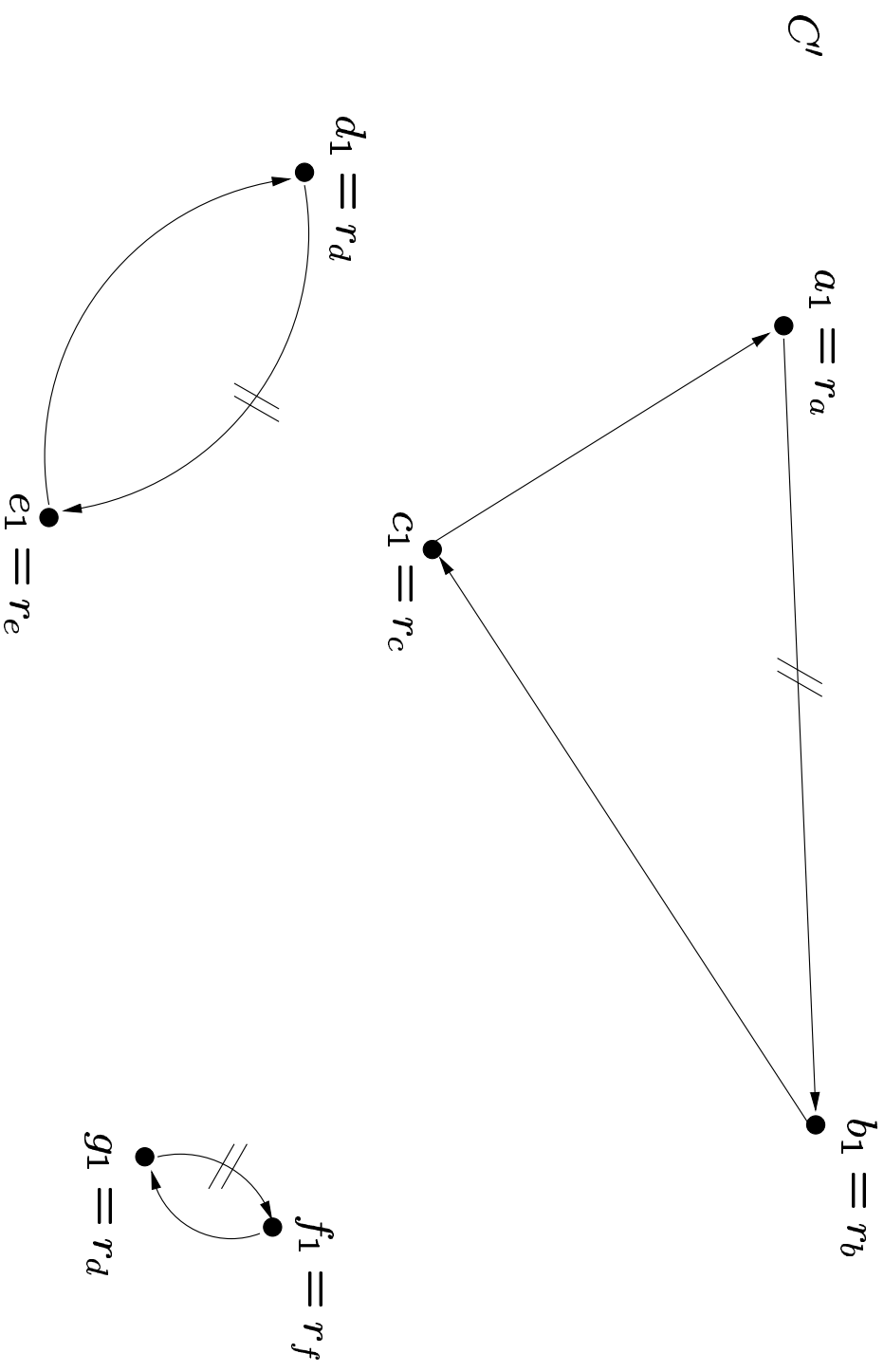
8

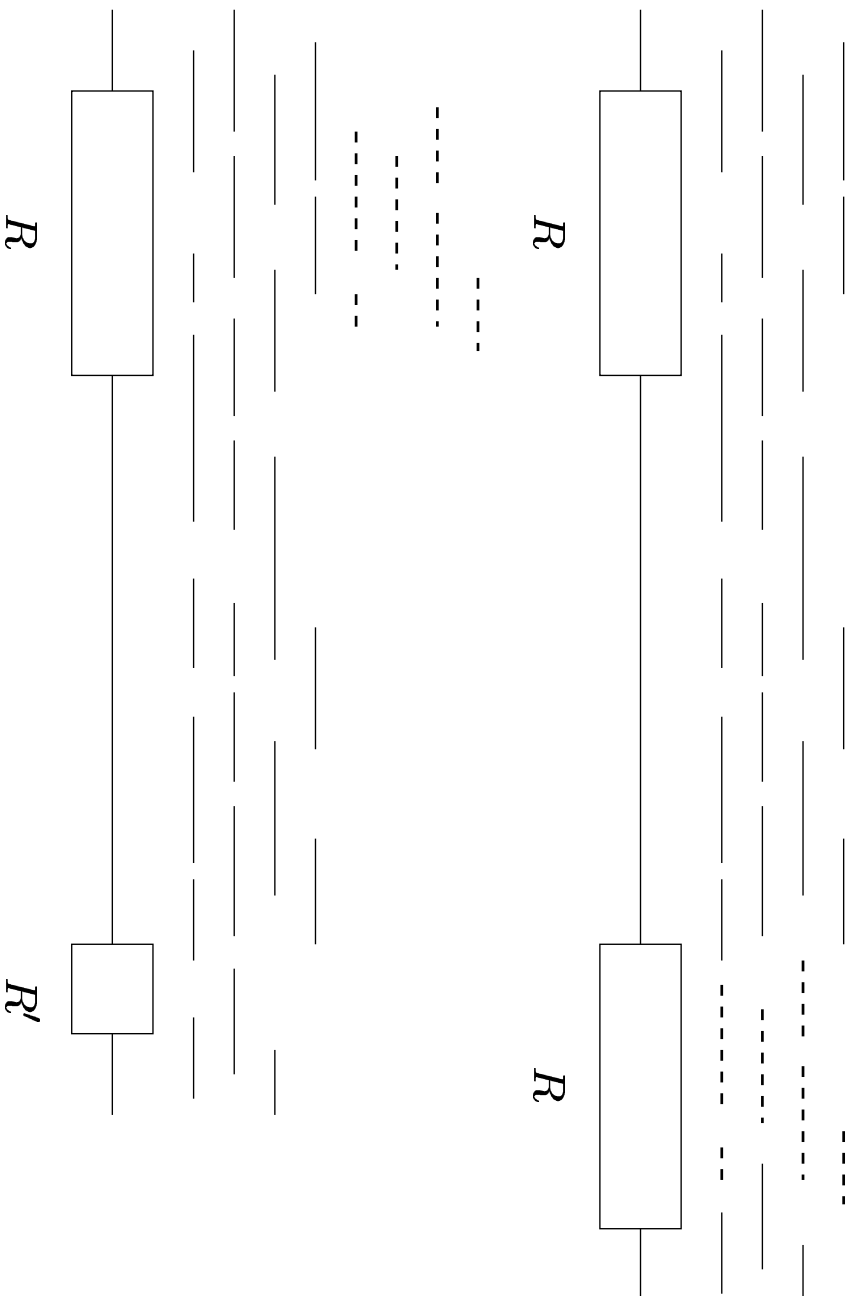
	<i>ababaa</i>	<i>caba</i>	<i>aaddd</i>	<i>abca</i>	<i>aacab</i>
<i>ababaa</i>	1	0	2	2	2
<i>caba</i>	3	0	1	1	1
<i>aaddd</i>	0	0	0	0	0
<i>abca</i>	1	2	1	1	1
<i>aacab</i>	2	3	0	0	0





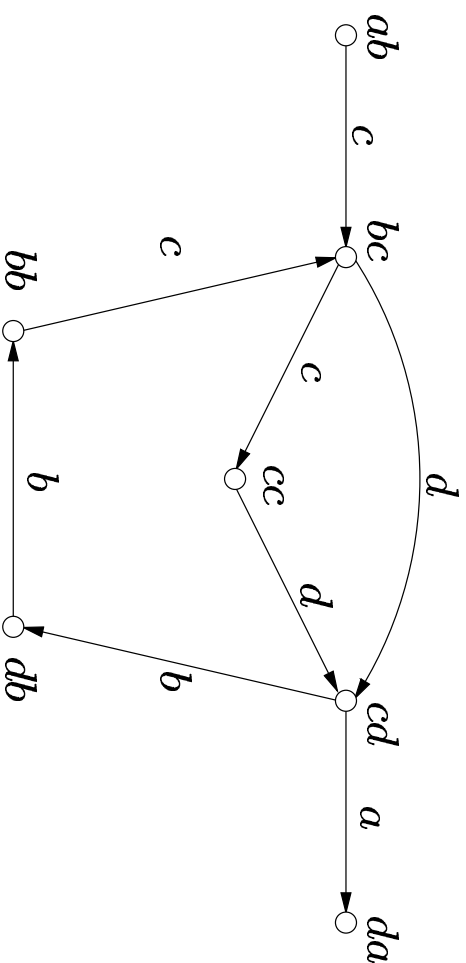


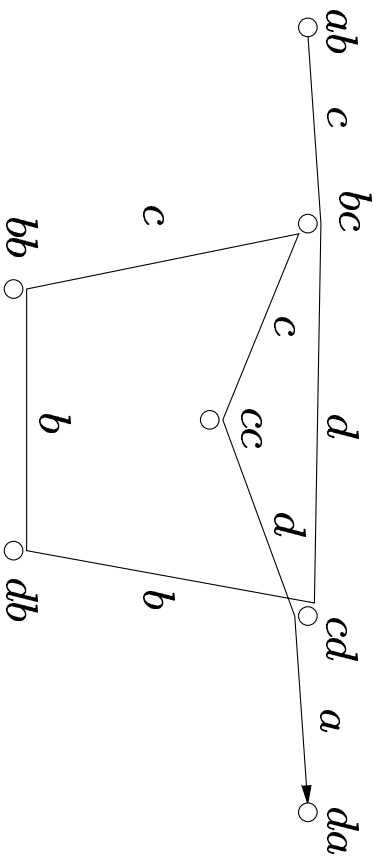




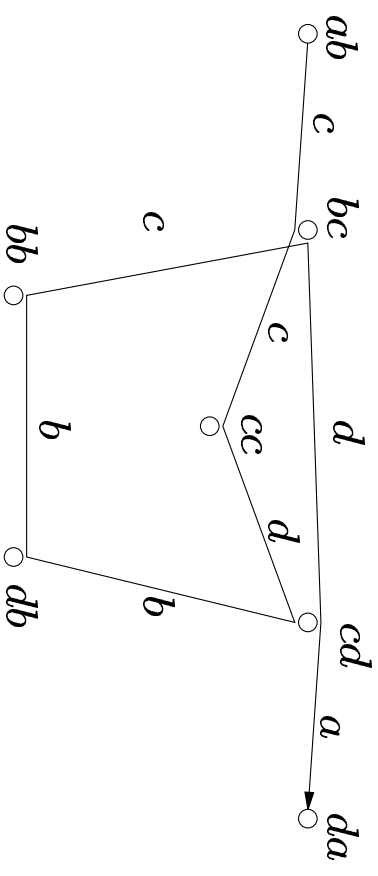


Spektrum  $S = \{abc, bbc, bcc, bcd, ccd, cda, cdb, dbb\}$

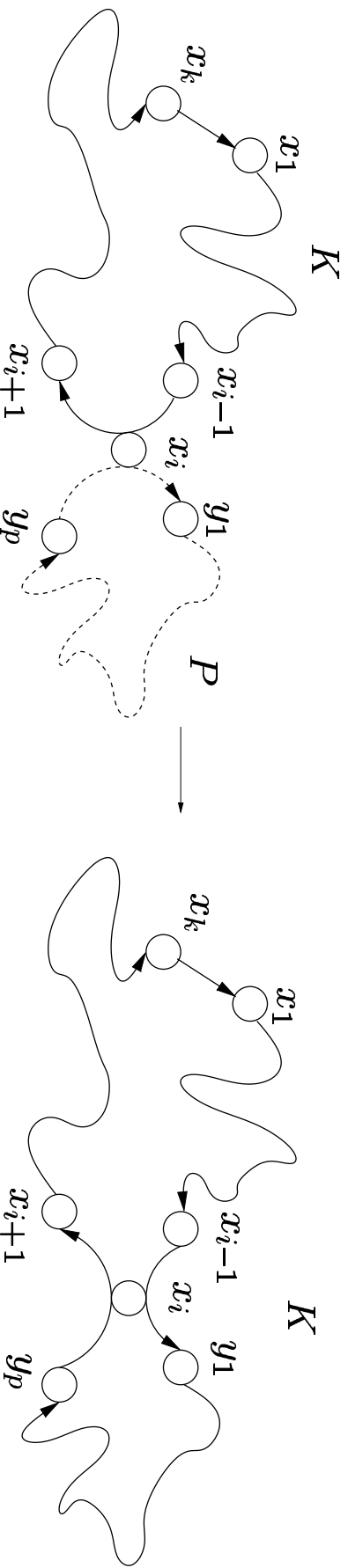




$w_1 = abcdbbccda$



$w_2 = abcdbbccda$



# Die Autokorrelation für $t = ababa$

1

$i$	$t_1 \dots t_{l-i}$	$t_{i+1} \dots t_l$	$c_i^{(t)}$
0	<i>ababa</i>	<i>ababa</i>	1
1	<i>abab</i>	<i>baba</i>	0
2	<i>aba</i>	<i>aba</i>	1
3	<i>ab</i>	<i>ba</i>	0
4	<i>a</i>	<i>a</i>	1

$$CORR_t(x) = 1 + x^2 + x^4.$$

- $\Sigma = \{1, 2, 3, 4, 5, 6\}$

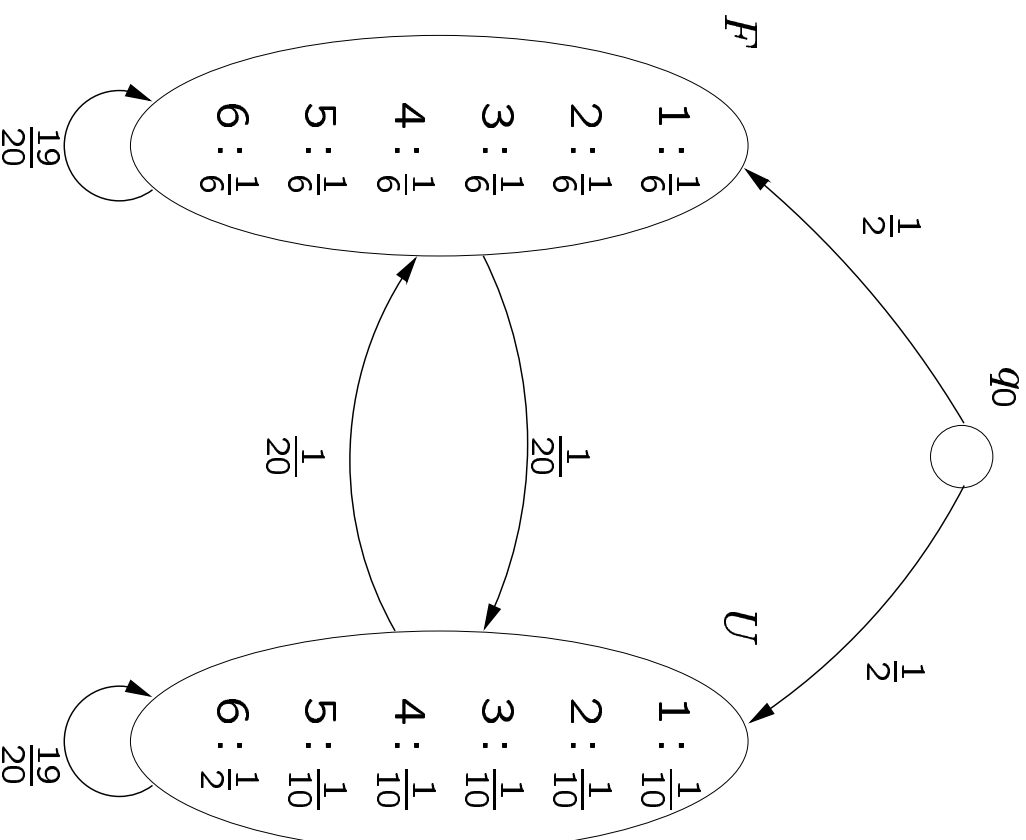
- $Q = \{q_0, F, U\}$

- $\delta$

	$q_0$	$F$	$U$
$q_0$	0	$\frac{1}{2}$	$\frac{1}{2}$
$F$	0	$\frac{19}{20}$	$\frac{1}{20}$
$U$	0	$\frac{1}{20}$	$\frac{19}{20}$

- $\eta$

	1	2	3	4	5	6
$F$	$\frac{1}{6}$	$\frac{1}{6}$	$\frac{1}{6}$	$\frac{1}{6}$	$\frac{1}{6}$	$\frac{1}{6}$
$U$	$\frac{1}{10}$	$\frac{1}{10}$	$\frac{1}{10}$	$\frac{1}{10}$	$\frac{1}{10}$	$\frac{1}{2}$

**Eingabe:** Ein HMM  $\mathcal{M} = (\Sigma, Q, q_0, \delta, \eta)$  und ein String  $x = x_1, \dots, x_n \in \Sigma^n$ .

1. Initialisierung:

```
 $\sigma_{q_0}(0) := 1$   
for all  $q \in Q - \{q_0\}$  do  
   $\sigma_q(0) := 0$ 
```

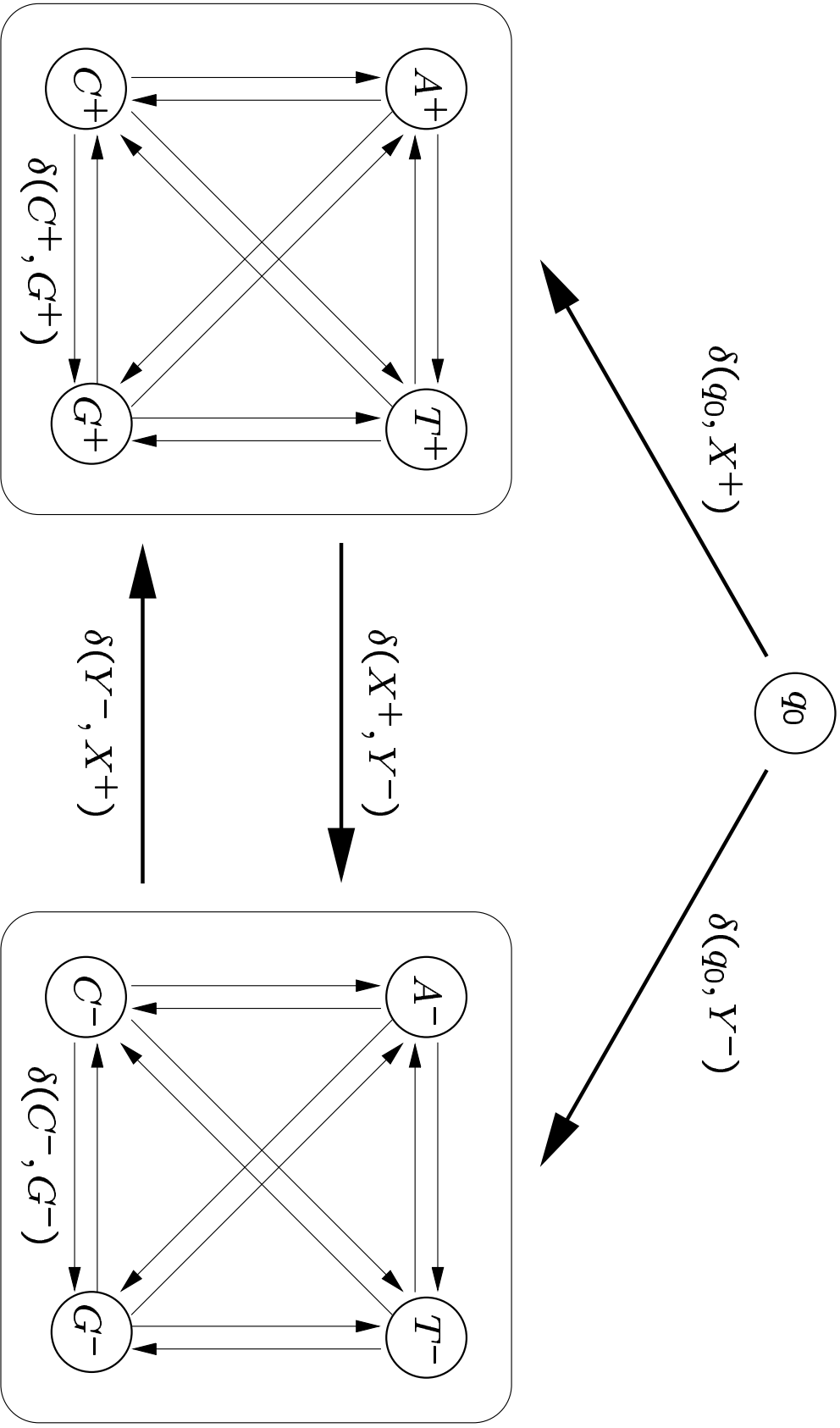
2. Berechnung der  $\sigma_q(i)$ :

```
for  $i = 1$  to  $n$  do  
  for all  $q \in Q - \{q_0\}$  do  
     $\sigma_q(i) := \eta(q, x_i) \cdot \max_{p \in Q} (\sigma_p(i-1) \cdot \delta(p, q))$   
     $ptr_q(i) := \operatorname{argmax}_{p \in Q} (\sigma_p(i-1) \cdot \delta(p, q))$ 
```

3. Traceback zur Bestimmung eines wahrscheinlichsten Pfades  $\pi^*$ :

```
 $Prob[x | \pi^*] := \max_{p \in Q - \{q_0\}} (\sigma_p(n))$   
 $\pi_n^* := \operatorname{argmax}_{p \in Q - \{q_0\}} (\sigma_p(n))$   
for  $i := n - 1$  downto  $0$  do  
   $\pi_i^* := ptr_{\pi_{i+1}^*}(i + 1)$ 
```

**Ausgabe:**  $\pi^* = \pi_0^*, \dots, \pi_n^*$  als einen wahrscheinlichsten Pfad für  $x$  in  $M$  mit der Wahrscheinlichkeit  $Prob[x | \pi^*]$ .



## UPGMA-Algorithmus zur Bestimmung eines ultrametrischen Baums 1

---

**Eingabe:** Menge  $A = \{a_1, \dots, a_n\}$  von Taxa und ultrametrische Distanzfunktion  $\delta : A \times A \rightarrow \mathbb{Q}^{\geq 0}$ .

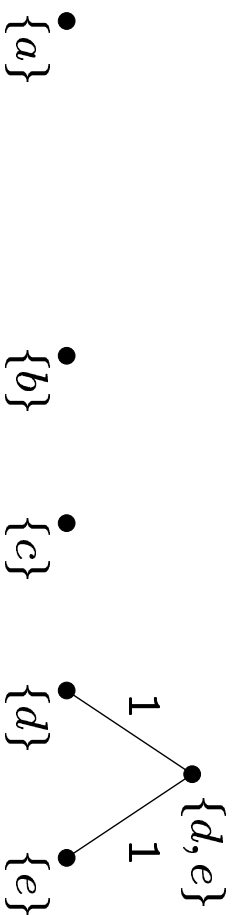
1. (a)  $\Gamma := \{\{a_1\}, \dots, \{a_n\}\}$ ,  $V := \Gamma$  und  $E := \emptyset$ .
- (b)  $dist(\{a_i\}, \{a_j\}) := \delta(a_i, a_j)$  für alle  $i, j \in \{1, \dots, n\}$ .
- (c)  $height(\{a_i\}) := 0$  für alle  $i \in \{1, \dots, n\}$ .
2. **while**  $|\Gamma| \geq 2$  **do**
  - (a) Finde  $C_1, C_2 \in \Gamma$ ,  $C_1 \neq C_2$ , so dass  $dist(C_1, C_2)$  minimal ist, und setze  $D := C_1 \cup C_2$ .
  - (b)  $\Gamma := (\Gamma - \{C_1, C_2\}) \cup \{D\}$ .
  - (c)  $dist(D, X) = dist(X, D) := \frac{dist(C_1, X) + dist(C_2, X)}{2}$  für alle  $X \in \Gamma$ .
  - (d)  $V := V \cup \{D\}$  und  $E := E \cup \{(D, C_1), (D, C_2)\}$ .
  - (e)  $height(D) := \frac{dist(C_1, C_2)}{2}$ .
  - (f)  $d(D, C_i) := height(D) - height(C_i)$  für  $i = 1, 2$

**Ausgabe:** Der ultrametrische Baum  $T = (V, E, d)$  für  $A$ .

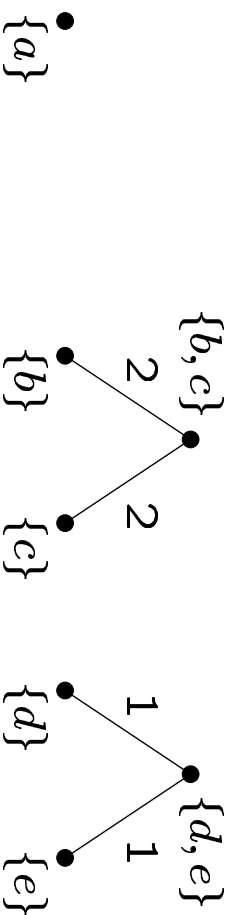




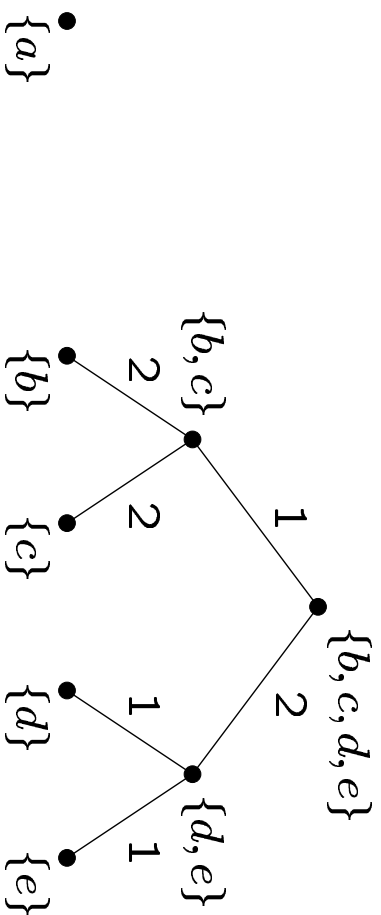
<i>dist</i>	{a}	{b}	{c}	{d}	{e}
{a}	0	12	12	12	12
{b}	12	0	4	6	6
{c}	12	4	0	6	6
{d}	12	6	6	0	2
{e}	12	6	6	2	0



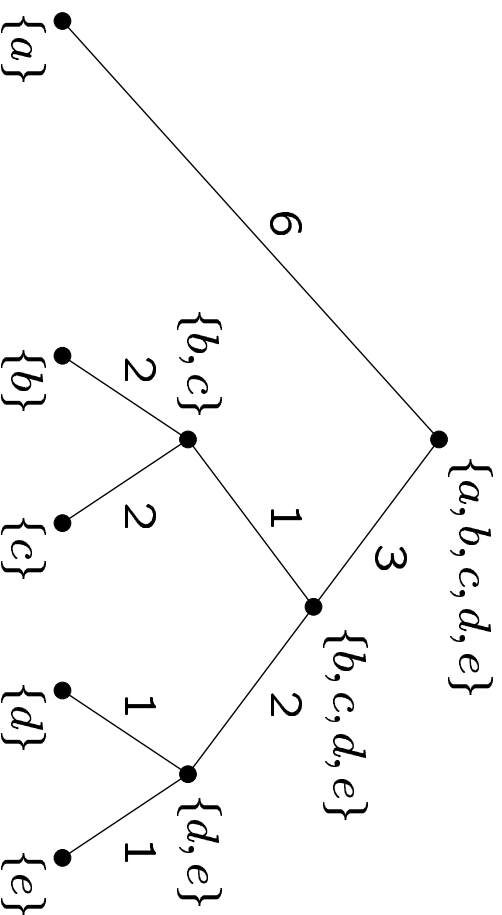
<i>dist</i>	{a}	{b}	{c}	{d,e}
{a}	0	12	12	12
{b}	12	0	4	6
{c}	12	4	0	6
{d,e}	12	6	6	0

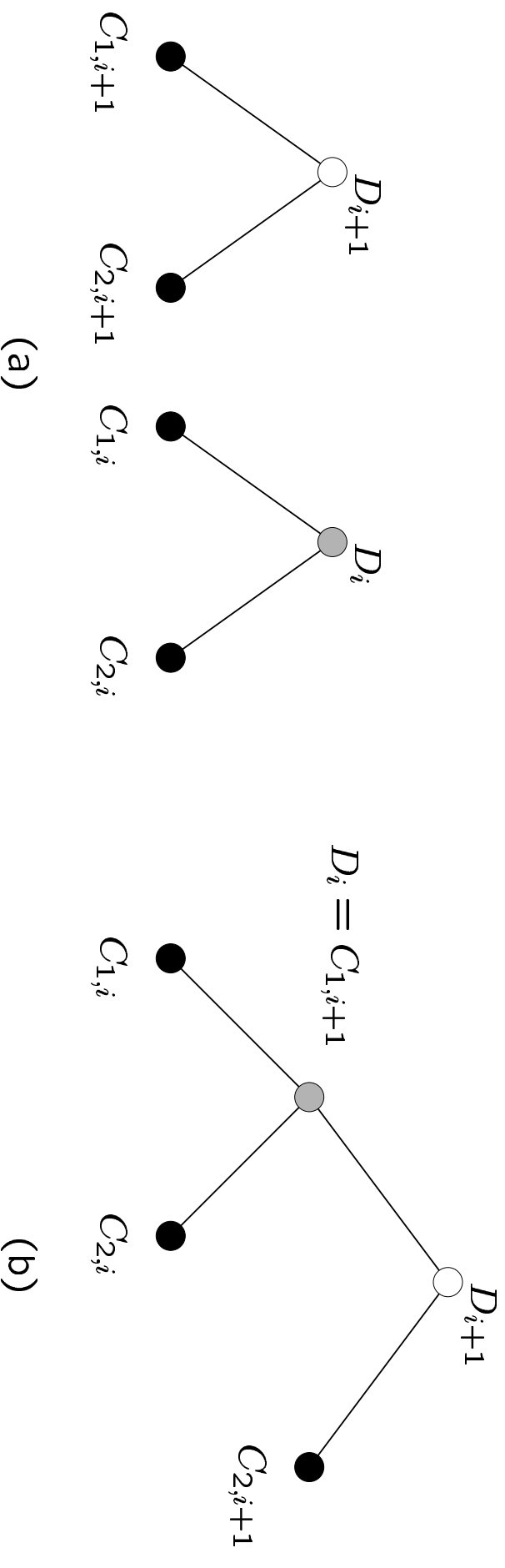


<i>dist</i>	{a}	{b,c,d,e}
{a}	0	12
{b,c}	12	0
{d,e}	12	6



<i>dist</i>	{a}	{b, c, d, e}
{a}	0	12
{b, c, d, e}	12	0





**Eingabe:** Menge  $A = \{a_1, \dots, a_n\}$  von Taxa und metrisches Distanzmaß  $\delta$  auf  $A$ .

1. Bestimme den Distanz-Graphen  $G(A, \delta) = (V, E')$ .
2. Initialisiere den Baum  $T = (U, E, \delta)$  mit  $U := \{a_1\}$  und  $E := \emptyset$ .
3. **while**  $U \neq V$  **do**
  - (a) Bestimme die Kante  $\{x, y\}$  in  $G(A, \delta)$  mit dem kleinsten Gewicht, so dass  $x \in U$  und  $y \in V - U$  gilt.
  - (b) **if** gewählte Kante nicht eindeutig **then**  
Ausgabe „Es existiert kein kompakter additiver Baum“; **stop**
  - (c) **if** Additivitätsbedingung für  $y$  und alle Knoten in  $U$  nicht erfüllt **then**  
Ausgabe „Es existiert kein kompakter additiver Baum“; **stop**
  - (d)  $U := U \cup \{y\}$  und  $E := E \cup \{\{x, y\}\}$ .

**Ausgabe:** Der kompakte additive Baum  $T = (U, E, \delta)$ .

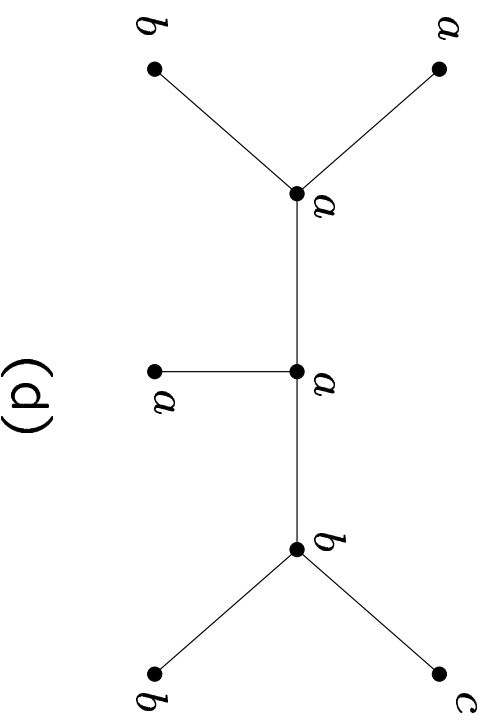
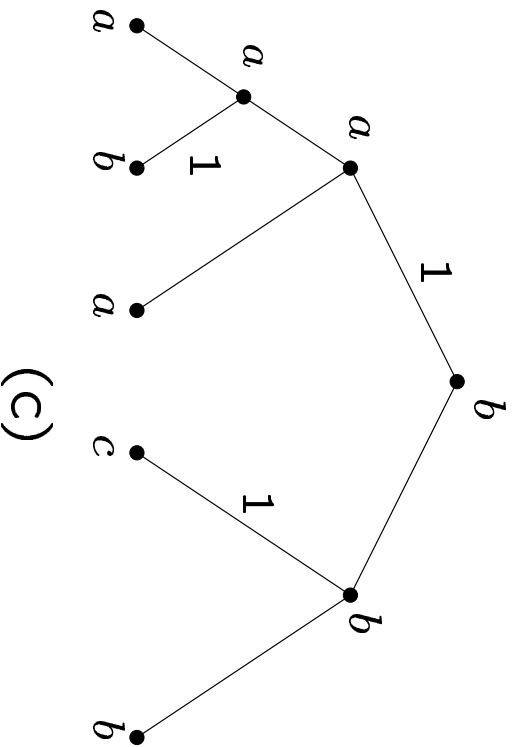
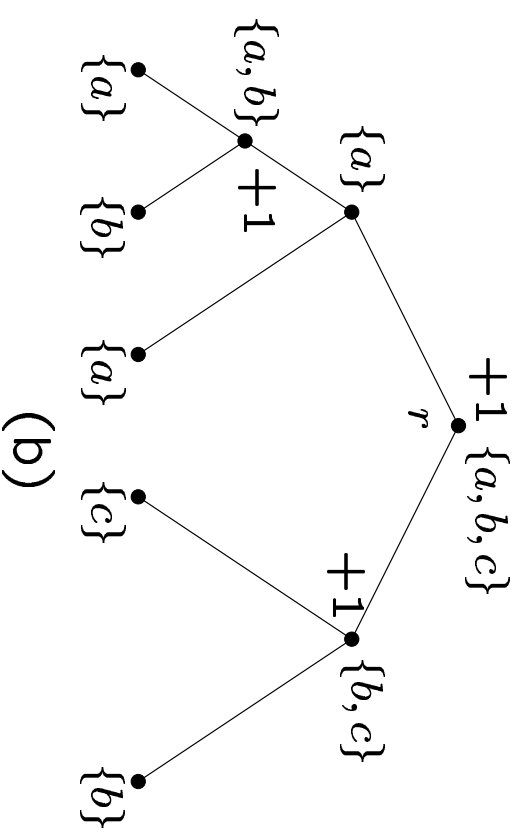
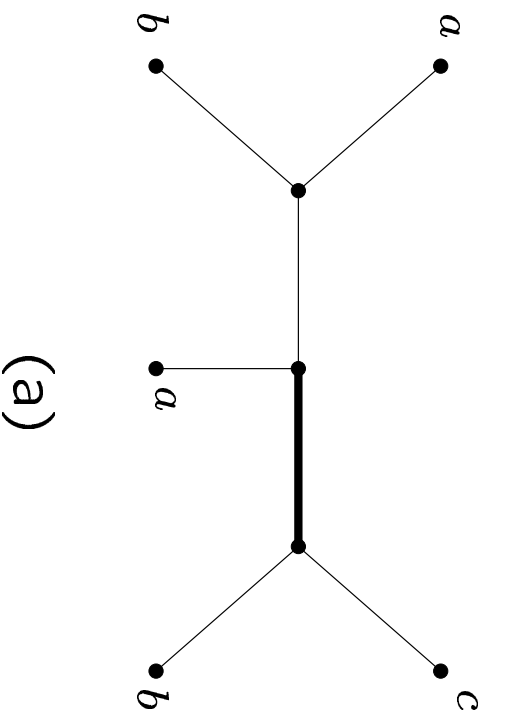
**Eingabe:** Menge  $S$  von  $n$  Strings der Länge  $k$  über einem Alphabet  $\Sigma$  und ein ungerichteter phylogenetischer Baum  $T = (V, E)$  für  $S$ .

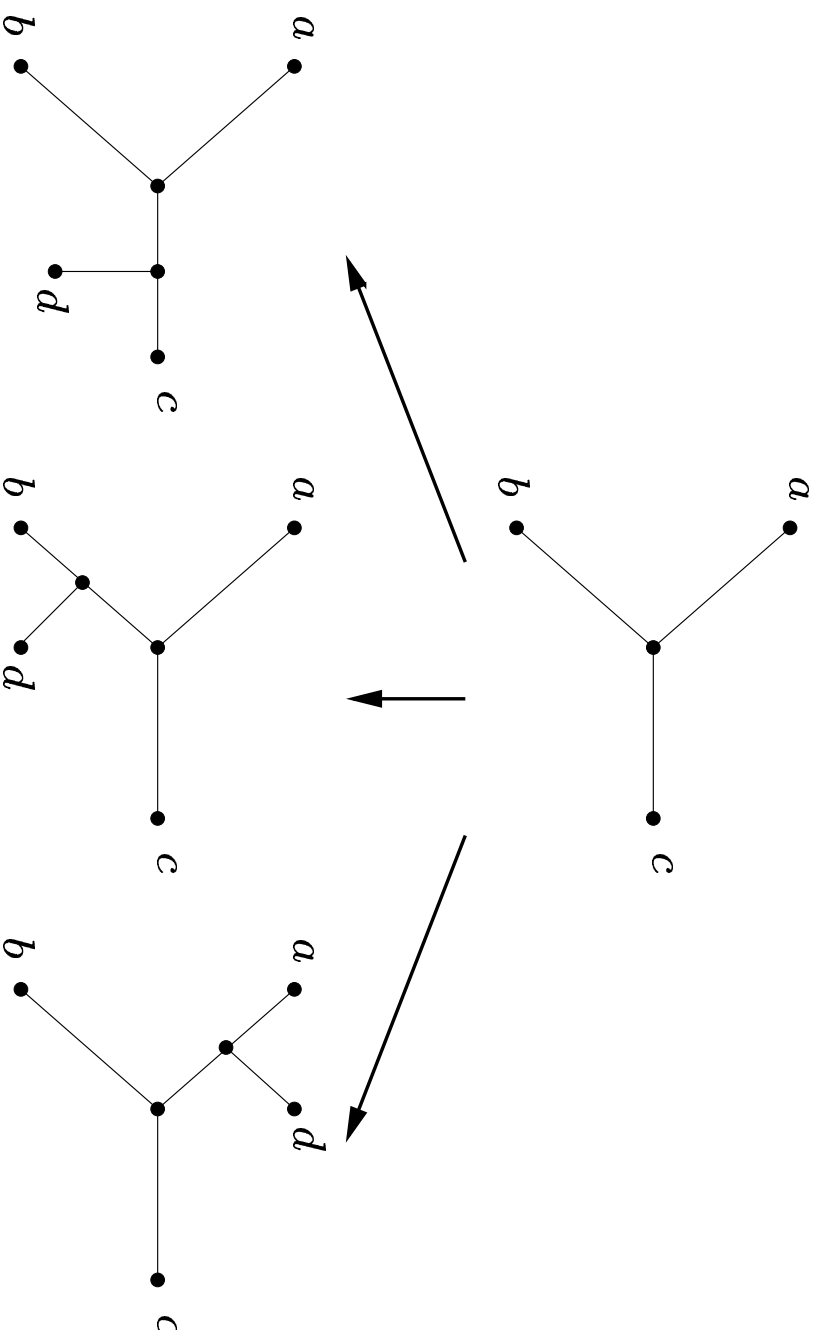
1. Konstruiere Baum  $T' = (V', E')$  mit Wurzel  $r \notin V$  durch  $V' := V \cup \{r\}$  und  $E' := (E - \{\{x, y\}\}) \cup \{\{x, r\}, \{y, r\}\}$  für beliebige Kante  $\{x, y\} \in E$ .
2.  $R(x, l) := \emptyset$  für alle  $x \in V'$  und alle Positionen  $l \in \{1, \dots, k\}$ ;  $cost := 0$
3. **for**  $l := 1$  **to**  $k$  **do**  
Rufe die Prozedur  $Fitch(r, l)$  zur Berechnung von  $R(x, l)$  auf.
4. • Wähle für die Wurzel  $r$  eines ihrer Kinder  $y$  aus und setze für alle Positionen  $l \in \{1, \dots, k\}$   
 $\beta(r, l) := a$  für ein beliebiges  $a \in R(y, l)$ .
  - Durchlaufe  $T'$  von der Wurzel zu den Blättern und setze für jeden Knoten  $y$  mit dem Vater  $x$  und für jede Position  $l \in \{1, \dots, k\}$ 
$$\beta(y, l) := \begin{cases} \beta(x, l) & \text{falls } \beta(x, l) \in R(y, l), \\ a \in R(y, l) & \text{sonst.} \end{cases} \quad (1)$$
  - $\beta(x) := \beta(x, 1) \dots \beta(x, k)$  für alle  $x \in V$  und  $cost(\beta) := cost$ .

**Ausgabe:** Die Strings  $\beta(x)$  für alle Knoten  $x \in V$  und die Kosten  $cost(\beta)$  dieser Beschriftung.

Prozedur *Fitch*( $x, l$ ):

1. **if**  $x$  ist Blatt **then**  
Bestimme die Beschriftung  $t = t_1 \dots t_k$  von  $x$  und setze  $R(x, l) := t$ .
2. **if**  $x$  ist innerer Knoten **then**
  - Bestimme die beiden Kinder  $y$  und  $z$  von  $x$
  - Rufe die Prozeduren *Fitch*( $y, l$ ) und *Fitch*( $z, l$ ) auf.
  - **if**  $R(y, l) \cap R(z, l) \neq \emptyset$  **then**  
 $R(x, l) := R(y, l) \cap R(z, l)$
  - **if**  $R(y, l) \cap R(z, l) = \emptyset$  **then**  
 $cost := cost + 1$   
 $R(x, l) := R(y, l) \cup R(z, l)$



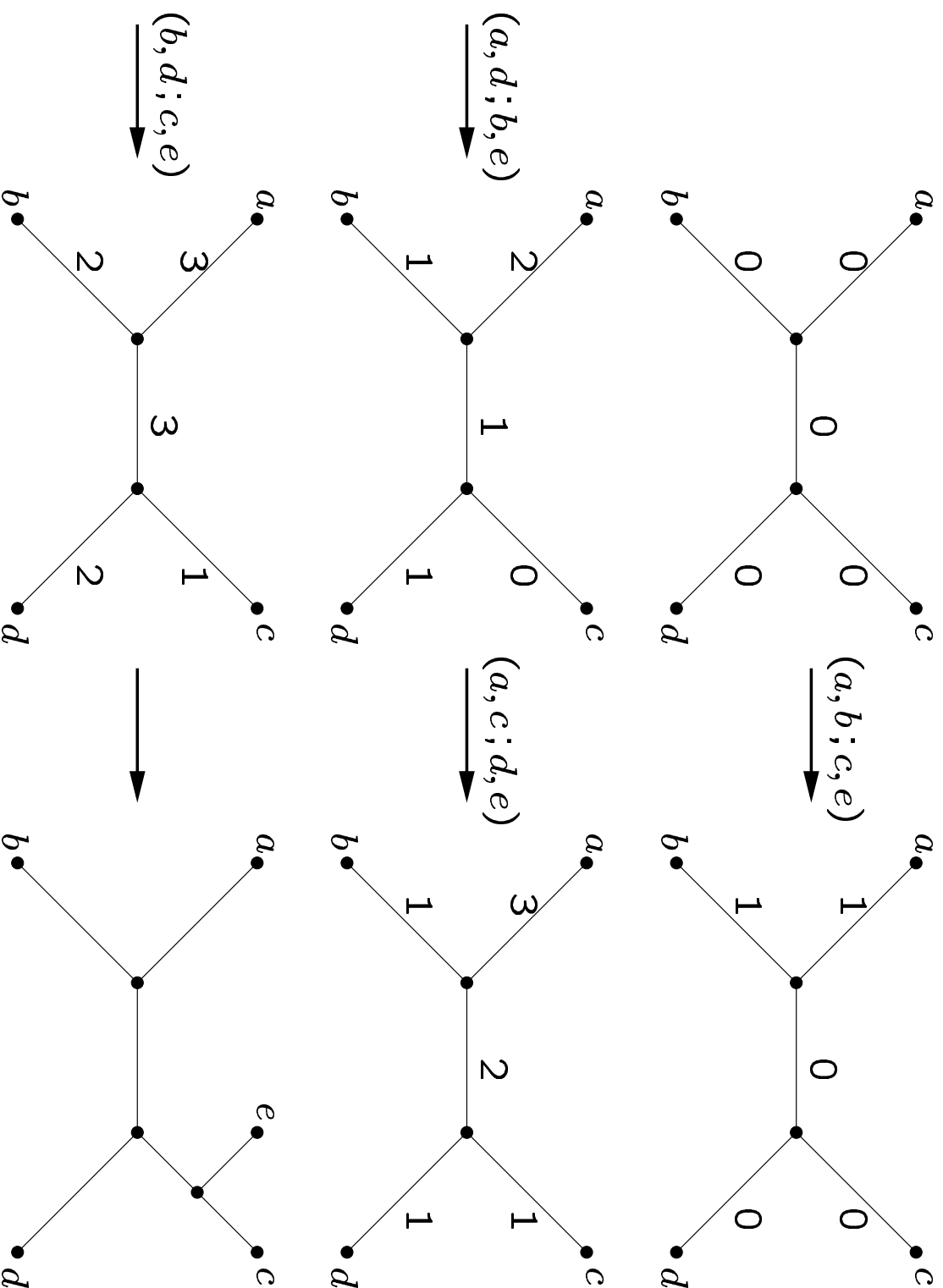




**Eingabe:** Eine Menge  $S$  von  $n$  Taxa.

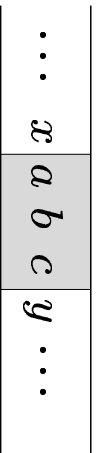
1. Berechne für jede vierelementige Teilmenge  $S' \subseteq S$  das optimale Quartett  $Q(S')$  (entsprechend der Parsimony-Bewertung).
2. Wähle zufällig eine Reihenfolge  $a_1, \dots, a_n$  der Elemente in  $S$ .
3. Setze  $T := Q(\{a_1, a_2, a_3, a_4\})$ .
4. **for**  $i := 5$  **to**  $n$  **do**
  - Initialisiere die Kosten aller Kanten in  $T$  mit 0.
  - Für alle  $S' = \{b_1, b_2, b_3\} \subseteq \{a_1, \dots, a_{i-1}\}$ , so dass  $Q(\{b_1, b_2, b_3, a_i\})$  die Form  $(b_1, b_2; b_3, a_i)$  hat, erhöhe die Kantenkosten auf dem Pfad von  $b_1$  nach  $b_2$  in  $T$  jeweils um 1.
  - Wähle eine Kante  $\{x, y\}$  in  $T$  mit minimalen Kosten, lösche diese und füge einen neuen Knoten ein, der mit  $x$ ,  $y$  und dem neuen Blatt  $a_i$  verbunden ist.

**Ausgabe:** Der ungerichtete phylogenetische Baum  $T$  für  $S$ .

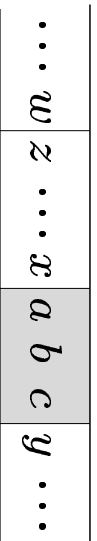
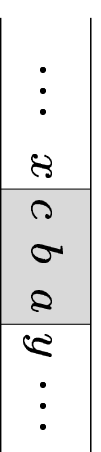


# Typen von Genome Rearrangements

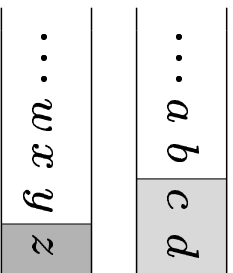
1



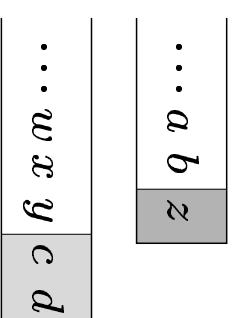
Reversal



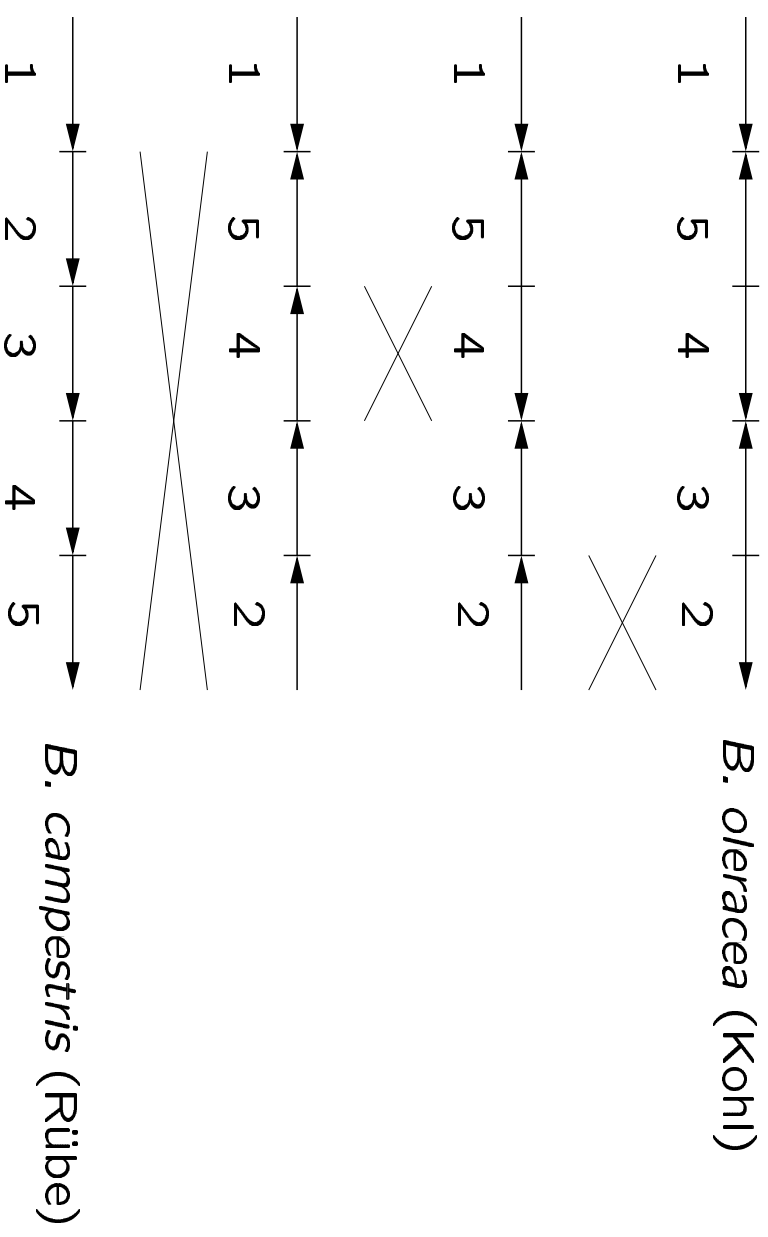
Transposition



reziproke  
Transposition



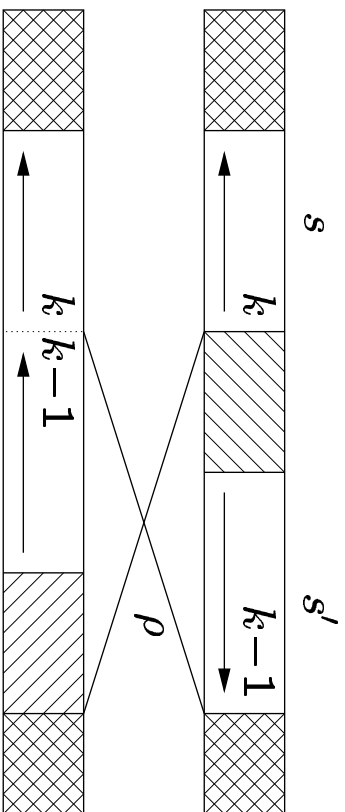
# Vergleich mitochondrialer Genome von Kohl und Rübe 2



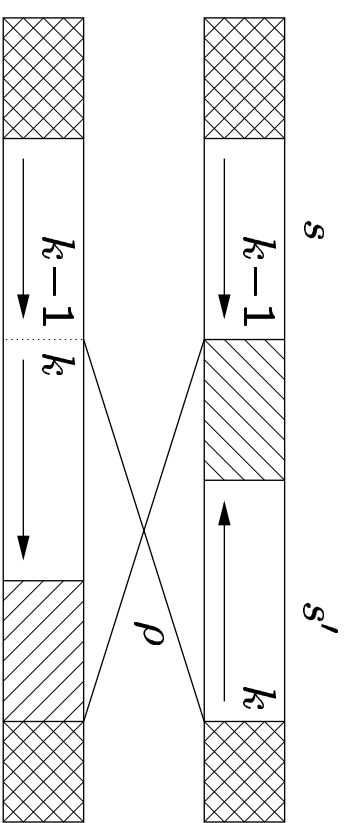
Beispiel: Sortieren der Permutation  $\pi = (2, 1, 3, 7, 5, 4, 8, 6)$  3

---

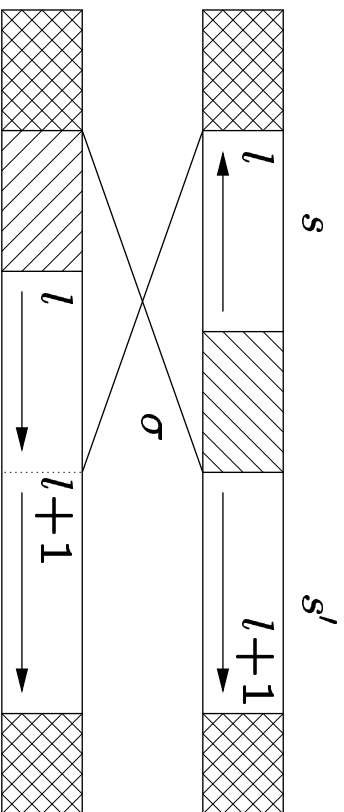
<u>2</u>	<u>1</u>	3	7	5	4	8	6
1	2	3	<u>7</u>	<u>5</u>	<u>4</u>	8	6
1	2	3	4	5	7	<u>8</u>	<u>6</u>
1	2	3	4	5	<u>7</u>	<u>6</u>	8
1	2	3	4	5	6	7	8



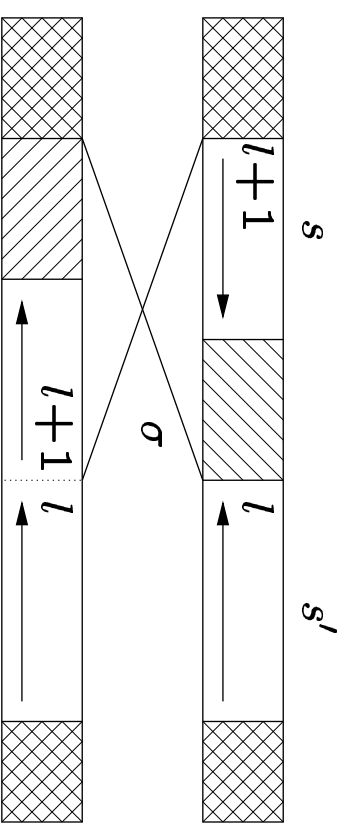
(a)



(b)



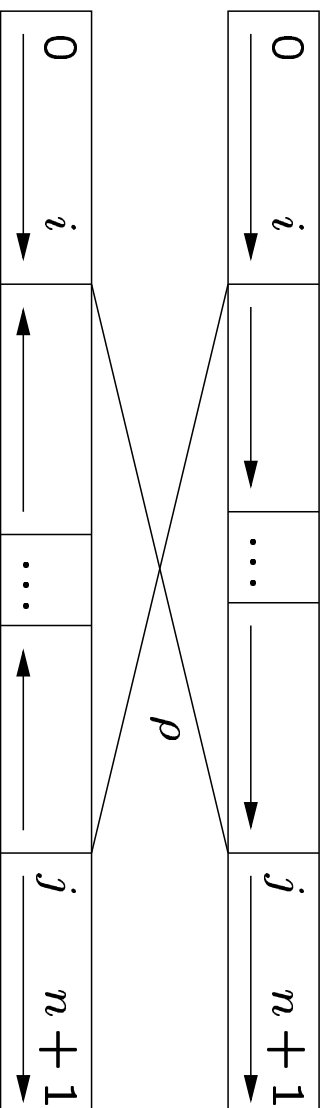
(c)



(d)

## Die Situation im Beweis von Lemma 10.4

5

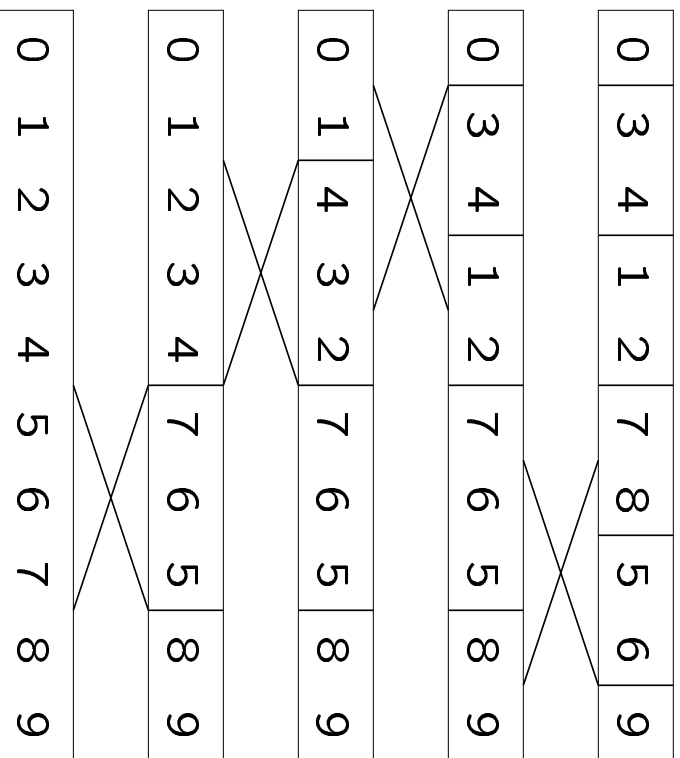


**Eingabe:** Eine Permutation  $\pi$  der Ordnung  $n$ .

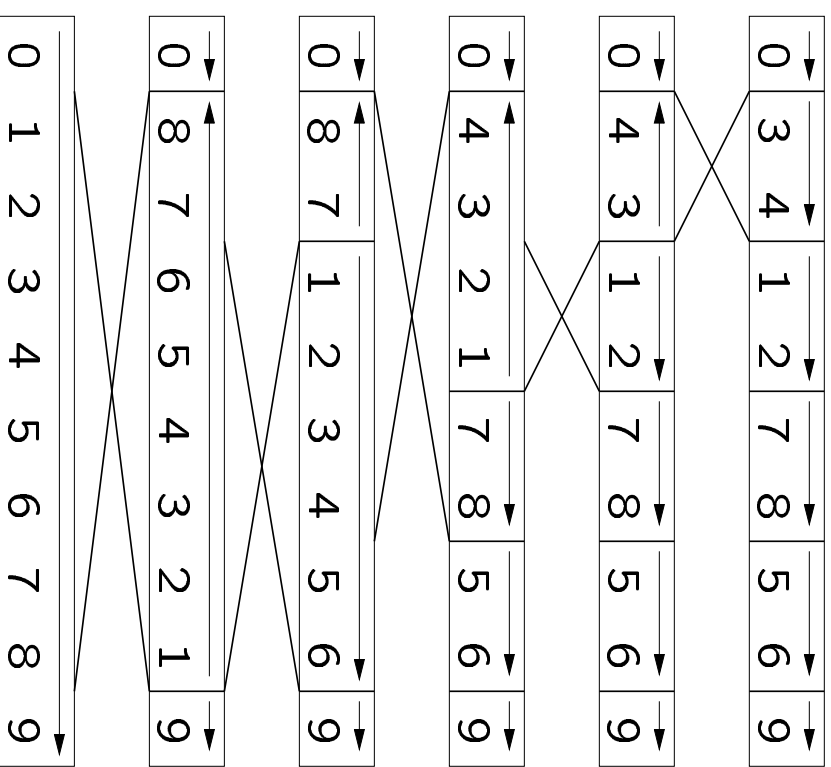
```
list ::=  $\emptyset$ 
while  $\pi$  ist nicht die identische Permutation do
  if  $\pi$  hat absteigenden Strip then
    Bestimme das kleinste Element  $k$  in einem absteigenden Strip von  $\pi$ .
    Bestimme die Position  $i$  von  $k$  in  $\pi$  und die Position  $i'$  von  $k - 1$  in  $\pi$ .
     $\rho ::= (i' + 1, i)$ -Reversal von  $ext(\pi)$ 
    if  $\pi\rho$  hat keinen absteigenden Strip then
      Bestimme das größte Element  $l$  in einem absteigenden Strip von  $\pi$ .
      Bestimme die Position  $j$  von  $l$  in  $\pi$  und die Position  $j'$  von  $l + 1$  in  $\pi$ .
       $\rho ::= (j, j' - 1)$ -Reversal von  $ext(\pi)$ 
    else  $\{\pi$  hat keinen absteigenden Strip $\}$ 
       $\rho ::=$  Reversal, das an den ersten zwei Breakpoints von  $ext(\pi)$  schneidet
       $\pi ::= \pi\rho$ 
    list ::= list  $\cup$   $\rho$ 
```

**Ausgabe:** Die Liste *list* der Reversals.

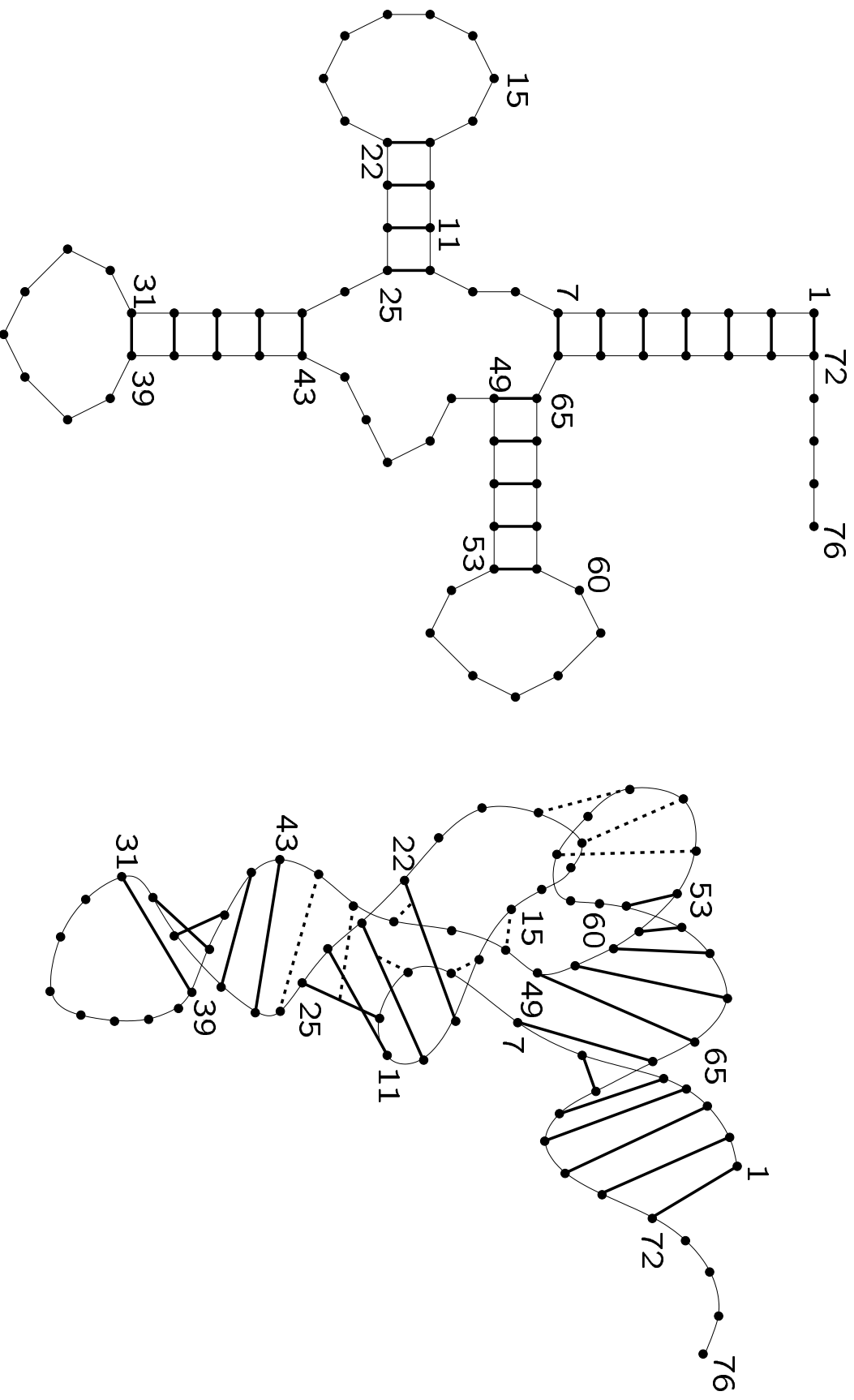




(a)



(b)



**Eingabe:** Ein String  $r = r_1 \dots r_n$ .

1. Initialisierung:

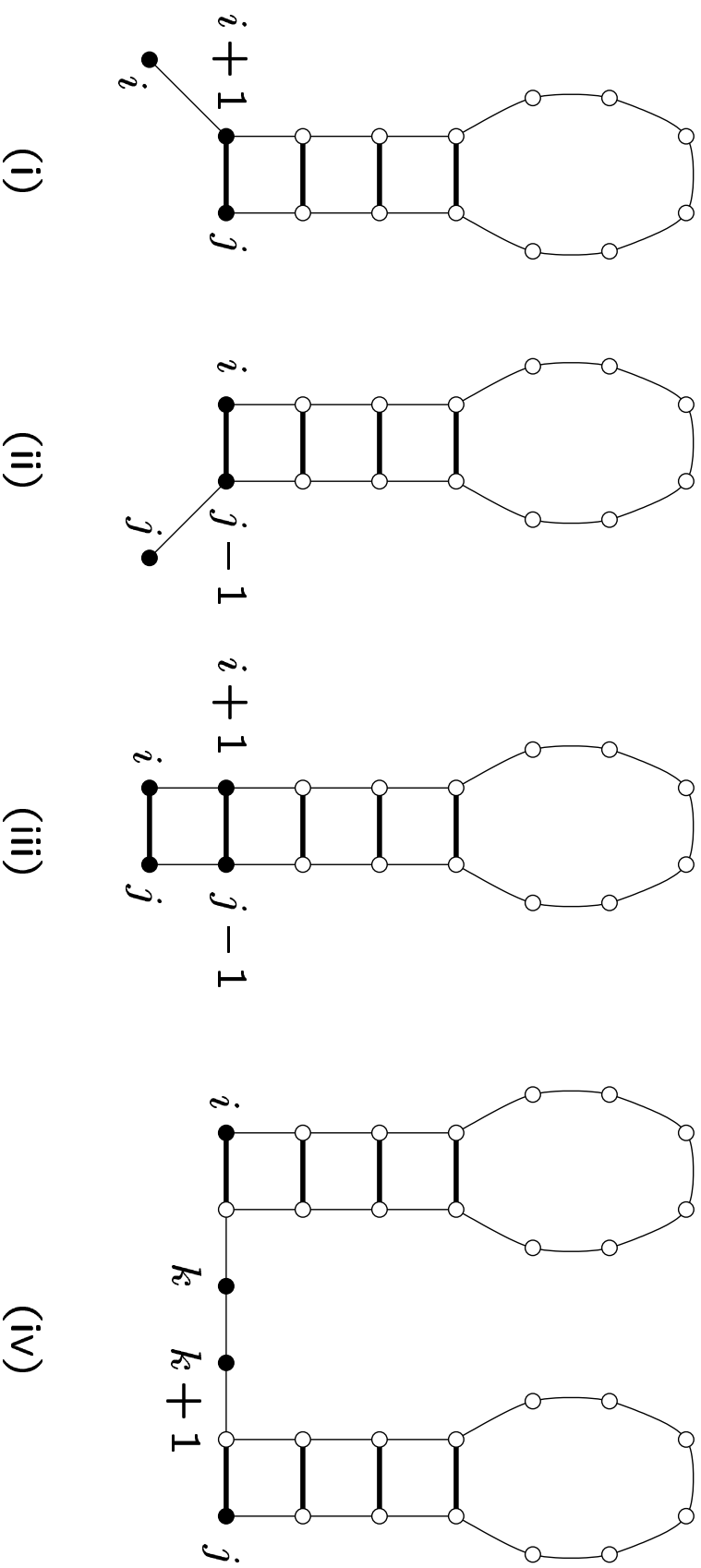
```
for  $i = 2$  to  $n$  do
   $BP(S_{i,i-1}) := 0$ 
for  $i = 1$  to  $n$  do
   $BP(S_{i,i}) := 0$ 
```

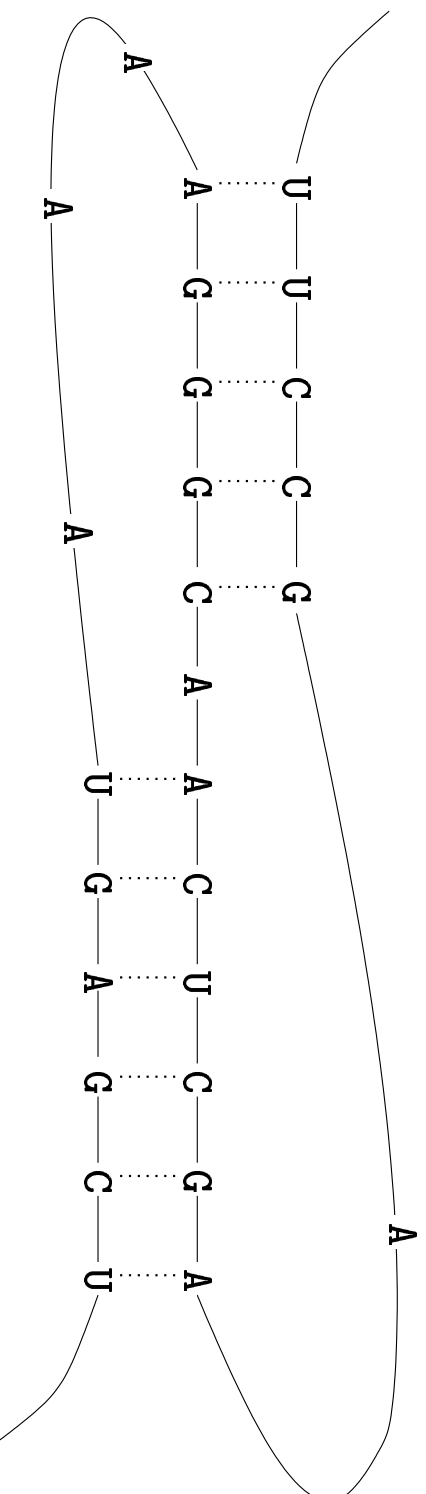
2. Rekurrenz:

```
for  $l = 1$  to  $n - 1$  do
  for  $i = 1$  to  $n - l$  do
     $j := i + l;$ 
     $BP(S_{i,j}) := \max \left\{ \begin{array}{l} BP(S_{i+1,j}) \\ BP(S_{i,j-1}) \\ BP(S_{i+1,j-1}) + \delta(r_i, r_j) \\ \max_{k,i < k < j} \{BP(S_{i,k}) + BP(S_{k+1,j})\} \end{array} \right.$ 
```

(i)  
(ii)  
(iii)  
(iv)

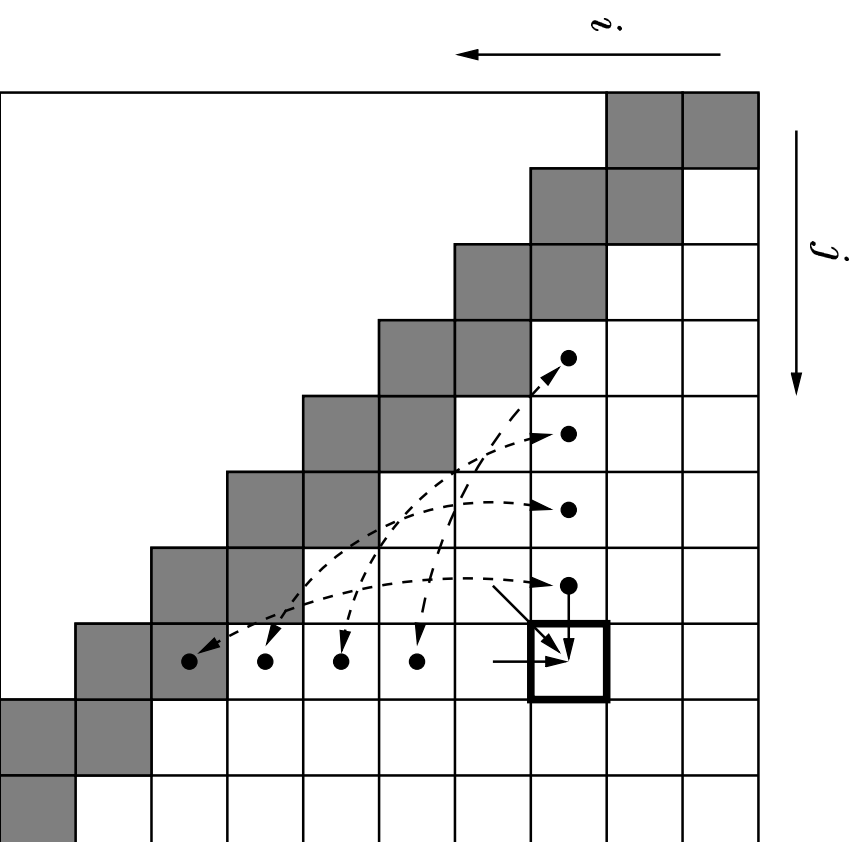
**Ausgabe:**  $BP(S_{1,n})$



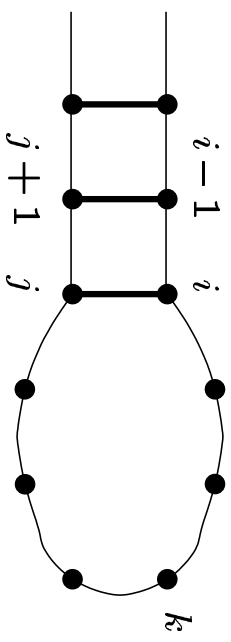


Berechnung der Matrixeinträge  $BP(S_{i,j})$  (bzw.  $E(S_{i,j})$ )  
beim Algorithmus von Nussinov

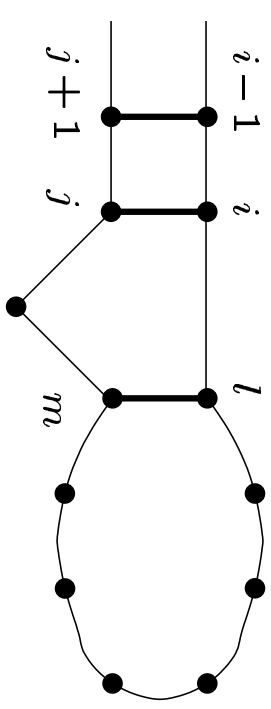
5



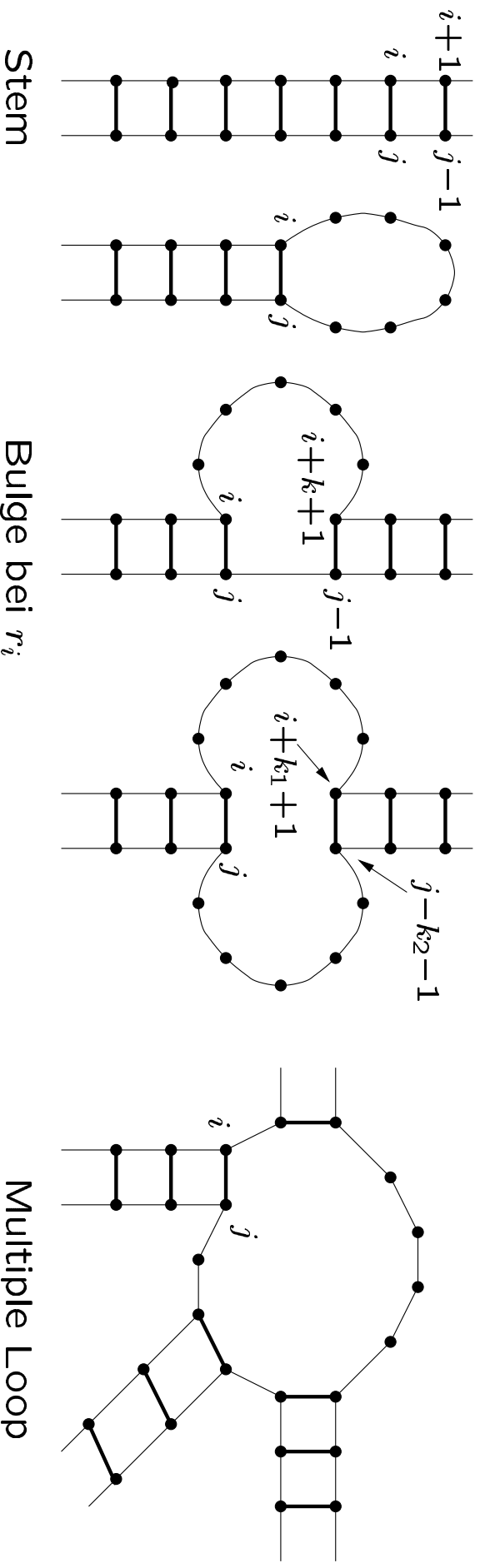
# Erreichbarkeit von Basen und Basenpaaren von einem Basenpaar $(i, j)$



(a)



(b)





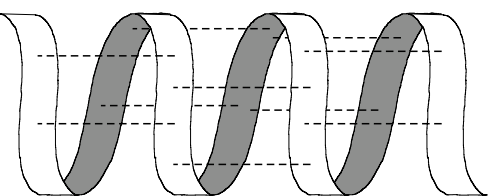
Eingabe: Ein String  $r = r_1 \dots r_n$ .

Rekurrenz:

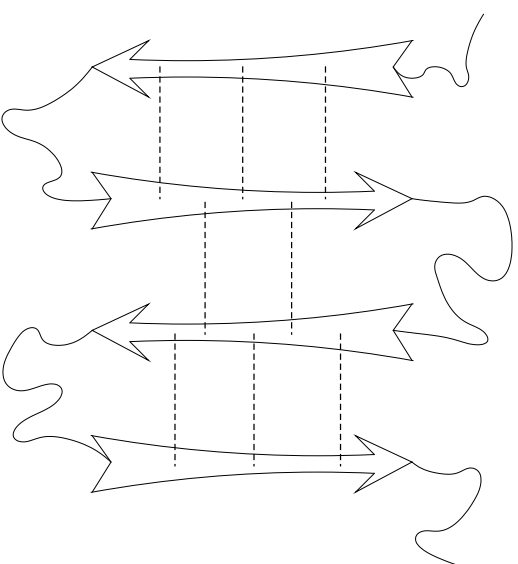
```
for  $l = 1$  to  $n - 1$  do
  for  $i = 1$  to  $n - l$  do
     $j := i + l$ ;
     $E(S_{i,j}) := \min \begin{cases} E(S_{i+1,j}) & \text{(i)} \\ E(S_{i,j-1}) & \text{(ii)} \\ E(L_{i,j}) & \text{(iii)} \\ \max_{k, i < k < j} \{E(S_{i,k}) + E(S_{k+1,j})\} & \text{(iv)} \end{cases}$ 
```

Ausgabe:  $E(S_{1,n})$

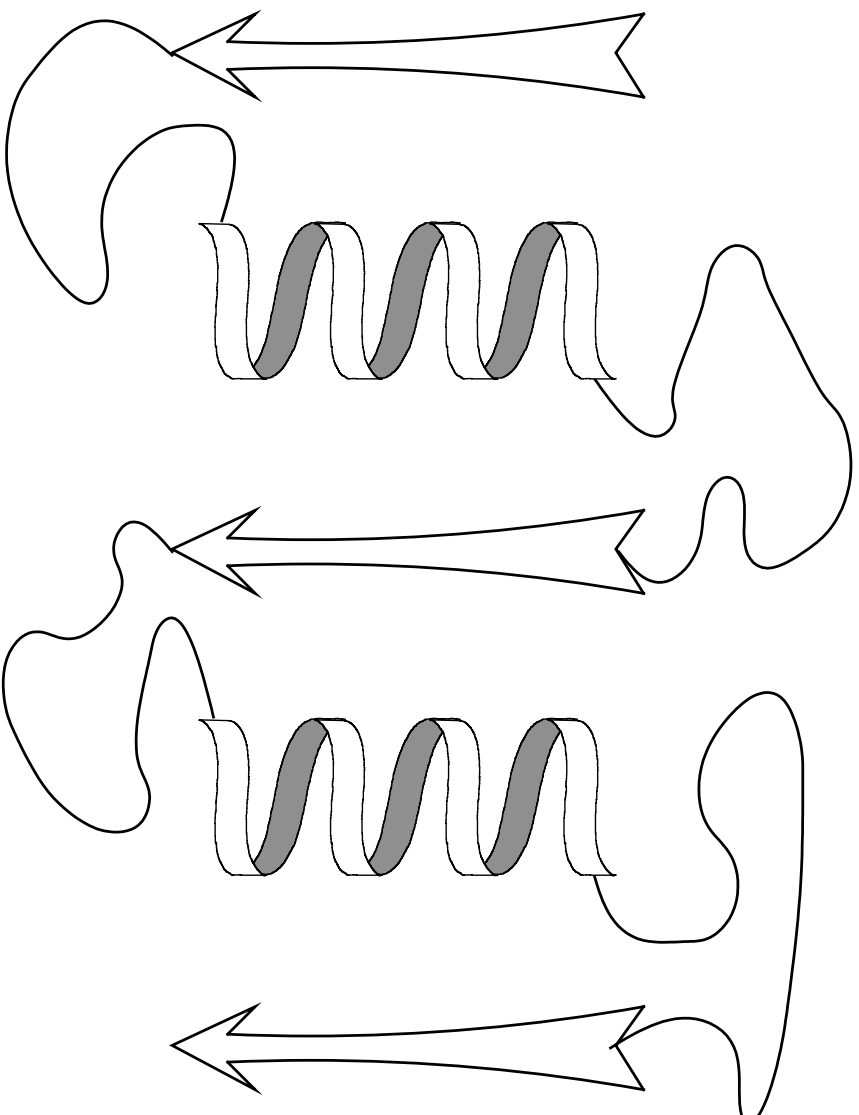
$$E(L_{i,j}) := \begin{cases} fe(r_i, r_j) + fe_{\text{stacked}} + E(S_{i+1,j-1}) & \text{falls } L_{i,j} \text{ ein Stem ist} & \text{(a)} \\ fe(r_i, r_j) + fe_{\text{hairpin}}(j - i - 1) & \text{falls } L_{i,j} \text{ ein Hairpin Loop ist} & \text{(b)} \\ \min_{k \geq 1} \{ fe(r_i, r_j) + fe_{\text{bulge}}(k) + E(S_{i+k+1,j-1}) \} & \text{falls } L_{i,j} \text{ ein Bulge bei } r_i \text{ ist} & \text{(c)} \\ \min_{k \geq 1} \{ fe(r_i, r_j) + fe_{\text{bulge}}(k) + E(S_{i+1,j-k-1}) \} & \text{falls } L_{i,j} \text{ ein Bulge bei } r_j \text{ ist} & \text{(d)} \\ \min_{k_1, k_2 \geq 1} \{ fe(r_i, r_j) + fe_{\text{interior}}(k_1 + k_2) + E(S_{i+k_1+1,j-k_2-1}) \} & \text{falls } L_{i,j} \text{ ein Interior Loop ist} & \text{(e)} \end{cases}$$

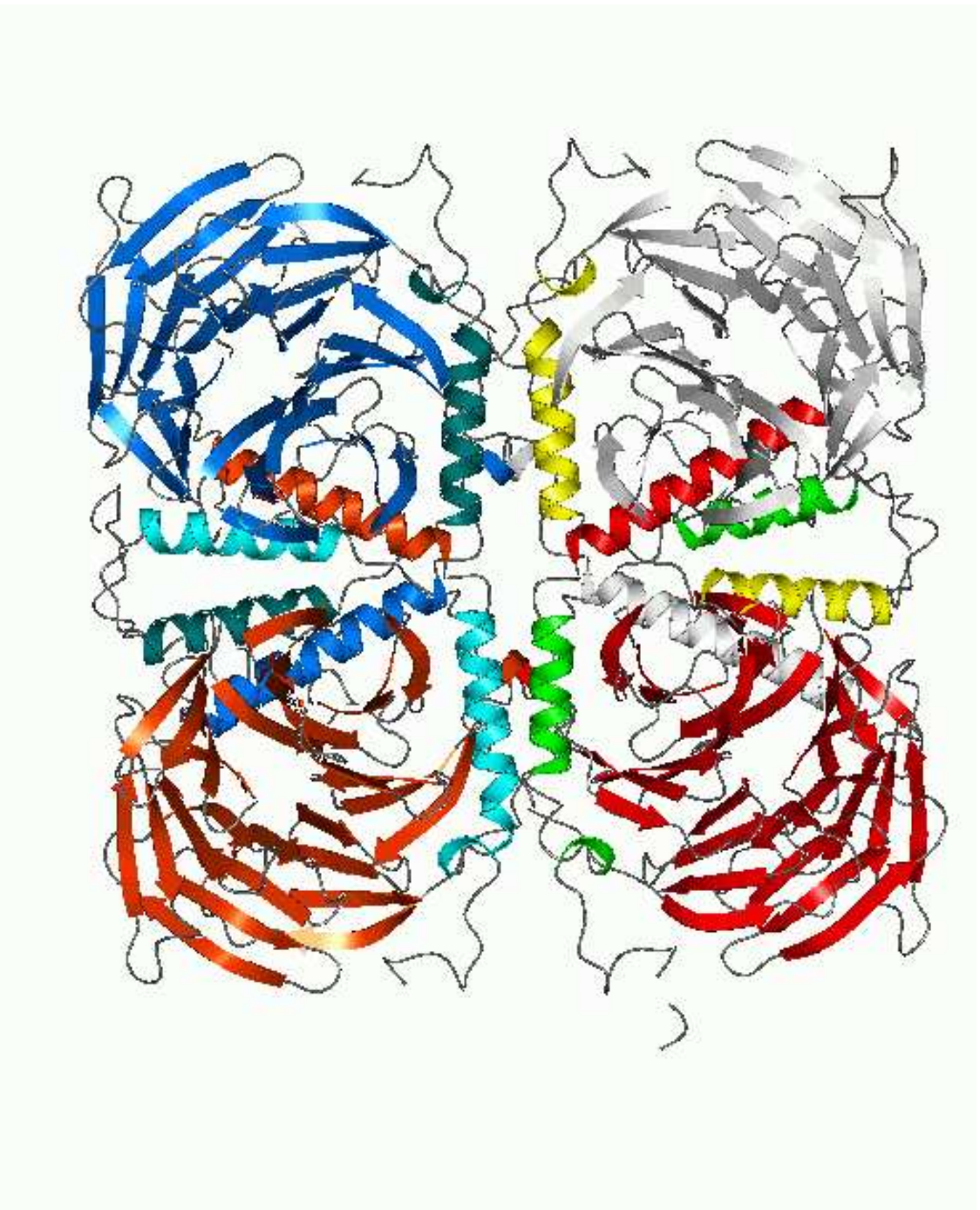


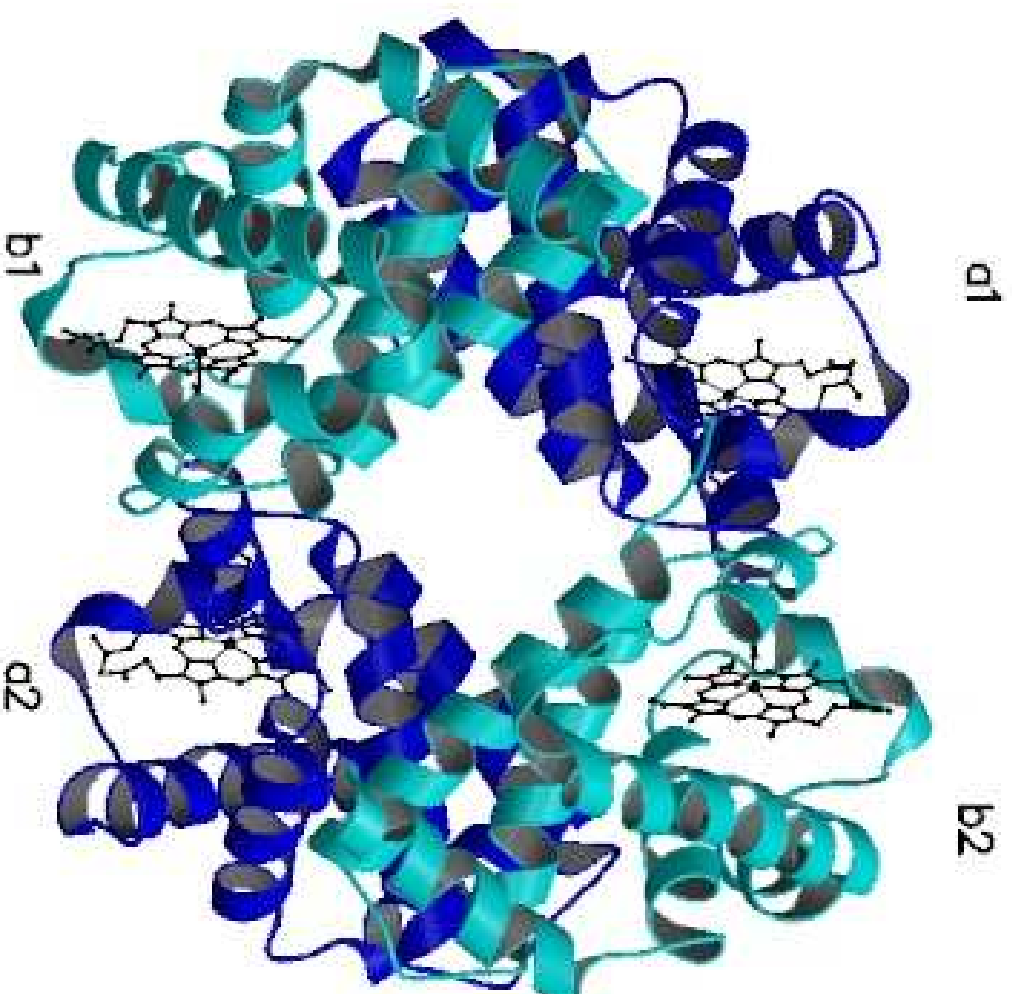
Helix

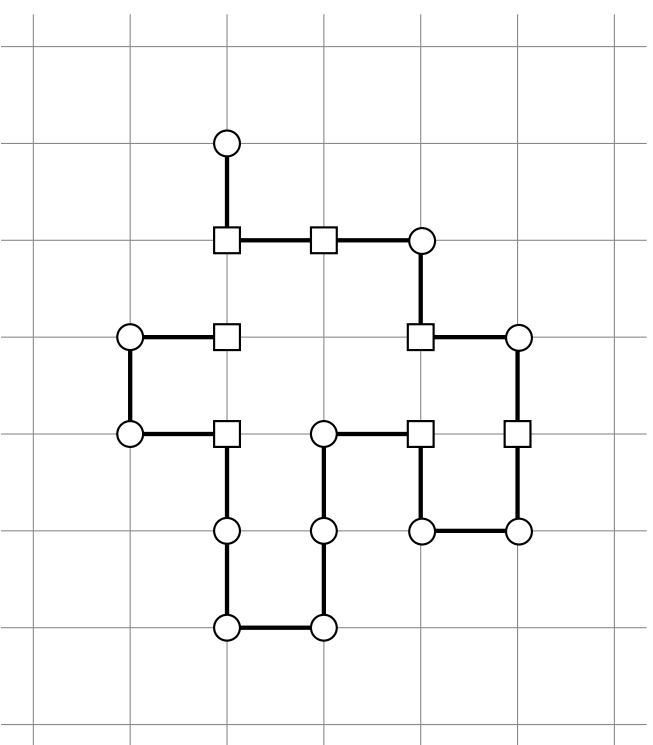


Faltblatt

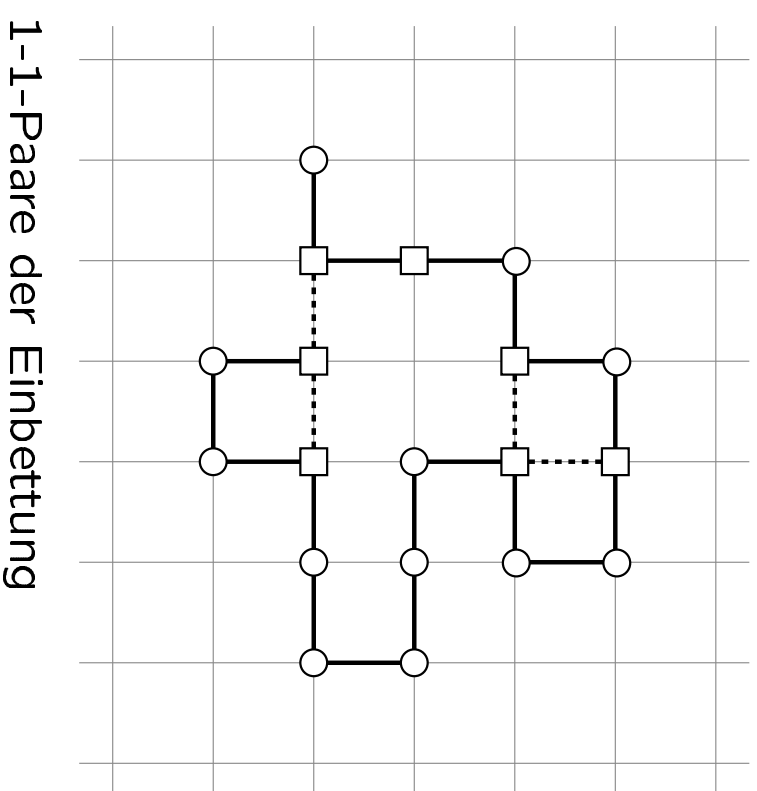
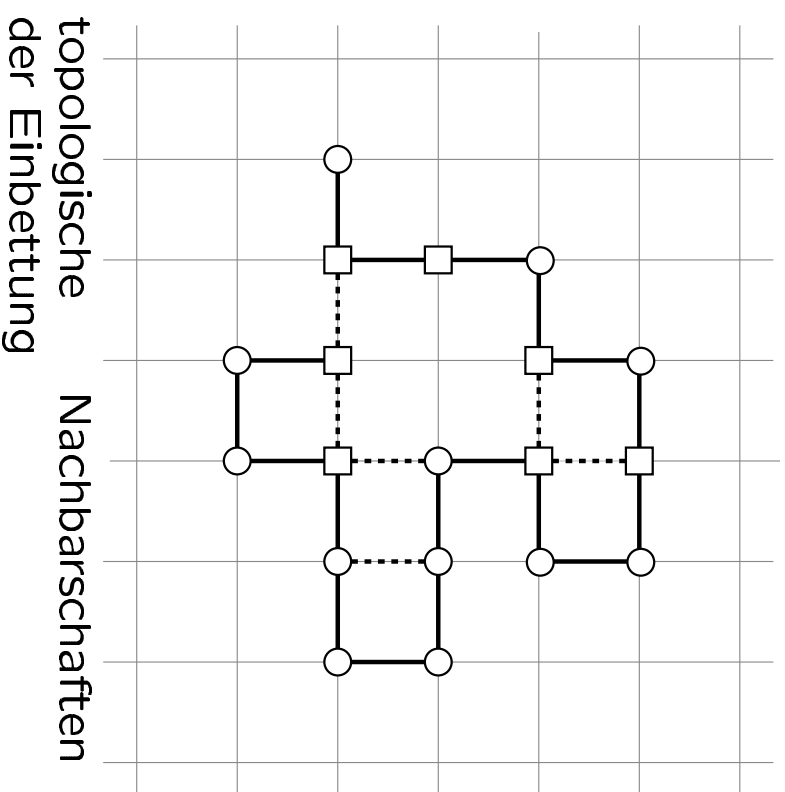








$s = 01101010010000001001$





**String:**

$s = 010010011011010011000011101100101110$

**gerade Eins-Positionen in  $s$ :** (Anzahl: 8)

$0 \boxed{1} 00100 \boxed{1} 101 \boxed{1} 0 \boxed{1} 001 \boxed{1} 00001 \boxed{1} 101 \boxed{1} 00101 \boxed{1} 10$

**ungerade Eins-Positionen in  $s$ :** (Anzahl: 10)

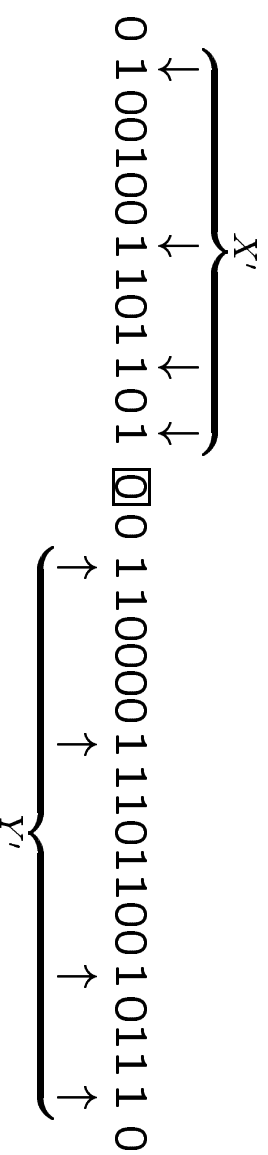
$0100 \boxed{1} 001 \boxed{1} 0 \boxed{1} 10100 \boxed{1} 10000 \boxed{1} 1 \boxed{1} 0 \boxed{1} 100 \boxed{1} 0 \boxed{1} 1 \boxed{0}$

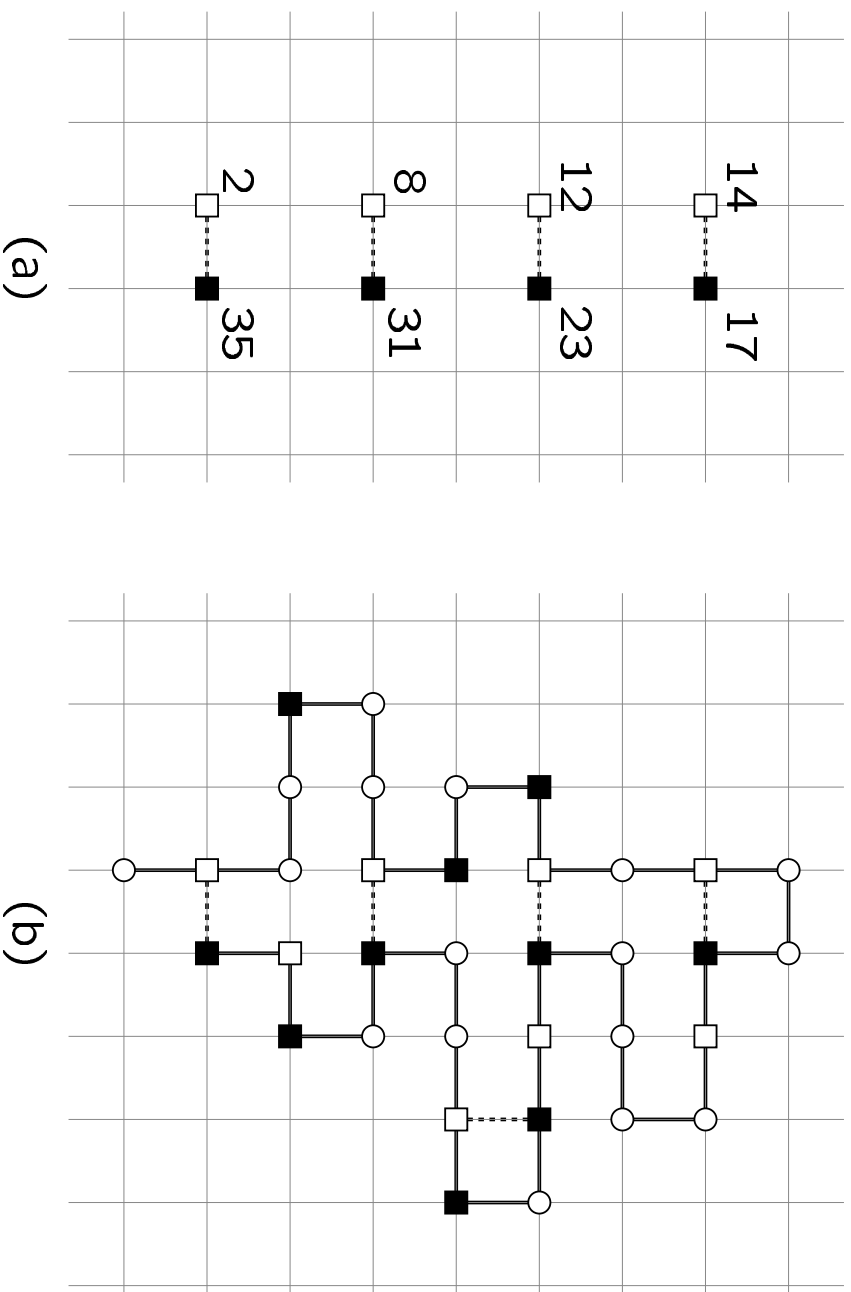
**$XY$ -Partitionierung von  $s$ :**

$X = \{2, 8, 12, 14, 18, 24, 28, 34\}$

$Y = \{5, 9, 11, 17, 23, 25, 27, 31, 33, 35\}$

**möglicher Faltungspunkt:**  $fp = 15 \Rightarrow X' = \{2, 8, 12, 14\}$  und  $Y' = \{17, 23, 31, 35\}$

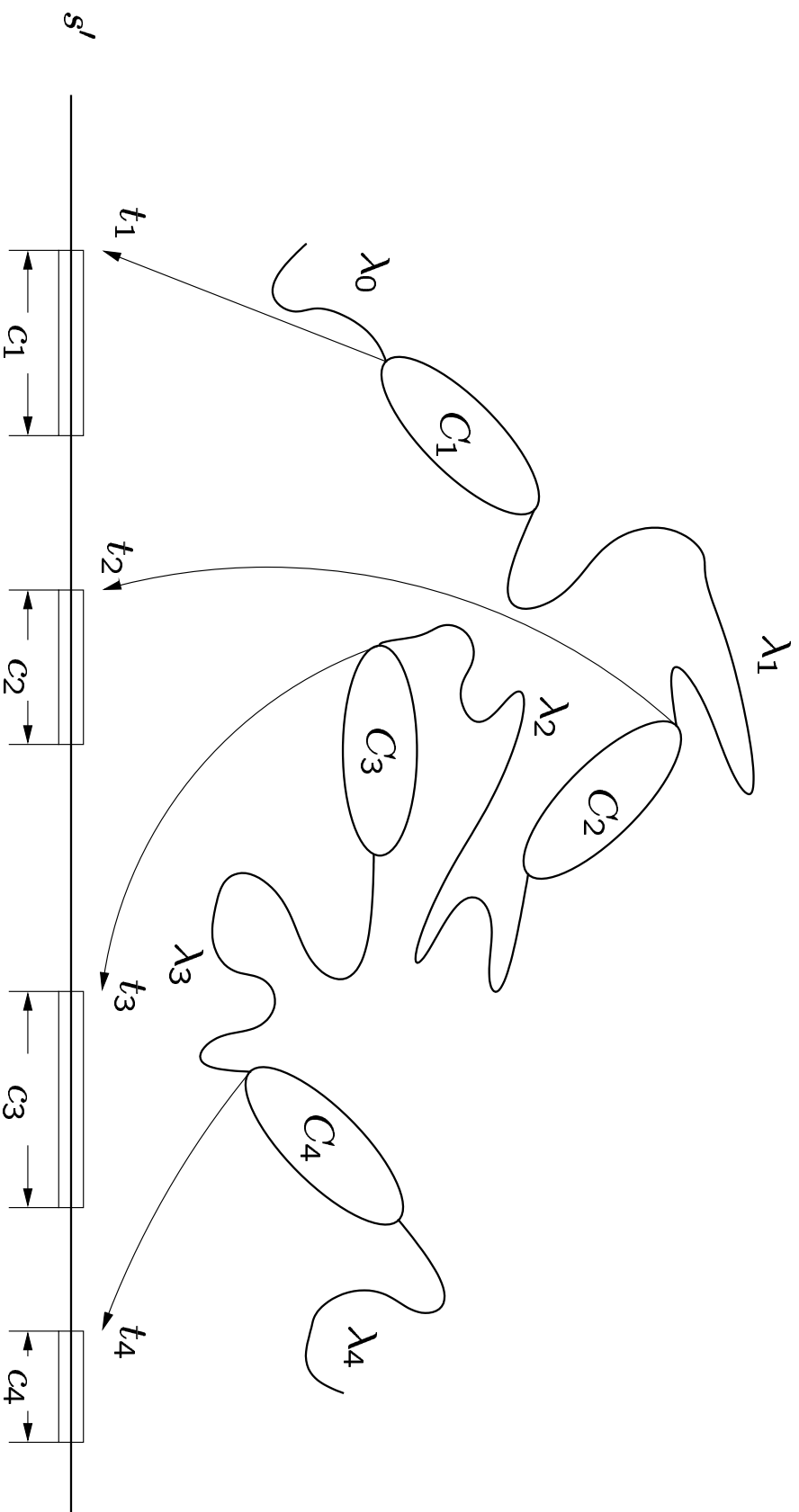




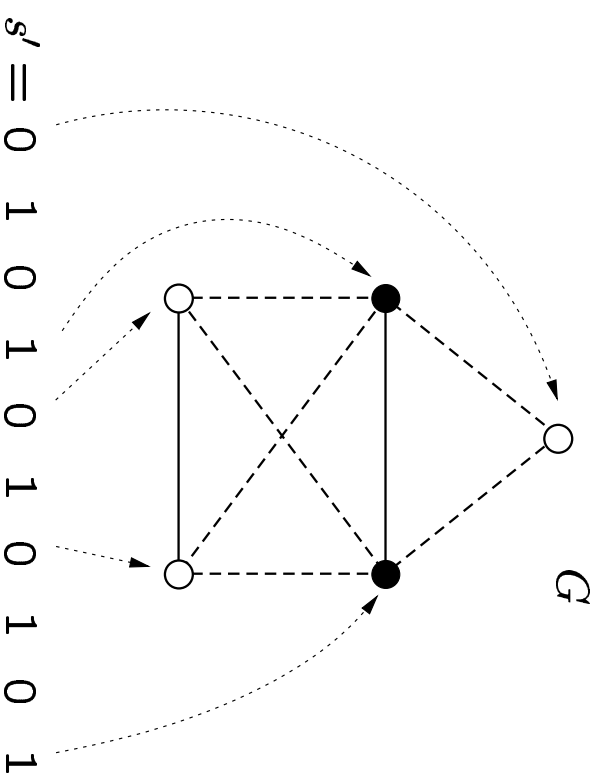
**Eingabe:** Ein String  $s = s_1 \dots s_n$  über  $\{0, 1\}$ .

1. Bestimme einen Faltungspunkt  $fp$  von  $s$ .
2. Bestimme die Positionsmengen  $X'$  und  $Y'$  mit
  - $X' \subseteq X$  und  $|X'| \geq \frac{|X|}{2}$
  - $Y' \subseteq Y$  und  $|Y'| \geq \frac{|X|}{2}$
  - $X'$  und  $Y'$  liegen auf unterschiedlichen Seiten des Faltungspunktes  $fp$ .
3. Ordne die Positionen von  $X'$  und  $Y'$  so in zwei benachbarten Spalten des Gitters an, dass jede Position in  $X'$  Teil eines 1-1-Paares mit einer Position aus  $Y'$  ist.
4. Verbinde die bisher festgelegten Positionen in Form U-förmiger Seitenarme.

**Ausgabe:** Die durch die obigen Schritte induzierte Einbettung  $\xi$  von  $s$  in  $\mathbb{Z}^2$ .



# Reduktion von Dec-Max-Cut-Problem auf Dec-Protein-Threading 11



**Eingabe:** Ein Strukturmodell  $M = (m, c, \lambda, l_{\min}, l_{\max})$  eines Strings  $s$ , ein String  $s'$ , zwei Funktionen  $g_1$  und  $g_2$ , und eine Untere-Schranken-Funktion  $\text{lowbound}$ .

1. Initialisierung:

```

opt := ∞ {Kosten des aktuell besten Threadings}
thr := nicht definiert {Aktuell bestes Threading}
T := ([0, ∞], ..., [0, ∞]) {Menge aller Threadings}
lb := lowbound(T)
Q := Enqueue(Q, (T, lb))

```

2. Branch and Bound:

```

while Q ≠ NIL do
  (Ti, lbi) := Dequeue(Q)
  if lbi < opt then
    if |Ti| = 1 then
      sei t das einzige gültige Threading in Ti
      if cost(t) < opt then
        opt := cost(t); thr := t
    else
      Wähle j und dj mit  $1 \leq j \leq m$  und  $b_j < d_j < e_j$  für Ti.
      Q := Enqueue(Q, (Ti[bj, dj - 1], lowbound(Ti[bj, dj - 1])))
      Q := Enqueue(Q, (Ti[dj, dj], lowbound(Ti[dj, dj])))
      Q := Enqueue(Q, (Ti[dj + 1, ej], lowbound(Ti[dj + 1, ej])))

```

**Ausgabe:** Ein optimales Threading *thr* mit Kosten *opt*.